

55715

İSTANBUL TEKNİK ÜNİVERSİTESİ ★ FEN BİLİMLERİ ENSTİTÜSÜ

**TOPLU VE YAYILI PARAMETRELİ SİSTEMLERDE
TİTREŞİM GÜCÜNÜN DAĞILIMI : BİR KALİTE KONTROL
SİSTEMİNE UYGULANMASI**

YÜKSEK LİSANS TEZİ

Mak. Müh. Faruk BAYRAKTAR

Tezin Enstitüye Verildiği Tarih : 24 Mayıs 1996

Tezin Savunulduğu Tarih : 11 Haziran 1996

Tez Danışmanı : Prof. Dr. H. Temel BELEK

Diğer Jüri Üyeleri : Prof. Dr. Metin GÜRGÖZE

Yrd. Doç. Dr. Vahit MERMERTAŞ

Haziran 1996

ÖNSÖZ

Günümüzde bir ürünün üretim hattındaki kalite kontrolü, titreşim ve akustik gibi daha çok yapının mekaniğinden kaynaklanan hataları belirten sinyaller kullanılarak yapılabilmektedir. Her iki sinalinde bazı avantaj ve dezavantajları bulunmaktadır. Bu nedenle, her iki sinalın dezavantajlarını yok eden ve avantajlarını birleştiren bir sinal olarak görülen titreşim gücü sinalının kullanılması oldukça yararlı olmaktadır. Bu çalışmada elde edilen bilgiler ışığında, elektrik motorundan akan titreşim gücünü temel alan bir kalite kontrol sistemi geliştirilecektir.

Yüksek lisans tez çalışmam süresince teşvik ve katkılarını gördüğüm Sayın Prof. Dr. H. Temel BELEK'e teşekkürlerimi sunarım.

Çalışmanın gerçekleştirilmesi için, maddi ve teknik desteği sağlayan ARÇELİK A.Ş. Araştırma Geliştirme Merkezi Yöneticileri Sayın Refik ÜREYEN, A. Kemal TUĞCU ve M. Yalçın TANES'e teşekkürlerimi sunarım.

Çalışma süresince yardımlarını gördüğüm Araştırma Geliştirme Mühendisi İbrahim YILDIRIM'a ve Titreşim -Akustik Ailesi elemanlarına teşekkürlerimi sunarım.

Ayrıca öğrenim hayatım boyunca, desteklerini esirgemeyen aileme teşekkürlerimi sunarım.

İstanbul, Haziran 1996

Faruk BAYRAKTAR

İÇİNDEKİLER

	Sayfa No
SEMBOL LİSTESİ	iv
ŞEKİL LİSTESİ	vi
TABLO LİSTESİ	xv
ÖZET	xvi
SUMMARY	xvii
BÖLÜM 1. GİRİŞ	1
BÖLÜM 2. MEKANİK SİSTEMLERDE TİTREŞİM GÜCÜ	7
2.1. Mekanik Sistemlerde Titreşim Gücüne Giriş	7
2.2. Toplu Parametreli Sistemlerde Titreşim Gücünün Dağılımı	15
2.3. Yaylı Parametreli Sistemlerde Titreşim Gücünün Dağılımı Sürekli Ortam Modeli	21
2.4. Sürekli Ortamda Titreşim Gücünün Dağılımının, Sonlu Elemanlar Yöntemi ile Modellenmesi	31
2.5. Titreşim Gücü Dağılımının Modal Analiz Yöntemi ile Modellenmesi	35
BÖLÜM 3. ÖLÇÜM DÜZENEĞİNİN DİNAMİK DAVRANIŞININ BELİRLENMESİ	39
3.1. İşletme Koşullarında Titreşimlerin Canlandırılması	40
3.2. Ölçüm Düzeneğinin Mod Şekillerinin Deneysel Modal Analiz ile Belirlenmesi	42
3.3. Ölçüm Düzeneğinde Kullanılan Levhanın Mod Şekillerinin Sonlu Elemanlar Analizi İle Belirlenmesi	46
3.4. Ölçüm Düzeneğindeki Levhanın Kayıp Faktörünün Belirlenmesi	48
3.4.1. Rezonans Frekansını Göz Önüne Alan Yöntem	49
3.4.2. Rezonans Frekansını Göz Önüne Almayan Yöntem ..	51
3.5. Ölçüm Düzeneğini Oluşturan Elemanların Yapısal Özelliklerinin Belirlenmesi	56

3.5.1. Hava Yastığının Yapısal Özelliklerinin Belirlenmesi	57
3.5.2. Sönüüm Elemanın Yapısal Özelliklerinin Belirlenmesi	60
3.5.3. Algılayıcının ve Bağlantı Çubuğuun Yapısal Özelliklerinin Belirlenmesi	62
BÖLÜM 4. TİTREŞİM GÜCÜ DAĞILIMININ MODELLENMESİ.....	66
4.1. Toplu Parametreli Model	66
4.2. Modal Model	68
4.3. Yayılı Parametreli Model	72
BÖLÜM 5. TEORİK VE DENEYSEL SONUÇLAR	75
5.1. Mobilite ve Titreşim Gücü Spektrumlarının Deneysel Olarak Elde Edilmesi	75
5.2. Toplu Parametreli Modelin Uygulanması	77
5.2.1. Toplu Parametreli Modelin Sınanması	77
5.2.2. Toplu Parametreli Modelin Ölçüm Düzeneğine Uygulanması	80
5.3. Modal Modelin Uygulanması	83
5.3.1. Modal Model'in Ölçüm Düzeneğine Uygulanması ...	84
5.3.2. Ölçüm Düzeneğinin Modal Modelinin Sınanması	86
5.3.3. Ölçüm Düzeneğinde Kuvvetin Tüm Serbestlik Derecelerine Uygulanması Durumunda Aktif ve Reaktif Titreşim Gütünün Frekansa Göre Değişimi .	87
5.4. Yayılı Parametreli Modelin Uygulanması	88
5.4.1. Yayılı Parametreli Modelin Sınanması	89
5.4.2. Yayılı Parametreli Modelin Ölçüm Düzeneğine Uygulanması	92
SONUÇLAR VE ÖNERİLER	95
KAYNAKLAR	98
ÇALIŞMADA KULLANILAN YAZILIMLAR	100
EKLER	101
Ek.A. Sonlu Elemanlar Yazılımından Elde Edilen T-Şeklindeki Levhanın Titreşim Biçimleri	101
Ek.B. Sönüüm Elemanın Statik Sertliğinin Elde Edilmesinde Kullanılan Grafik	103
Ek.C. Toplu Parametreli Modelin Yazılımı	104

Ek.D. Modal Modelin Yazılımı	111
Ek.E. Yayılı Parametreli Modelin Yazılımı	121
Ek.F. Deneysel Olarak Elde Edilen Mobilite ve Titreşim Gücü Spektrumları	126
Ek.G. Toplu Parametreli Modelin İki Serbestlik Dereceli Bir Sistem Üzerine Uygulanması Sonucu Elde Edilen Spektrumlar	128
Ek.H. Toplu Parametreli Modelin Ölçüm Düzenegi Üzerine Uygulanması Sonucu Elde Edilen Spektrumlar	131
Ek.I. Modal Modelin Ölçüm Düzenegi Üzerine Uygulanması Sonucu Elde Edilen Spektrumlar	133
Ek.J. Modal Modelde, Tüm Frekans Bandlarında Sabit Bir Genlige Sahip Kuvvet Spektrumun Ölçüm Düzeneginde Tüm Serbestlik Derecelerine Uygulanması Sonucu Elde Edilen Spektrumlar	139
Ek.K. Yayılı Parametreli Modelin Dikdörtgen Şeklindeki Bir Levha Üzerine Uygulanması Sonucu Elde Edilen Titreşim Gücü Dağılımı	142
Ek.L. Yayılı Parametreli Modelin Ölçüm Düzenegi Üzerine Uygulanması Sonucu Elde Edilen Titreşim Gücü Dağılımı	146
ÖZGEÇMİŞ	147

SEMBOL LİSTESİ

ω_0	: Doğal frekans	[rad/s]
η	: Kayıp faktörü	
t	: Zaman	[s]
$x(t)$: Yerdeğiştirme fonksiyonu	[m]
$\dot{x}(t)$: Hız fonksiyonu	[m/s]
$\ddot{x}(t)$: İvme fonksiyonu	[m/s ²]
$F(t)$: Kuvvet fonksiyonu	[N]
m	: Kütle	[kg]
k	: Sertlik	[N/m]
c	: Sönümlü	[Ns/m]
f_0	: Doğal frekans	[Hz]
ϕ	: Faz açısı	[Derece]
ω_d	: Sönümlü doğal frekans	[rad/s]
Z	: Dinamik sönümlü	[Ns/m]
Y	: Mobilite	[m/Ns]
F	: Kuvvetin genliği	[N]
V	: Hızın genliği	[m/s]

Π	: Kaynak tarafından sönumleyiciye girilen, zaman ortalaması alınmış titreşim gücü değeri	[W]
*	: Karmaşık sayının eşleniği	
$P\Pi$: Tek serbestlik dereceli sistemlerde aktif titreşim gücü	[W]
$Q\Pi$: Tek serbestlik dereceli sistemlerde reaktif titreşim gücü	[W]
$\{F\}$: Dış kuvvetler tarafından yapıya girilen kuvvet vektörü	
$[M]$: Kütle matrisi	
$[C]$: Sönum matrisi	
$[K]$: Sertlik matrisi	
$\{X\}$: Yerdeğiştirme vektörü	
$\{\dot{X}\}$: Hız vektörü	
$\{\ddot{X}\}$: İvme vektörü	
λ	: Yaklaşık değer	
T	: Matrisin transpozesi	
U_A	: Yapıda depolanan potansiyel enerji	[Ws]
T_A	: Yapıda harcanan kinetik enerji	[Ws]
Π_A	: Yapıda sönumlenen titreşim gücü	[W]
S_A	: Yapıya girilen toplam titreşim gücü	[W]
$\{\underline{X}\}$: Zaman ortalaması alınmış yerdeğiştirme vektörü	
$[e]$: Zaman ortalaması alınmış dinamik elastisite matrisi	

i	: Sanal eksen	
P_A	: Yapıya bir doğrultuda girilen aktif titreşim gücünün yaklaşık değeri	[W]
Q_A	: Yapıya bir doğrultuda girilen reaktif titreşim gücünün yaklaşık değeri	[W]
ρ	: malzemenin yoğunluğu	[kg/m ³]
u_i	: Yerdeğiştirme tensörü	[m]
\dot{u}_i	: Hız tensörü	[m/s]
\ddot{u}_i	: İvme tensörü	[m/s ²]
σ_{ij}	: Gerilme tensörü	[N/m ²]
F_i	: Kuvvet tensörü	[N]
ε_{ij}	: Birim şekil değiştirme tensörü	
$\dot{\varepsilon}_{ij}$: Birim şekil değiştirme hızı tensörü	
E_{ijkl}	: Elastisite modülü	[N/m ²]
C_{ijkl}	: Sönüüm tensörü	[Ns/m]
\dot{T}	: Birim hacimde harcanan kinetik enerjinin zamana göre türevi	[W/m ³]
\dot{U}	: Birim hacimde depolanan potansiyel enerjinin zamana göre türevi	[W/m ³]
S	: Yapıya birim hacimden dış kuvvetlerce girilen titreşim gücü	[W/m ³]
$q_{i,i}$: Sınırlar boyunca birim hacimden geçen titreşim gücü	[W/m ³]
q_i	: i doğrultusunda birim alandan akan titreşim gücü	[W/m ³]

- r_i : i doğrultusunda birim alandan geçen ve zamana bağlı olarak değişen titreşim gücü [W/m²]
- Q_{r_i} : i doğrultusunda birim alandan geçen ve zamana bağlı olarak değişen reaktif titreşim gücü [W/m²]
- P_{r_i} : i doğrultusunda birim alandan geçen ve zamana bağlı olarak değişen aktif titreşim gücü [W/m²]
- S : Dış kuvvetler tarafından belirli bir doğrultuda ve birim hacimden yapıya girilen titreşim gücü [W/m³]
- P : Dış kuvvetler tarafından belirli bir doğrultuda ve birim hacimden yapıya girilen aktif titreşim gücü [W/m³]
- Q : Dış kuvvetler tarafından belirli bir doğrultuda ve birim hacimden yapıya girilen reaktif titreşim gücü [W/m³]
- $\bar{\Pi}$: Birim hacimde sönümlenen gücün zaman ortalaması [W/m³]
- \bar{U} : Birim hacimde depolanan potansiyel enerjinin zaman ortalaması [Ws/m³]
- \bar{T} : Birim hacimde harcanan kinetik enerjinin zaman ortalaması [Ws/m³]
- m_i : i. moddaki modal kütle [kg]
- c_i : i. moddaki modal sönüüm [Ns/m]
- k_i : i. moddaki modal sertlik [N/m]
- [U] : Sönümlü modal matris
- $[L_P]$: Modal modelin gerçek kısmı
- $[L_Q]$: Modal modelin sanal kısmı
- λ_i^P : i. moddaki modal modelin özdeğerinin gerçek kısmı
- λ_i^Q : i. moddaki modal modelin özdeğerinin sanal kısmı

ε	: Birim şekil değiştirmenin dinamik değerleri	
$\hat{\varepsilon}$: Birim şekil değiştirme değerinin genliği	
σ	: Gerilmenin dinamik değeri	[N/m ²]
$\hat{\sigma}$: Gerilme değerinin genliği	[N/m ²]
E^*	: Elastisite modülünün karmaşık sayı değeri	[N/m ²]
E'	: Elastisite modülünün gerçel kısmını	[N/m ²]
E''	: Elastisite modülünün sanal kısmını	[N/m ²]

ŞEKİL LİSTESİ

	Sayfa No
Şekil 1.1 : Titreşim Gücünün Ölçümünde Kullanılmak Üzere Tasarlanmış Ölçüm Düzeneği	3
Şekil 2.1 : Tek Serbestlik Dereceli Sistem	7
Şekil 2.2 : İki Serbestlik Dereceli Sistem	16
Şekil 2.3 : Sekiz Düğüm Noktalı Bir Elemanın Gaussian ve Düğüm Noktaları	34
Şekil 3.1 : Ölçüm Düzeneğinin Yazılım Ortamındaki Geometrisi	41
Şekil 3.2 : İşletme Koşullarında Titreşimlerin Canlandırılması Çalışmasında Kullanılan Ölçüm Düzeneği	42
Şekil 3.3 : Sistemin Linerliği	43
Şekil 3.4 : T Şeklindeki Levhanın Ayrik Olarak Yazılım Ortamında Oluşturulmuş Modeli	43
Şekil 3.5 : T Şeklindeki Levhanın Modal Analizinde Kullanılan Ölçüm Düzeneği	44
Şekil 3.6 : Titreşim Gücü Ölçüm Düzeneğinin Modal Analizinde Kullanılan Ölçüm Düzeneği	45
Şekil 3.7 : Ölçüm Düzeneğinde Kullanılan Levhanın Şematik Gösterimi	47
Şekil 3.8 : T Şeklindeki Levhanın Kayıp Faktörünün Bulunmasında Kullanılan Ölçüm Düzeneği	49
Şekil 3.9 : T Şeklindeki Levhanın Kayıp Faktörünün Bulunmasında Kullanılan Frekans Cevap Fonksiyonun Frekansa Göre Değişimi	52
Şekil 3.10 : Elastisite Modülünün ve Bileşenlerinin Şematik Gösterimi	54
Şekil 3.11 : T Şeklindeki Levhanın Kayıp Faktörünün Bulunmasında Kullanılan Frekans Cevap Fonksiyonunun Frekansa Göre Değişimi	55
Şekil 3.12 : Hava Yastığının Yapısal Karakteristik Değerlerinin Elde Edilmesinde Kullanılan Ölçüm Düzeneği	58
Şekil 3.13 : Hava Yastığının Dinamik Kütlesi	59
Şekil 3.14 : Hava Yastığının Dinamik Sönübü	59
Şekil 3.15 : Hava Yastığının Dinamik Sertliği	60
Şekil 3.16 : Sönümleyicinin Statik Sertliğinin Elde Edilmesinde Kullanılan Ölçüm Düzeneği	61
Şekil 3.17 : Sönümleyicinin Statik Sertliğini Veren Eğrinin Şematik Gösterimi	61

Şekil 3.18 : Algılayıcının ve Bağlantı Çubuğuun Yapısal Özelliklerinin Belirlenmesinde Kullanılan Ölçüm Düzeneği	63
Şekil 3.19 : Algılayıcı ve Bağlantı Çubuğu Grubunun Dinamik Kütlesi	63
Şekil 3.20 : Algılayıcı ve Bağlantı Çubuğu Grubunun Dinamik Sönübü	64
Şekil 3.21 : Algılayıcı ve Bağlantı Çubuğu Grubunun Dinamik Sertliği	64
Şekil 4.1 : Toplu Parametreli Model İçin Geliştirilen Yazılımın Akış Şeması	67
Şekil 4.2 : Modal Model İçin Geliştirilen Birinci Yazılımın Akış Şeması	70
Şekil 4.3 : Modal Model İçin Geliştirilen İkinci Yazılımın Akış Şeması	71
Şekil 4.4 : Yayılı Parametreli Model İçin Geliştirilen Yazılımın Akış Şeması	73
Şekil 5.1 : Kuvvet, Mobilite, Titreşim Gücü Spektrumlarının Elde Edilmesinde Kullanılan Ölçüm Düzeneği	76
Şekil 5.2 : İki Serbestlik Dereceli Sistem	80
Şekil 5.3 : Ölçüm Düzeneği ve Eşdeğeri İki Serbestlik Dereceli Sistem	81
Şekil 5.4 : Dikdörtgen Şeklinde Ankastre Sınır Şartlarında Levha	90
Şekil 5.5 : Ölçüm Düzeneğinin Sonlu Elemanlar Ortamındaki Modeli	94
Şekil A1. : T Şeklindeki Levhanın Birinci Titreşim Biçimi	101
Şekil A2. : T Şeklindeki Levhanın İkinci Titreşim Biçimi	101
Şekil A3. : T Şeklindeki Levhanın Üçüncü Titreşim Biçimi	102
Şekil A4. : T Şeklindeki Levhanın Dördüncü Titreşim Biçimi	102
Şekil B1. : Sönümlerinin Statik Sertliğinin Bulunmasında Kullanılan Kuvvet Yerdeğiştirme Grafiği	103
Şekil F1. : Reaktif Titreşim Gücünün ve Mobilitenin Sanal Kısmının Frekansa Göre Değişimi	126
Şekil F2. : Aktif Titreşim Gücünün ve Mobilitenin Gerçek Kısmının Frekansa Göre Değişimi	127
Şekil G1. : Frekans Cevap Fonksiyonunun Genlik ve Faz açısı Spektrumları	128
Şekil G2. : Frekans Cevap Fonksiyonunun Gerçek ve Sanal Spektrumları	129
Şekil G3. : Aktif ve Reaktif Titreşim Gücü Spektrumları	130
Şekil H1. : Ölçüm Düzeneğinden Elde Edilen Aktif Titreşim Gücü Spektrumları (Tahrik noktası: 52, cevap noktası: 52)	131
Şekil H2. : Toplu Parametreli Modelden Elde Edilen Aktif Titreşim Gücü Spektrumları(Tahrik noktası: 52, cevap noktası: 52)	131
Şekil H3. : Modele Uygulanan Kuvvet Spektrumu (52. Noktadan)	132
Şekil I1. : Frekans Cevap Fonksiyonu Spektrumu (Tahrik, cevap noktası: 34, 34)	133
Şekil I2. : Frekans Cevap Fonksiyonu Spektrumu (Tahrik, cevap noktası: 37, 54)	133

Şekil I3. : Frekans Cevap Fonksiyonu Spektrumu (Tahrik, cevap noktası: 15, 15)	134
Şekil I4. : Frekans Cevap Fonksiyonu Spektrumu (Tahrik, cevap noktası: 49, 49)	134
Şekil I5. : Modal Modelden Elde Edilen Aktif Titreşim Gücü Spektrumu (Tahrik noktası: 52, cevap noktası: 52)	135
Şekil I6. : Ölçüm Düzeneğinden Elde Edilen Aktif Titreşim Gücü Spektrumu (Tahrik noktası: 52, cevap noktası: 52)	135
Şekil I7. : Modal Modelden Elde Edilen Reaktif Titreşim Gücü Spektrumu (Tahrik noktası: 52, cevap noktası: 52)	136
Şekil I8. : Ölçüm Düzeneğinden Elde Edilen Reaktif Titreşim Gücü Spektrumu (Tahrik noktası: 52, cevap noktası: 52)	136
Şekil I9. : Modal Modelden Elde Edilen Aktif Titreşim Gücü Spektrumu (Tahrik noktası: 18, cevap noktası: 18)	137
Şekil I10. : Ölçüm Düzeneğinden Elde Edilen Aktif Titreşim Gücü Spektrumu (Tahrik noktası: 18, cevap noktası: 18)	137
Şekil I11. : Modal Modelden Elde Edilen Reaktif Titreşim Gücü Spektrumu (Tahrik noktası: 18, cevap noktası: 18)	138
Şekil I12. : Ölçüm Düzeneğinden Elde Edilen Reaktif Titreşim Gücü Spektrumu (Tahrik noktası: 18, cevap noktası: 18)	138
Şekil J1. : Modal Modelde Tanımlanan Tüm Noktalara Teker Teker 1000Hz'lik Birim Kuvvet Uygulanması Durumunda Yapıya Girilebilecek Aktif Titreşim Gücü Değerleri	139
Şekil J2. : Modal Modelde Tanımlanan Tüm Noktalara Teker Teker 1000Hz'lik Birim Kuvvet Uygulanması Durumunda Yapıya Girilebilecek Reaktif Titreşim Gücü Değerleri	139
Şekil J3. : Modal Modelde Tanımlanan Tüm Noktalara Teker Teker 1250Hz'lik Birim Kuvvet Uygulanması Durumunda Yapıya Girilebilecek Aktif Titreşim Gücü Değerleri	140
Şekil J4. : Modal Modelde Tanımlanan Tüm Noktalara Teker Teker 1250Hz'lik Birim Kuvvet Uygulanması Durumunda Yapıya Girilebilecek Reaktif Titreşim Gücü Değerleri	140
Şekil J5. : Modal Modelde Tanımlanan Tüm Noktalara Teker Teker 1450Hz'lik Birim Kuvvet Uygulanması Durumunda Yapıya Girilebilecek Aktif Titreşim Gücü Değerleri	141
Şekil J6. : Modal Modelde Tanımlanan Tüm Noktalara Teker Teker 1450Hz'lik Birim Kuvvet Uygulanması Durumunda Yapıya Girilebilecek Reaktif Titreşim Gücü Değerleri	141
Şekil K1. : X - Doğrultusundaki Aktif Titreşim Gücü Dağılımı (30 Hz)	142
Şekil K2. : Y - Doğrultusundaki Aktif Titreşim Gücü Dağılımı (30 Hz)	142
Şekil K3. : X - Doğrultusundaki Reaktif Titreşim Gücü Dağılımı (30 Hz)	143

Şekil K4. : Y - Doğrultusundaki Reaktif Titreşim Gücü Dağılımı (30 Hz)	143
Şekil K5. : X - Doğrultusundaki Aktif Titreşim Gücü Dağılımı (40 Hz)	144
Şekil K6. : Y - Doğrultusundaki Aktif Titreşim Gücü Dağılımı (40 Hz)	144
Şekil K7. : X - Doğrultusundaki Reaktif Titreşim Gücü Dağılımı (40 Hz)	145
Şekil K8. : Y - Doğrultusundaki Reaktif Titreşim Gücü Dağılımı (40 Hz)	145
Şekil L1. : Ölçüm Düzeneğinin Yayılı Parametreli Modelin Z- Doğrultusundaki Aktif Titreşim Gücü Dağılımı	146

TABLO LİSTESİ

	Sayfa No
Tablo 3.1 : T Şeklindeki Levhanın ve Tüm Ölçüm Düzeneğinin Modal Yapısal Özellikleri	46
Tablo 3.2 : T Şeklindeki Levhanın Sonlu Elemanlar Yöntemi İle Elde Edilen Doğal Frekansları	48
Tablo 3.3 : Hava Yastığının Yapısal Özellikleri	60
Tablo 3.4 : Sönümlerinin Yapısal Özellikleri	62
Tablo 3.5 : Algılayıcı ve Bağlantı Çubuğu Grubunun Yapısal Özellikleri	65

ÖZET

Yapılarda titreşim gücü dağılımı ve titreşim gücünün yapı içerisinde izlediği yol, titreşimsiz ürün tasarımları, yapılarda titreşim kontrolü ve ürün kalite kontrolü gibi konularda gün geçtikçe önem kazanmaktadır. Titreşim gücünü etkileyen parametrelerin belirlenmesi, söz konusu konularda yapılan çalışmalara oldukça büyük ölçüde katkı sağlayacaktır.

Bu çalışmada, öncelikle liner yapılarda titreşim gücünün farklı analiz (Sonlu Elemanlar ve Modal Analiz) yöntemleriyle formüle edilmesi ve modellenmesi sağlanmıştır. Elde edilen modeller, endüstride üretim hattında elektrik motorundan akan aktif titreşim gücünü temel alan bir kalite kontrol sisteminin ölçüm düzeneği üzerine uygulanmıştır. Göz önüne alınan ölçüm düzeneğinin yapısal özelliklerini deneysel çalışmalar sonucu elde edilmiştir. Ayrıca ölçüm düzeneğini belirleyen özellikler, farklı yazılım ortamlarında geliştirilen modellere girilmiştir.

Yapılan çalışmalar sonucunda, liner bir yapıya girilen titreşim gücünün; yapısal özelliklere, sınır şartlarına, uygulanan kuvvetin genliğine, frekansına ve faz farkına bağlı olarak değiştiği tespit edilmiştir. Elde edilen bu parametrelerin değişmesi durumunda, yapı üzerindeki titreşim gücünden nasıl bir dağılım göstereceğine dair bilgiler elde edilmiştir.

Titreşim gücünü etkileyen özellikler göz önüne alınarak, kalite kontrol amacıyla kullanılacak en uygun ölçüm düzeneğine yönelik tasarım parametreleri elde edilmiştir. Ayrıca çalışma sonucu elde edilen bilgiler, titreşimsiz ürün tasarımda ve titreşim kontrolünde de kullanılabilecektir. Kalite kontrol amacıyla titreşim gücü sinyalinin kullanılması konusunda yapılan ilk çalışmalardan olması nedeniyle oldukça önemlidir.

SUMMARY

MECHANICAL POWER FLOW IN LUMPED AND DISTRIBUTED PARAMETER SYSTEMS: APPLICATION TO A QUALITY CONTROL MEASUREMENT SET-UP.

The purpose of this study is to understand the dynamic characteristics of the mechanical power flow in linear structures so that the parameters influencing the power flow can better be understood. The ultimate goal of the study is, to obtain the parameters of the optimum measurement set-up which is used for quality control of the electrical motors of the washing machine. In order to get the design parameters of the optimum measurement set-up, the model of the active vibration power flowing from the product to the measurement set-up should be established.

On the production line in industry, the functionality expected from the measurement set-up which is developed for quality control purposes, is to support the static load of the product and to maximize the active vibration power flowing through the power flow transducer which is located above the energy absorber, Figure 1.

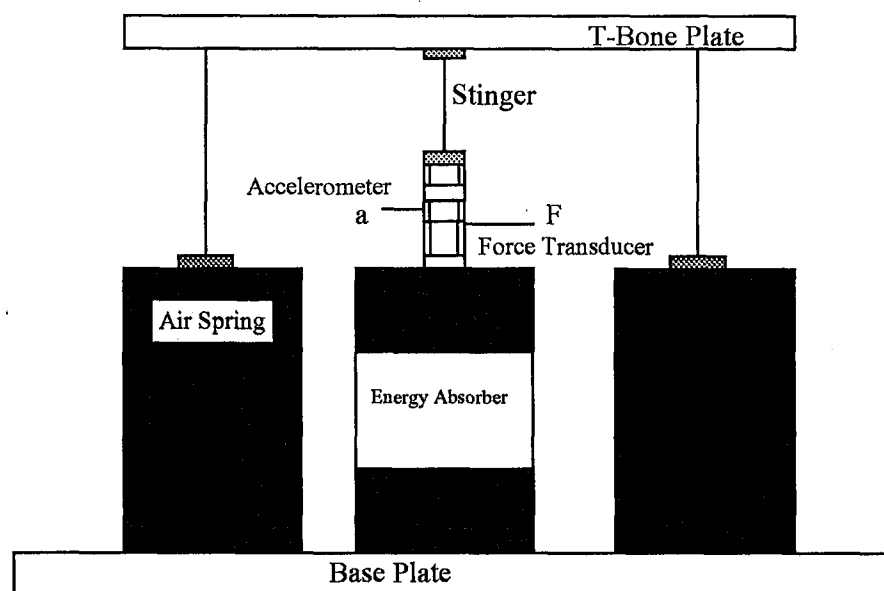


Figure 1. The Measurement Set-up Designed For Measuring Active Power Flowing From The Electrical Motor.

The proposed measurement set-up contains; T bone plate located on three air-springs so that the motor can be supported, the energy absorber which is positioned in the middle of the plate, and the power flow transducer located above the absorber in order to measure the active power flowing from the product. The sketch of the measurement set-up is shown in Figure.1. The power flow transducer consists of two parts, first part is the accelerometer and the other part is the force transducer. These two transducers are put together and the power flow transducer is obtained. The cross correlation of the signal coming from the accelerometer and the force transducer gives the mechanical power signal at the measurement point in the structure. The cross correlation signal is used for quality control purpose.

Supplied mechanical power in linear structures, using analysis methods (Modal Analysis, Finite Element Methods), is discussed theoretically. The formulation of the supplied mechanical power in lumped and continuous systems is given in Section 2. Experimental studies are performed to get the structural properties of the components of the measurement set-up in Section.3. Using the formulation derived in Section 2, the models of the supplied mechanical power in linear structures are established in Section 4. The evaluation of these models are made, and then the models are applied on the measurement set-up in Section 5. During the studies conducted, the parameters influencing the measurement technique are revealed. Therefore the design parameters of the optimum measurement set-up for a quality control system, using the mechanical power signal coming from the product, are obtained.

With the three different points of view, three different models of mechanical power for linear structures are developed. Taking the measurement set-up into account as a lumped parameter system, the average value of the supplied mechanical power to the structure is obtained. The purpose of using a lumped model is to see the dependence of the power flow on the forcing frequency variation and the rigid body motion of the structure. In the second model, the modal model of the structure is formed to obtain the mechanical power at a point defined in the as function of the frequency. Using this approach the effects of the elastic body motion of the structure on the mechanical power spectrum can be obtained. In the third model the Finite Element approach is used and the mechanical power distribution in the structure is obtained at a specific frequency. Finite Element model of the mechanical power distribution in the structure is conducted for a harmonic force input.

The theoretical background of three different models of mechanical power in a linear structure are discussed in Section.2. The supplied mechanical power is simply formulated as a one degree-of-freedom linear system in Section.2.1. The

equation of motion of one degree-of-freedom viscos damped system is considered in Eq.1.

$$m\ddot{x}(t) + c\dot{x}(t) + kx(t) = F(t) \quad (1)$$

m	=	mass [kg],
c	=	damping coefficient [Ns/m],
k	=	stiffness coefficient [N/m],
$x(t)$	=	displacement [m],
$\dot{x}(t)$	=	velocity [m/s],
$\ddot{x}(t)$	=	acceleration [m/s ²],
$F(t)$	=	force [N].

Using harmonic motion assumption, the second order differential equation is solved.

$$F(t) = Fe^{i\omega t} \quad (2)$$

$$\dot{x}(t) = Ve^{i\omega t} \quad (3)$$

where

F	=	the amplitude of the force [N],
V	=	the amplitude of the velocity [m/s],
t	=	time [s],
ω	=	frequency [rad/s].

If the Eq.2 and Eq.3 are put into the Eq.1, and the time averaged values of the force and the velocity are considered, the mobility of one degree of freedom system can be obtained as in Eq.4.

$$\frac{V}{F} = \left[\frac{c\omega^2 - i\omega(k - \omega^2 m)}{(k - \omega^2 m)^2 + c^2\omega^2} \right] \quad (4)$$

where i denotes the imaginary part.

The mechanical power is defined as the multiplication of the time averaged values of the force and the velocity :

$$\Pi = \langle F\dot{x} \rangle_t = \frac{1}{2} \{ FV^* \} \quad (5)$$

where

$\langle \dots \rangle_t$ = time averaged values,
 $*$ = complex conjugate,
 Π = mechanical power [W].

If Eq.4 is substituted into Eq.5 then Eq.6 is obtained.

$$\Pi = \frac{1}{2} F \left[\frac{c\omega^2 + i\omega(k - \omega^2 m)}{(k - \omega^2 m)^2 + c^2 \omega^2} \right] F \quad (6)$$

In Eq.6, the real and imaginary parts are defined as the active and reactive power respectively. These two definitions are given in Eq.7 and Eq.8.

$$P\Pi = \frac{1}{2} F^2 \omega^2 \frac{c}{(k - \omega^2 m)^2 + c^2 \omega^2} \quad (7)$$

$$Q\Pi = \frac{1}{2} F^2 \omega \frac{(k - \omega^2 m)}{(k - \omega^2 m)^2 + c^2 \omega^2} \quad (8)$$

where

$P\Pi$ = the active power [W],
 $Q\Pi$ = the reactive power [W].

In a multi-degree of freedom system, similar formulation is valid, but in this case, active and reactive components of the power are expressed in terms of matrix quantities. Using the formulation derived so far, the lumped parameter model of the structure is obtained.

In order to govern the modal model of the structure, the vibration modes of the structure are obtained by calculating the eigen-values and the eigen-vectors. The superposition of the vibration modes of the structure gives the modal model of the structure. Modal properties of the structure are obtained from spatial model of the structure, by using the orthogonality principle or by performing experimental modal analysis on the structure and using the curve fitting method. While the modal model of the structure giving the mobility characteristics for one degree of freedom system is given by Eq. 4, the eigen-values of the modal model is calculated in Eq. 9 and Eq. 10. The eigen-values of the modal model are complex quantities since the elements of the modal model are complex.

$$\lambda_i^P = \frac{c_i}{(k_i - \omega^2 m_i)^2 + \omega^2 c_i^2} \quad (9)$$

$$\lambda_i^Q = \frac{k_i - \omega^2 m_i}{(k_i - \omega^2 m_i)^2 + \omega^2 c_i^2} \quad (10)$$

- λ_i^P = the real part of eigen values of modal model in i^{th} mode,
 λ_i^Q = the imaginary part of eigen values of modal model in i^{th} mode.

Hence, using the modal model of the structure, the mechanical power is obtained.

The formulation of the mechanical power in an elastic linear structure is defined in the continuum mechanics by Eq.11, using the continuity equation and assuming that the damping mechanism in the material is modelled by linear viscoelastic model of Kelvin type.

$$r_i = -\frac{1}{2} \sigma_{ij}^* v_j = {}^P r_i + i {}^Q r_i \quad (i=1,2,3, j=1,2,3) \quad (11)$$

where

- σ_{ij} = stress tensor [N/m²],
 r_i = mechanical power flowing unit area in i direction [W/m²],
 ${}^P r_i$ = active power flowing unit area in i direction [W/m²],
 ${}^Q r_i$ = reactive power flowing unit area in i direction [W/m²],
 v_j = velocity tensor [m/s].

The velocity and stress values which are defined as tensors in the continuum mechanic formulation, in Finite Element approach become matrices due to discretization. The Finite Element model of the mechanical power is developed in Section.2.3, in this derivation Eq. 11 is used. Using the harmonic forcing, at a specific frequency the distribution of the active and reactive power in the structure for three directions, is calculated. In the Finite Element approach in order to create the solid model of the structure, an eight node continuum element is used. This element has displacements in the three direction as the degrees-of-freedom at the nodes and capable of yielding the stresses in three directions.

In order to understand the dynamic behaviour of the measurement set-up the test motor is placed on the T-bone plate and started and “Operational Deflection

Shape" study is performed. This study is explained in Section.3.1. As a result of this study, it is seen that there is a substantial amount of motion not only in the vertical direction but also in the horizontal plane.

Experimental Modal Analysis study is performed on the T bone plate with free free boundary conditions. Later, the analysis is repeated in Section.3.2 on the assembled measurement set-up so that the effects of the other components on T bone plate can be identified. Modal properties of the all measurement set-up is obtained from Experimental Modal Analysis study in order to add them into the modal model of the measurement set-up. Mode shapes of the T bone plate in free free boundary condition are also calculated in Finite Element environment in Section.3.3 in order to compare the mode shapes obtained from Experimental Modal Analysis with the mode shapes obtained from Finite Element Analysis.

In order to add the internal damping properties of the T bone plate in the Finite Element model, two different methods are used. The loss factor of the T bone plate in first mode is obtained in Section.3.4 by using the resonant and non-resonant methods. The average value of the two results is considered in the Finite Element model of the measurement set-up.

The structural properties of the other components of the set-up, excluding the T bone plate, are provided by assuming these components as one degree of freedom elements individually and by performing mobility measurements on them. As a result of these mobility measurements, stiffness, damping and mass properties of the air spring, absorber and transducer with coupling stinger are obtained. These values are used in the three different models created for the measurement set-up in Section.5.

The lumped parameter model of the structure is used for the two degree of freedom system to get the input active and reactive power at one point. Inputs of the model are, structural properties of the two degree of freedom system, degree of freedom where the force is applied, degree of freedom where the response is taken, amplitude and the frequency of the force. Outputs of the model are, mobility spectrum, active and reactive power spectrums at a point where the force is applied. First, this model is applied to a case study given in reference [8], and the model is validated, then the model is applied on the current measurement set-up. The measurement set-up is considered as the two degree of freedom system. First degree of freedom is associated to the mass of the T-bone plate and this mass is connected to the ground by the air springs, second degree of freedom is related to the mass of the absorber and this mass is grounded by the spring and dashpot of the absorber.

The connection properties between these two degree of freedom are taken from the stiffness and damping of the transducer coupled with the stinger.

Modal model of the measurement set-up is governed, using the mode shapes and modal properties of the measurement set-up in 0-10 kHz frequency range. In order to get the active and reactive power spectrum at a point where the force is applied, the degree of freedom where the force is applied and the degree of freedom where the response is taken, should be added to the model. An exciting force which has the unit amplitude over the frequency bands of interest is applied on all the degrees of freedom of the measurement set-up, in order to determine the point which is the most suitable for the supplied active power to the structure to be maximum.

Finite Element model of the structure is formed by using the geometry, material properties, boundary condition of the structure, point where the force is applied, amplitude and the frequency of the force. Outputs of the model corresponds to these inputs are, active and reactive power distribution for three direction in the structure at the excitation frequency. First, the model is applied on an already tested structure for validation [20], then the model is applied on the test set-up. In this approach the Finite Element model of the measurement set-up is established by using the solid model of the T bone plate, the mode shapes of the plate in free free boundary condition, structural properties of the air springs and absorber, the loss factor of the T bone plate, material properties of the plate, boundary condition, the point where the force is applied, the frequency and amplitude of the force. In the excitation condition, active and reactive power distribution is calculated for the three directions in the structure at the excitation frequency.

Consequently, the factors influencing the mechanical power are determined as the structural properties, boundary conditions, application point, frequency, amplitude of the force, and also the phase angle between the excitation forces. Added to this, supplied mechanical power at one point in the structure is related to the mobility properties of the structure at that point. The real part of the mobility spectrum is proportional to the active power spectrum at same point. The imaginary part of the mobility is proportional to the reactive power spectrum at same point.

There is a peak in the natural frequency region of the real part of the mobility spectrum while the phase angle between the velocity and the force signal is zero at resonance. At resonance region, the supplied active power to the structure is maximum, but the reactive power is minimum.

Mechanical power spectrum can be modified by changing the structural properties this changes the mobility spectrum as well. The modification of the mass, stiffness and the boundary condition of the structure affect the natural frequency of the structure, and hence modify the active and reactive power spectrum of the structure. The change in the damping properties of the structure affects the amplitude of the mechanical power.

If a quality control system is to be designed based on the measurement of active power signal flowing from the product in one direction at one point, then the structural properties on both ends of the point should be considered carefully because it dramatically affects the active power spectrum at this point.

If it is desired that the effects of the structural properties are minimized, the natural frequency of the structure (the measurement set-up) should be away from the frequency range of interest. On the other hand, the maximum active power flowing into the structure is observed at the natural frequencies.

If the natural frequencies of the structure and the excitation frequencies of the source coincide then the supplied active power flowing into the structure will be maximum, reactive power flowing in structure will be minimum at the excitation frequencies. If it is not possible to change the excitation frequencies of the source, then changing the properties of the structure and the designing a suitable mobility spectrum is necessary, depending on the excitation frequencies of the source. However, it is considerably difficult to design the mobility spectrum given the excitation frequencies.

BÖLÜM 1. GİRİŞ:

“Titreşim gücü alanı”, titreşim analiziyle bağlantılı olarak gün geçtikçe önem kazanan bir konudur. Titreşim gücü alanı, bir yapı üzerinde her noktada ve her zaman aralığında birim alandan akan titreşim gücünün büyüklüğü ve doğrultusu olarak tanımlanmaktadır. Titreşim gücü alanının tanımlanması için, yapının özelliklerinin detaylı olarak bilinmesi gerekmektedir. Titreşim gücünün hesaplanması sırasında kullanılacak bilgiyi elde etmek ve yaklaşık olarak yapısal dinamik problemi çözebilmek için, Sonlu Elemanlar Yöntemi kullanılmıştır, [1]. Yüksek frekanslarda, Sonlu Elemanlar Yöntemi, deformasyon alanının belirlenmesi için, çok sayıda serbestlik derecesine ihtiyaç duymaktadır. Bu durumda, yapının dinamik cevabını belirlemek için, İstatistiksel Enerji Analizi Yöntemi kullanılmaktadır, [2]. İstatistiksel Enerji Analizi Yöntemi, titreşim güç alanın belirlenmesinde ihtiyaç duyulan bilgiyi ortalama bir değer olarak hesaplamakta ve yapının geometrisi üzerinde meydana gelen titreşim gücünü dağılımını göz önüne almamaktadır. Bu nedenle, titreşim gücünün, hız ve gerilim verileri kullanılarak Sonlu Elemanlar Yöntemi yardımıyla tespit edilmesi daha uygun olmaktadır. Bir titreşim analizinden elde edilen sonuçlar gösterilmek istendiğinde, yapı üzerindeki titreşim gücü alanı oldukça yararlı bir araç olmaktadır, [3].

Titreşim problemi direkt olarak, enerji sürekliliği denkleminde titreşim gücünü terimi ile formüle edilebilmektedir, [4]. Enerji sınır şartlarıyla birlikte süreklilik denkleminin çözümü direkt olarak titreşim gücünü verecektir. Ancak böyle bir çözümün elde edilmesi oldukça güçtür. Kararlı rejim durumunda ve belirli bir

doğrultuda akan titreşim gücү göz önüne alındığında, titreşim problemi kararlı rejimde ısı akışı problemi ile benzer bir analoji göstermektedir, [5]. Titreşim gücünün doğrultusu için yapılan kabul, İstatistiksel Enerji Analizi yönteminde yapılan kabul ile benzeşmekte beraber, fiziksel olarak çözüm yaklaşıkları olarak elde edilebileceğinden tam bir benzerlik göstermemektedir, [6].

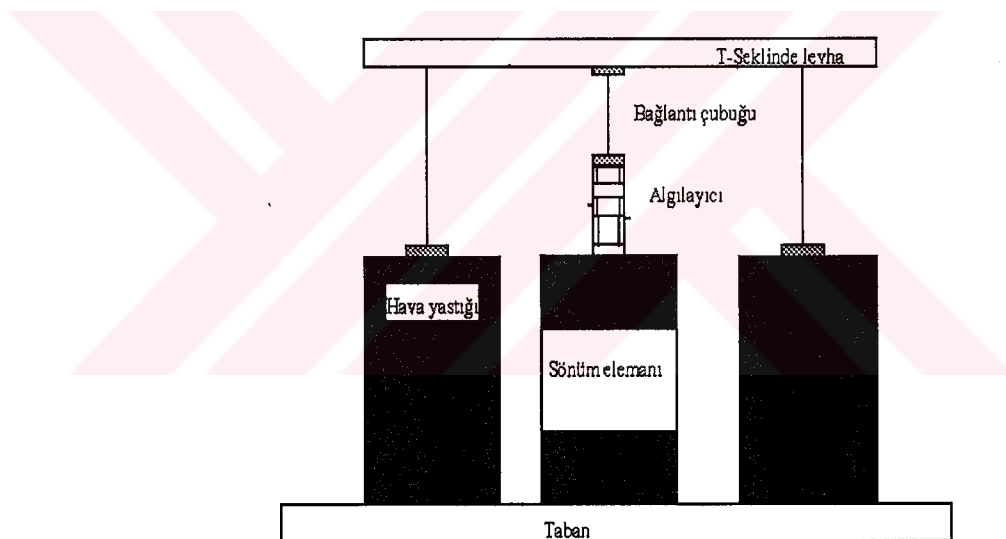
Belirli bir frekansta ve kararlı rejimde, titreşim gücü alanı aktif ve reaktif kısımları göz önüne alınarak tanımlanabilmektedir, [7]. Aktif ve reaktif güç alanı, sırasıyla kompleks mekanik gücün gerçek ve sanal kısımlarından oluşmaktadır. Titreşim gücünün aktif ve reaktif kısımlarının özellikleri ve etkileyen parametreler göz önüne alınmalıdır. Aktif ve reaktif güç alanı için süreklilik denklemi, katı bir ortam için hareket denklemi kullanılarak elde edilmiştir, [8].

Bu çalışmada, yapı üzerinde belirli bir noktadan yapıya girilen titreşim gücünü etkileyen parametrelerin belirlenmesi ve bu parametreler göz önüne alınarak yapıya girilen titreşim gücünün modellenmesi amaçlanmaktadır. Böylece, bir üründen akan aktif titreşim gücünün ölçümüne dayanan bir kalite kontrol sistemi ölçüm düzeneğinin modellenmesi ve kalite kontrol amacına yönelik en uygun ölçüm düzeneğinin tasarım parametrelerinin ortaya çıkarılması hedeflenmiştir.

Endüstride üretim hattında, kalite kontrol yapılması amacıyla tasarlanmış sistemin ölçüm düzeneğinden beklenen fonksiyon, üzerine yerleştirilecek ürünün statik yükünü kaldırması ve üründen akan titreşim gücünün amaca uygun bir şekilde ölçülebilcek bir algılayıcıyı yapısında bulundurmasıdır. Kalite kontrolü yapılacak ürün olarak, çamaşır makinası elektrik motoru göz önüne alınmıştır.

Kalite kontrol sistemi, ürünün statik yükünü alması için tasarlanmış üç hava yastığının üzerine yerleştirilmiş bir T şeklinde levha, levhanın ortasına

yerleştirilmiş bir sönümlerici eleman ve üründen akan mekanik gücün ölçmek için sönümlerici eleman üzerine konumlandırılmış bir titreşim gücü algılayıcısından oluşan, bir ölçüm düzeneği içermektedir. Bu düzenek Şekil.1.1'de gösterilmiştir. Mevcut ölçüm düzeneği üzerinde bulunan titreşim gücünü algılayıcısı, iki bölümden oluşmaktadır. Birinci bölümde bir ivme ölçer, ikinci bölümde ise kuvvet ölçer bulunmaktadır. Bu iki algılayıcı faz karakteristikleri uyum gösterecek şekilde bir araya getirilerek titreşim gücünü algılayıcısı geliştirilmiştir. Söz konusu iki algılayıcıdan elde edilen kuvvet ve hız sinyalleri frekans ekseninde birbirileri ile çarpılarak, titreşim gücünün frekans açılımı hesaplanmaktadır. Titreşim gücünün spektrumu daha sonra kalite kontrol amacıyla kullanılmaktadır.



Şekil.1.1. Titreşim gücünün ölçümünde kullanılmak üzere tasarlanmış ölçüm düzeneği.

Bir yapıya girilen titreşim gücünü, analitik yöntemler kullanılarak Bölüm.2'de formüle edilecek, Bölüm.4'de modellenecek ve Bölüm.5'de elde edilen model sınanacak, modelin güvenilirliği sağlandıkten sonra mevcut ölçüm düzeneğine uygulanacaktır. Bu işlem sırasında ölçüm tekniğini etkileyen parametrelerin

belirlenmesi ve elde edilen bilgilerin ışığında ölçüm tekniğine en uygun ölçüm düzeneğinin tasarılanmasına yönelik parametreler elde edilecektir.

Ölçüm düzeneğinin modellenmesinde, adım adım iki yaklaşım kullanılacaktır. Bu yaklaşımlar sırasıyla,

- Modal Analiz Yöntemi,
- Sonlu Elemanlar Yöntemi'dir.

İki temel yaklaşım kullanılarak, yapının farklı bakış açılarıyla değişik frekans bandlarındaki davranışı modellenecektir. Öncelikle, yapının toplu parametreli olarak ele alınması sonucu yapıya girilen titreşim gücünün ortalama değeri elde edilecektir. Fakat yapının geometrisi üzerinde titreşim gücünün nasıl bir dağılım gösterdiği belirlenemeyecektir. Bu nedenle, yapı üzerinde tanımlanan nokta sayısına göre yapının nasıl bir davranış gösterdiğinin ve tanımlanan noktalar üzerinde titreşim gücünün nasıl bir frekans açılımı gösterdiğinin belirlenmesi için, Modal Analiz Yöntemi yardımıyla yapının modal bir modeli kurulacaktır. Yapının üzerinde tanımlanabilecek en küçük elemana kadar nasıl bir titreşim dağılımı gösterdiğinin belirlenmesi için de, Sonlu Elemanlar Yöntemi kullanılarak, yapının yayılı parametreli bir modeli kurulacaktır. Söz konusu modellerin elde edilebilmesi için, kullanılacak yapısal özellikler Bölüm.3'de yapılan deneysel çalışmalar sonucu elde edilmiştir.

Titreşim gücünü etkileyen; yapısal özellikler, sınır şartları, yapıya uygulanan kuvvetin genliği, frekansı ve faz açısı gibi parametrelerin incelenmesi önem taşımaktadır. Bu nedenle, ölçüm düzeneğini oluşturan elemanların dinamik davranışlarının bilinmesi ve yapısal dinamik özelliklerinin ortaya çıkarılması gerekmektedir. Değişik sınır şartlarında ve yükleme durumlarında, ölçüm düzeneğinin ne tür bir davranış gösterdiği belirlenmelidir.

Titreşim gücünün yapı içerisindeki dağılımının, yapısal özelliklere ve uygulanan kuvvetin genliğine bağlı olarak, frekans ekseninde özellikle düşük frekanslarda (T şeklindeki levhanın katı cisim hareketlerinin meydana geldiği frekanslarda) nasıl değiştiğinin belirlenmesi için, yapı toplu parametreli olarak modellenmiştir. Yapının dinamik davranışını belirlerken ve titreşim gücünün yapı içerisindeki dağılımının, uygulanan kuvvetin genliğine ve yapısal özelliklere bağlı olarak frekans ekseninde özellikle yüksek frekanslarda (elastik cisim hareketlerinin meydana geldiği frekanslarda) nasıl değiştiğinin belirlenmesi için, Modal Analiz Yöntemi kullanılmıştır. Titreşim gücünün yapı içerisinde, yapısal özelliklerin, sınır şartlarının, kuvvetin genliğinin belirli bir frekansta nasıl bir dağılım gösterdiğinin belirlenmesi için, Sonlu Elemanlar Yöntemi kullanılmıştır. Yapıya uygulanan kuvvetler arasında faz farkı olması durumunda, yapı üzerinde titreşim gücü dağılımının açıklanması süperpozisyon yöntemi ile gerçekleştirilebilir ancak, titreşim gücünü etkileyen bu parametre dışındaki tüm parametreler bu çalışmada göz önüne alınmaktadır.

Yapıya bir noktadan girilen titreşim gücünün o noktanın sahip olduğu mobilite özelliği ile ilgili olduğu tespit edilmiştir. Bir noktaya girilecek aktif titreşim gücü spektrumunun o noktanın sahip olduğu mobilite spektrumunun gerçek kısmı ile, reaktif titreşim gücünün ise mobilite'nin sanal kısmı ile doğru orantılı olduğu görülmüştür. Yapının içinde aktif titreşim gücünün yapının sahip olduğu sönüüm dağılımı ile belirlendiği, reaktif titreşim gücünün ise yapının içinde depolanan potansiyel ve harcanan kinetik enerji dağılımı ile belirlendiği tespit edilmiştir. Yapıda doğal frekans bölgesinde maksimum aktif titreşim gücү girişi, minimum reaktif titreşim gücү girişi olduğu gözlenmiştir. Ayrıca reaktif titreşim gücünün doğal frekans bölgesi geçildikten sonra işaret değiştirdiği tespit edilmiştir. Yapıda sönüümün daha az olduğu noktalarda daha fazla titreşim genliği olacağı ve

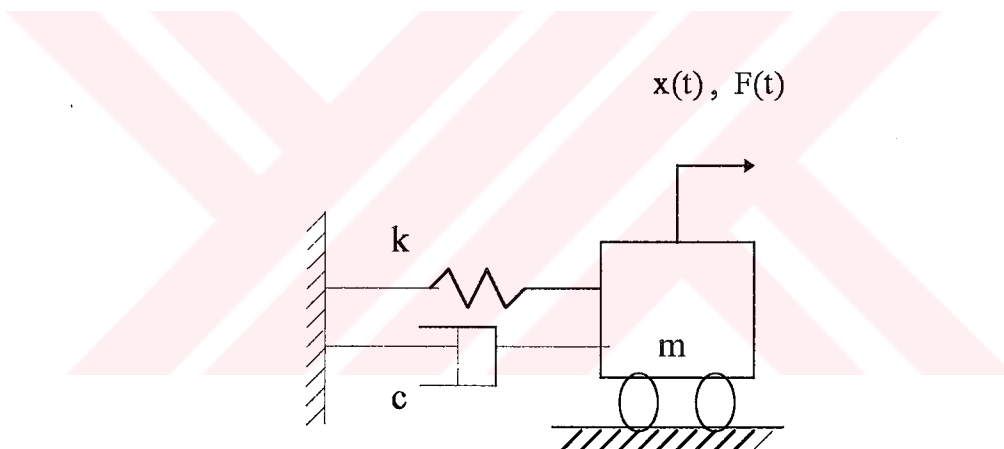
dolayısıyla daha fazla aktif titreşim gücü girilebileceği (doğal frekans bölgesinde) belirlenmiştir.

Yukarıda belirtilen iki temel yaklaşım kullanılarak, titreşim gücünü ölçüm tekniği hakkında elde edilen bilgiler ışığında, ölçüm tekniğine en uygun ölçüm düzeneğinin tasarlanmasına yönelik parametreler ortaya konmuştur.

BÖLÜM 2. MEKANİK SİSTEMLERDE TİTREŞİM GÜCÜ:

2.1. Mekanik Sistemlerde Titreşim Gücüne Giriş:

Çok serbestlik dereceli sistemlerde titreşim gücünü tanımlamadan önce, tek serbestlik dereceli sistemlerde titreşim gücünün tanımının yapılması, konunun daha iyi anlaşılması bakımından oldukça yararlı olmaktadır. Bu bölümde, aktif ve reaktif titreşim gücünü etkileyen parametreler tek serbestlik dereceli bir sistem üzerinde açıklanacaktır, [2]. Tek serbestlik dereceli bir sistem, Şekil.2.1'de gösterilmektedir.



Şekil.2.1. Tek Serbestlik Dereceli Sistem.

m kütlesine $x(t)$ doğrultusunda $F(t)$ kuvveti uygulanması durumunda, c sönüüm katsayısı m kütlesinin $\dot{x}(t)$ hızının ters doğrultusunda $-c\dot{x}(t)$ 'lık bir kuvvet üretmektedir. Sertlik katsayısı k ise, m kütlesinin $x(t)$ yerdeğiştirmesinin ters doğrultusunda $-kx(t)$ 'lık bir kuvvet üretmektedir. Dış kuvvetler tarafından m kütlesine uygulanan $F(t)$ kuvveti de göz önüne alınarak yukarıda bahsedilen kuvvetler toplandığında (2.1) denklemi elde edilmektedir.

$$\ddot{x}(t) + \omega_0 \eta \dot{x}(t) + \omega_0^2 x(t) = \frac{F(t)}{m} \quad (2.1)$$

ω_0 , doğal frekans [rad/s],

η , kayıp faktörü,

$x(t)$, yerdeğiştirme [m],

$\dot{x}(t)$, hız [m/s],

$\ddot{x}(t)$, ivme [m/s^2],

$F(t)$, kuvvet [N],

m , kütle [kg],

$$\omega_0 = \sqrt{\frac{k}{m}} \quad (2.2)$$

k , sertlik katsayısı [N/m],

$$\eta = \frac{c}{\omega_0 m} \quad (2.3)$$

c , sönüüm katsayısı [Ns/m], gösterilmektedir.

Sönüümsüz serbest titreşimler göz önüne alındığında, $F(t) = 0$, $\eta = 0$ ve (2.1) denklemi (2.4) denklemindeki şeklini almaktadır.

$$\ddot{x} + \omega_0^2 x = 0 \quad (2.4)$$

(2.4) denkleminde gösterilen, ikinci mertebeden homojen diferansiyel denklemenin çözümü (2.5) denkleminde verilmektedir.

$$x = A \cos \omega_0 t + B \sin \omega_0 t = C \sin(\omega_0 t + \phi) \quad (2.5)$$

$$\omega_0 = 2\pi f_0 \quad (2.6)$$

f_0 , frekans [Hz],

(2.5) denkleminde belirtilen A, B katsayıları yada C genlik ve ϕ faz açısı değerleri, x yerdeğiştirme ve \dot{x} hız değerlerinin belirli bir anda bilinmesiyle tespit edilebilmektedir.

Şekil.2.1'de gösterilen m kütlesinin belirli bir anda sahip olduğu kinetik enerji (2.7) denkleminde verilmektedir.

$$KE = \frac{1}{2} m \dot{x}^2 = \frac{1}{2} m C^2 \omega_0^2 \cos^2(\omega_0 t + \phi) \quad (2.7)$$

yay elemanında depolanan potansiyel enerji (2.8) denkleminde ifade edilmektedir.

$$PE = \frac{1}{2} k x^2 = \frac{1}{2} k C^2 \sin^2(\omega_0 t + \phi) \quad (2.8)$$

(2.7) ve (2.8) denklemlerindeki ifadelerin toplamı (2.9) denkleminde tanımlanan,

$$E = KE + PE = \frac{1}{2} k C^2 \quad (2.9)$$

zamana bağlı olmayan ve titreşim genliğine bağlı olan toplam titreşim enerjisini vermektedir. Sönümsüz ve aynı zamanda yalıtlılmış bir sistem göz önüne alındığında

titreşim enerjisi zamanla değişmeyecektir.

Yer değiştirme ve hız $1/f_0$ 'lık bir periyod ile kendini tekrar etmektedir. Bu periyod içinde potansiyel ve kinetik enerjinin ortalaması alınırsa, (2.10) denklemindeki ifade elde edilir.

$$\langle KE \rangle_{\approx} = \langle PE \rangle_{\approx} = \frac{1}{4} k C^2 = \frac{1}{2} E \quad (2.10)$$

$\langle \dots \rangle_{\approx}$, yaklaşık değeri ifade etmektedir.

(2.10) denkleminin anlamı, kinetik ve potansiyel enerjinin zaman ortalaması birbirine ve toplam titreşim enerjisinin yarısına eşittir.

Sönümlü ve serbest titreşim durumunda, $\eta \neq 0$ olmakta ve (2.1) denklemi (2.11) denklemindeki şeklini almaktadır.

$$\ddot{x} + \omega_0 \eta \dot{x} + \omega_0^2 x = 0 \quad (2.11)$$

Eğer x çözümünün yaklaşık olarak $e^{\alpha t}$ eşit olduğu kabul edilirse, α değeri (2.12) denklemindeki ifadeye eşit olmaktadır.

$$\alpha = \frac{1}{2} \omega_0 \eta \mp i \omega_d \quad (2.12)$$

ω_d , sünonümlü doğal frekans [rad/s]

(2.13) denkleminde sünonümlü doğal frekansın tanımı,

$$\omega_d = \omega_0 \sqrt{1 - \left(\frac{\eta^2}{4}\right)} \quad (2.13)$$

(2.14) denkleminde ise, $x(t)$ 'in çözümü verilmektedir.

$$x(t) = Ce^{-\frac{1}{2}\omega_0\eta t} \sin(\omega_d t + \phi) \quad (2.14)$$

Sönümlü titreşim durumunda, titreşim ω_d frekansında meydana gelmekte ve titreşim genliği, sönüüm enerjisinin toplam titreşim enerjisinden çıkarılmasından dolayı zamanla eksponansiyel olarak azalmaktadır. Kayıp faktörünün $\eta \leq 0.5$ olması durumunda, ω_d süönümlü doğal frekans, ω_0 süönümsüz doğal frekansa çok yakın, aynı zamanda süönümlü titreşim periyodu, süönümsüz titreşim periyodu ile hemen hemen eşit olmaktadır.

Sönümlü titreşim durumunda, potansiyel enerji (2.15) denklemindeki şeklini,

$$PE = \frac{1}{2} kx^2 = \frac{1}{2} kC^2 e^{-\omega_0\eta t} \sin^2(\omega_d t + \phi) \quad (2.15)$$

kinetik enerji ise (2.16) denklemindeki şeklini almaktadır.

$$KE = \frac{1}{2} m\dot{x}^2 = \frac{1}{2} Cm\omega_0^2 e^{-\omega_0\eta t} \left[-\frac{\omega_d}{\omega_0} \cos(\omega_d t + \phi) + \frac{1}{2} \eta \sin(\omega_d t + \phi) \right]^2 \quad (2.16)$$

Titreşim genliğindeki üstsel çarpanının etkisi ihmal edildiğinde (2.17) denklemi elde edilmektedir.

$$\langle PE \rangle_{\approx} = \frac{1}{2} k C^2 e^{-\omega_0 n t} = \langle KE \rangle_{\approx} = \frac{1}{2} \langle E \rangle_{\approx} \quad (2.17)$$

Sinüsoidal zorlanmış titreşim durumunda, Şekil.2.1'de gösterilen tek serbestlik dereceli sisteme uygulanan ve frekansı ω olan sinüsoidal bir $F(t)$ kuvveti göz önüne alınmakta ve (2.18) denkleminde tanımlanmaktadır.

$$F(t) = |F| \cos(\omega t + \psi) = \operatorname{Re} \{ |F| e^{-i\omega t - i\psi} \} \quad (2.18)$$

ψ , faz açısını [derece],

$\operatorname{Re} \{ \dots \}$, karmaşık sayı olan bir ifadenin gerçel kısmını göstermektedir.

Genel kayıplar göz önüne alınmadığında, kuvvet ve hız değerleri karmaşık sayı olarak, (2.19) ve (2.20) denklemlerinde olduğu gibi ifade edilmektedir.

$$F(t) = F e^{-i\omega t} \quad (2.19)$$

$$\dot{x}(t) = V e^{-\omega t} \quad (2.20)$$

$F(t)$ kuvvet ve hız \dot{x} değerleri (2.1) denkleminde yerine koyulduğunda (2.21) denklemi elde edilmektedir.

$$F = V(-i\omega_0 m) \left\{ (\omega / \omega_0 - \omega_0 / \omega) + i\eta \right\} \equiv VZ \quad (2.21)$$

Z, dinamik sönübü [Ns/m], belirtmektedir.

(2.21) denklemini, (2.22) denkleminde olduğu şekliyle de tanımlamak mümkün olmaktadır.

$$V/F \equiv Y = \left\{ \omega_0 \eta m - i(\omega m - k/\omega) \right\}^{-1} \quad (2.22)$$

burada,

Y , mobilite [m/Ns],

F , kuvvetin genliği [N],

V , hızın genliği [m/s], olarak tanımlanmaktadır.

Kaynak tarafından yapıya girilen ortalama güç (2.23) denkleminde verilmiştir.

$$\Pi = \langle F \dot{x} \rangle_t \quad (2.23)$$

$\langle \dots \rangle_t$, zaman ortalamasını göstermektedir.

(2.23) denklemindeki değişkenler karmaşık sayı olarak tanımlandığından, bu değişkenlerin zaman ortalaması, karmaşık sayı değerlerinin genliğine yaklaşık olarak eşit olmaktadır. (2.23) denklemi, (2.24) denklemi şeklinde de ifade edilebilmektedir.

$$\Pi = \langle F \dot{x} \rangle_t = \frac{1}{2} \{ F V^* \} \quad (2.24)$$

Π , yapıya girilen, zaman ortalaması alınmış güç değerini [W],

$*$, karmaşık sayı eşleniğini göstermektedir.

(2.22) denklemi, (2.24) denkleminde yerine yazılıncı ve ayrıca η kayıp faktörü yerine (2.3) denklemindeki karşılığı, ω_0 doğal frekans yerine (2.2) denklemindeki karşılığı koyulduğunda (2.25) denklemi elde edilmektedir.

$$\Pi = \frac{1}{2} F \left[\frac{c\omega^2 + i\omega(k - \omega^2 m)}{(k - \omega^2 m)^2 + c^2 \omega^2} \right] F \quad (2.25)$$

(2.25) denkleminde belirtilen toplam titreşim gücünün, gerçek kısmı aktif titreşim gücünü, sanal kısmı reaktif titreşim gücünü belirtmekte ve (2.26), (2.27) denklemelerinde gösterilmektedir.

$$^P\Pi = \frac{1}{2} F^2 \omega^2 \frac{c}{(k - \omega^2 m)^2 + c^2 \omega^2} \quad (2.26)$$

$$^Q\Pi = \frac{1}{2} F^2 \omega \frac{(k - \omega^2 m)}{(k - \omega^2 m)^2 + c^2 \omega^2} \quad (2.27)$$

$^P\Pi$, tek serbestlik dereceli sistemde aktif titreşim gücü [W],

$^Q\Pi$, tek serbestlik dereceli sistemde reaktif titreşim gücü [W], gösterilmektedir.

(2.26) ve (2.27) denklemelerinde elde edilen tek serbestlik dereceli bir sistemde yapıya girilen aktif ve reaktif titreşim gücü değerlerinin, uygulanan kuvvetin genliğine, frekansına ve sistemin yapısal özelliklerine bağlı olarak değiştiği görülmektedir. (2.26) denkleminde F kuvvetinin dışında kalan ifade mobilite'nin gerçek kısmını, (2.27) denkleminde F kuvvetinin dışında kalan ifade ise, mobilite'nin sanal kısmını göstermektedir. Dolayısıyla, aktif titreşim gücü mobilite'nin gerçek kısmı ile, reaktif titreşim gücü mobilite'nin sanal kısmı ile, (2.26) ve (2.27) denklemelerinden görüldüğü üzere, doğru orantılıdır.

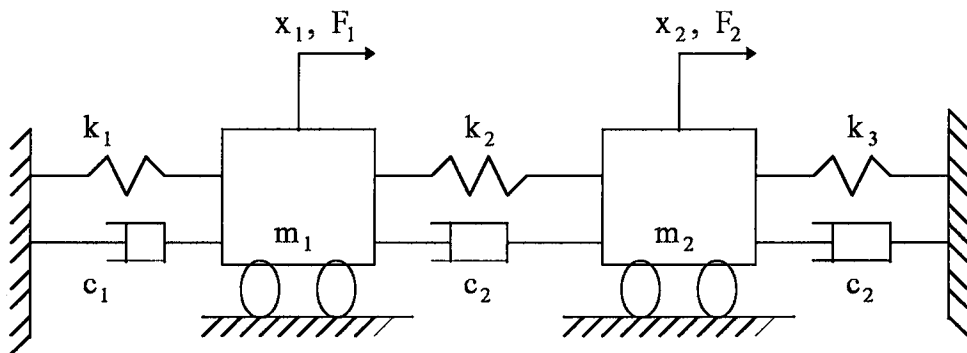
(2.26) denkleminde tanımlanan aktif titreşim gücü, frekansa göre değişmektedir. Tek serbestlik dereceli bir sistemin doğal frekansına kadar, frekans arttıkça aktif titreşim gücü artmaktadır. Doğal frekanstan sonraki bölgede, frekans arttıkça azalmaktadır. Doğal frekans bölgesinde, aktif titreşim gücünün maksimum olmasının nedeni, paydada parantez içindeki ifadenin sıfıra eşit olmasıdır. Bu frekans bölgesinde aktif parametre sönüüm katsayısı olmaktadır. Sönüüm katsayılarından daha az olmakla beraber, sertlik katsayısı ve kütle değerine göre, doğal frekans değişeceğinden aktif titreşim gücünün maksimum olduğu frekans değeri değişmektedir. Doğal frekans bölgesinde, aktif titreşim gücünün belirlenmesinde, paydada parantez içindeki ifade sıfıra eşit olduğundan sönüüm katsayısı etkin bir parametre olmaktadır. Payda da sönüüm katsayısının karesi, pay da ise kendisi olduğundan, sönüüm katsayısında meydana gelecek azalma aktif titreşim gücünün artmasına neden olacaktır.

(2.27) denklemde tanımlanan reaktif titreşim gücü, pay ve payda da bulunan parantez içindeki ifadeler frekans değişimine göre değişecektir. Frekans artışıyla reaktif titreşim gücü artacak, daha sonra doğal frekans bölgesine doğru azalmaya başlayacak ve doğal frekans bölgesinde sıfıra eşit olacaktır. Doğal frekans bölgesinden sonra, payda da parantez içindeki ifade nedeniyle reaktif titreşim gücü negatif değer alacaktır.

2.2. Toplu Parametreli Sistemlerde Titreşim Gücünün Dağılımı

Mekanik sistemlerde titreşim analizi yaparken, yapıyı toplu parametreli olarak ele almak, analizin ileri aşamalarını anlamak, çözümlemek açısından oldukça yararlı olmakta ve ortalama bir sonuç vermektedir. Yapıya girilen toplam

titreşim enerjisiniin ortalama değerinin çok serbestlik dereceli sistemlerde hesaplanabilmesi için, öncelikle iki serbestlik dereceli bir sistem göz önüne alınmıştır, [8]. İki serbestlik dereceli bir sistem Şekil.2.2'de gösterilmekte ve hareket denklemleri (2.29) denkleminde ifade edilmektedir.



Şekil.2.2. İki Serbestlik Dereceli Sistem.

$$\begin{aligned} m_1 \ddot{x}_1 + (c_1 + c_2) \dot{x}_1 - c_2 \dot{x}_2 + (k_1 + k_2)x_1 - k_2 x_2 &= F_1 \\ m_2 \ddot{x}_2 + (c_2 + c_3) \dot{x}_2 - c_2 \dot{x}_1 + (k_2 + k_3)x_2 - k_2 x_1 &= F_2 \end{aligned} \quad (2.29)$$

m_1, m_2 , kütle değerleri, [kg]

k_1, k_2, k_3 , sertlik katsayıları, [N/m]

c_1, c_2, c_3 , sönüüm katsayıları, [Ns/m]

x_1, x_2 , yerdeğiştirme değerleri, [m]

\dot{x}_1, \dot{x}_2 , hız değerleri, [m/s]

\ddot{x}_1, \ddot{x}_2 , ivme değerleri, [m/s^2]

(2.29) denklemının matris gösterimindeki karşılığı (2.30) denkleminde gösterilmektedir.

$$\begin{bmatrix} m_1 & 0 \\ 0 & m_2 \end{bmatrix} \begin{Bmatrix} \ddot{x}_1 \\ \ddot{x}_2 \end{Bmatrix} + \begin{bmatrix} c_1 + c_2 & -c_2 \\ -c_2 & c_2 + c_3 \end{bmatrix} \begin{Bmatrix} \dot{x}_1 \\ \dot{x}_2 \end{Bmatrix} + \begin{bmatrix} k_1 + k_2 & -k_2 \\ -k_2 & k_2 + k_3 \end{bmatrix} \begin{Bmatrix} x_1 \\ x_2 \end{Bmatrix} = \begin{Bmatrix} F_1 \\ F_2 \end{Bmatrix} \quad (2.30)$$

İki serbestlik dereceli bir sistemin hareket denklemleri (2.30) denkleminde, çok serbestlik dereceli bir sistemin hareket denklemleri ise (2.31) denkleminde matris formunda gösterilmektedir.

$$[M]\{\ddot{X}\} + [C]\{\dot{X}\} + [K]\{X\} = \{F\} \quad (2.31)$$

$\{F\}$, yapıya uygulanan dış kuvvetleri belirten bir vektör,

$[M]$, yapının kütle matrisi, diagonal bir formda,

$[C]$, yapının sönüüm matrisi, simetrik bir formda,

$[K]$, yapının sertlik matrisi, simetrik bir formda,

$\{X\}$, $\{\dot{X}\}$, $\{\ddot{X}\}$, sırasıyla yerdeğiştirme, hız ve ivme vektörleri olarak tanımlanmaktadır.

(2.32) denkleminde, yapıda depolanan U_A potansiyel enerji, (2.33) denkleminde, yapıda harcanan T_A kinetik enerji, (2.34) denkleminde, yapıda Π_A sönüümlenen güç, (2.35) denkleminde yapıya girilen S_A toplam titreşim gücü gösterilmektedir.

$$U_A = \frac{1}{2} \{X\}^T [K] \{X\} \quad (2.32)$$

$$T_A = \frac{1}{2} \{\dot{X}\}^T [M] \{\dot{X}\} \quad (2.33)$$

$$\Pi_A = \{\dot{X}\}^T [C] \{\dot{X}\} \quad (2.34)$$

$$S_A = \{F\}^T \{\dot{X}\} \quad (2.35)$$

U_A , yapıda depolanan potansiyel enerji [Ws],

T_A , yapıda harcanan kinetik enerji [Ws],

Π_A , yapıda sönümlenen güç [W],

S_A , yapıya girilen toplam titreşim gücünü [W],

A , alt indisi yaklaşık değeri,

T , üst indisi matrisin transpozesi anlamına gelmektedir.

(2.31) denkleminde basit harmonik hareket kabulü yapılrsa, (2.36) denklemi elde edilir. Altı çizili olan ifadeler karmaşık sayıları ve zaman ortalaması alınmış değerleri ifade etmektedir.

$$(-\omega^2[M] + i\omega[C] + [K])\{\underline{X}\} = \{F\} \quad (2.36)$$

ω , frekans'ı [rad/s] göstermektedir.

(2.36) denkleminin sol parantez içindeki ifadenin tersi dinamik elastisite matrisi olarak tanımlanmakta ve (2.2.9) denkleminde gösterilmektedir.

$$[\underline{e}] = ([K] - \omega^2[M] + i\omega[C])^{-1} \quad (2.37)$$

$[\underline{e}]$, dinamik elastisite matrisini göstermektedir.

(2.37) denklemi, (2.36) denkleminde yerine koyulursa (2.38) denklemi elde edilir.

$$\{\underline{X}\} = [\underline{e}] \{\underline{F}\} \quad (2.38)$$

(2.38) denkleminde tanımlanan liner sistem göz önüne alınarak, yapıya bir doğrultuda uygulanan kuvvetler tarafından yapıya girilen titreşim gücünü karmaşık sayı olarak (2.39) denkleminde ifade edilmektedir.

$$\underline{S}_A = \frac{1}{2} \{\underline{F}\}^{*T} \{\dot{\underline{X}}\} = P_A + iQ_A \quad (2.39)$$

Yapıya bir doğrultuda girilen,

S_A, toplam titreşim gücünü, [W],

P_A, aktif titreşim gücünü, [W],

Q_A, reaktif titreşim gücünü, [W],

* , üst indis matrisin karmaşık eşleniğini, göstermektedir.

(2.39) denklemindeki $\{\underline{F}\}$ değerinin yerine (2.38) denklemindeki değeri yazılarak (2.40) denklemi elde edilmektedir.

$$\underline{S}_A = \frac{1}{2} \{\underline{X}\}^{*T} ([K] - \omega^2 [M] + i\omega [C])^{*T} \{\dot{\underline{X}}\} \quad (2.40)$$

(2.40) denkleminde gerekli dönüşümler ve işlemler yapıldıktan sonra, S_A değeri (2.41) denklemindeki halini almaktadır.

$$\underline{S}_A = i\omega \left(\frac{1}{2} \{\underline{X}\}^{*T} [K] \{\underline{X}\} - \frac{1}{2} \{\dot{\underline{X}}\}^{*T} [M] \{\dot{\underline{X}}\} \right) + \frac{1}{2} \{\dot{\underline{X}}\}^{*T} [C] \{\dot{\underline{X}}\} \quad (2.41)$$

S_A değeri, quadratik formdaki elemanları karmaşık sayılar olan matrislerin çarpımı sonucu ortaya çıktıgından karmaşık bir değerdir. Bu değerin gerçek ve sanal kısımları sırasıyla (2.39) denklemının sağ tarafında tanımlanan aktif titreşim gücünü P_A ve reaktif titreşim gücünü Q_A vermektedir ve (2.42), (2.43) denklemelerinde gösterilmektedir. P_A, Q_A değerleri, reel birer sayıdırlar.

$$P_A = \frac{1}{2} \{\dot{\underline{X}}\}^{*T} [C] \{\dot{\underline{X}}\} \quad (2.42)$$

$$Q_A = \frac{\omega}{2} (\{\underline{X}\}^{*T} [K] \{\underline{X}\} - \{\dot{\underline{X}}\}^{*T} [M] \{\dot{\underline{X}}\}) \quad (2.43)$$

(2.43) denkleminde, $\{\dot{\underline{X}}\}$ vektörü yerine (2.38) denkleminde tanımlanan $\{\underline{X}\}$ vektörünün harmonik kabule göre türevi alınarak yerleştirildiğinde (2.44) denklemi elde edilmektedir.

$$P_A = \frac{\omega^2}{2} \{\underline{E}\}^{*T} [L_P] \{\underline{E}\} \quad (2.44)$$

(2.44) denkleminde tanımlanan $[L_P]$ matrisi (2.45) denkleminde açıkça ifade edilmektedir.

$$[L_P] = [\underline{e}]^{*T} [C] [\underline{e}] \quad (2.45)$$

$[L_P]$, elemanları gerçek sayılar olan simetrik bir matristir.

(2.43) denkleminde, $\{\dot{\underline{X}}\}, \{\underline{X}\}$ vektörlerinin yerine (2.38) denklemindeki karşılıkları yazılınca (2.46) denklemi elde edilmektedir.

S_A değeri, quadratik formdaki elemanları karmaşık sayılar olan matrislerin çarpımı sonucu ortaya çıktıgından karmaşık bir değerdir. Bu değerin gerçek ve sanal kısımları sırasıyla (2.39) denkleminin sağ tarafında tanımlanan aktif titreşim gücünü P_A ve reaktif titreşim gücünü Q_A vermektedir ve (2.42), (2.43) denklemlerinde gösterilmektedir. P_A , Q_A değerleri, reel birer sayıdırlar.

$$P_A = \frac{1}{2} \{\dot{\underline{X}}\}^{*T} [C] \{\dot{\underline{X}}\} \quad (2.42)$$

$$Q_A = \frac{\omega}{2} (\{\underline{X}\}^{*T} [K] \{\underline{X}\} - \{\dot{\underline{X}}\}^{*T} [M] \{\dot{\underline{X}}\}) \quad (2.43)$$

(2.43) denkleminde, $\{\dot{\underline{X}}\}$ vektörü yerine (2.38) denkleminde tanımlanan $\{\underline{X}\}$ vektörünün harmonik kabule göre türevi alınarak yerleştirildiğinde (2.44) denklemi elde edilmektedir.

$$P_A = \frac{\omega^2}{2} \{\underline{F}\}^{*T} [L_P] \{\underline{F}\} \quad (2.44)$$

(2.44) denkleminde tanımlanan $[L_P]$ matrisi (2.45) denkleminde açıkça ifade edilmektedir.

$$[L_P] = [\underline{e}]^{*T} [C] [\underline{e}] \quad (2.45)$$

$[L_P]$, elemanları gerçek sayılar olan simetrik bir matristir.

(2.43) denkleminde, $\{\dot{\underline{X}}\}$, $\{\underline{X}\}$ vektörlerinin yerine (2.38) denklemindeki karşılıkları yazılınca (2.46) denklemi elde edilmektedir.

$$Q_A = \frac{\omega}{2} \{F\}^{*T} [L_Q] \{F\} \quad (2.46)$$

(2.46) denkleminde tanımlanan L_Q matrisi (2.47) denkleminde açıkça ifade edilmektedir.

$$[L_Q] = [\underline{e}]^{*T} ([K] - \omega^2 [M]) [\underline{e}] \quad (2.47)$$

$[L_Q]$, elemanları gerçek sayılar olan simetrik bir matristir.

(2.45) ve (2.47) denklemlerinde tanımlanan $[\underline{e}]$ dinamik elastisite matrisi bir dizi matrisin toplanması ve tersinin alınması sonucu elde edilmiştir. Matris tersi işlemi yapmak yerine diklik ilkesi (ortogonalite prensibi) kullanılarak, $[L_P]$, $[L_Q]$ matrisleri elde edilebilir. Diklik ilkesi, Bölüm.2.5'de Modal Analiz Yönteminin içinde ele alınacaktır. Bölüm.2.1'de tek serbestlik dereceli sistemlerde titreşim gücü ile ilgili yapılan çıkarsamalar, bu bölüm içinde geçerli olmaktadır. Yapı üzerinde hangi noktalara kuvvet uygulanacağı ve bu kuvvetlerin arasındaki faz farkı önem kazanmaktadır. Kuvvetin uygulanacağı noktadan yapıya girilecek aktif ve reaktif titreşim gücü değerleri değişecektir.

2.3. Yaylı Parametreli Sistemlerde Titreşim Gücü Dağılımı, Sürekli Ortamda Modeli

Katı cisimlerin hareketi, oldukça bilinen bir diferansiyel denklem olan gücün sürekliliği denklemiyle tanımlanmıştır. Bu denklem aynı zamanda, yapıya değişik yükleme durumlarında giren güç, depolanan güç ve harcanan güç arasındaki dengeyi de ifade etmektedir. Bu bölümde, iç yapısal sönüme sahip bir katı cisim

icin güç sürekliliği denklemi göz önüne alınacaktır [4], [8]. Güç sürekliliği denkleminden, bir vektör alanı olarak tanımlanan yapı içerisindeki güç akışının tanımı elde edilecektir. (Bu formüllerin elde edilmesinde tensör gösterimi ve Einstein kısaltması kullanılacaktır.) Bölüm.2.4'de kurulacak sonlu elemanlar modelinde kullanılmak üzere, sürekli ortamdaki güç akışı formülasyonundan yararlanılacaktır. Ayrıca aktif ve reaktif titreşim gücү ile, potansiyel, kinetik ve sönüm gücü arasındaki bağıntı belirlenecektir.

Herhangi bir şekilde sahip bir katı cisim hareketini tanımlamak için, sürekli model kullanılacaktır. Hareket denklemi elde edilirken, birim uzamanın tanımı ve malzemeye göre birim uzama ile gerilme arasındaki ilişki tanımlanmalıdır. Kullanılacak malzemenin iç sönümünü verebilmek için, Kelvin tip lineer viskoelastik malzeme göz önüne alınmıştır.

Öncelikle, Newton'un kuvvet denkliği denklemi, birim hacimdeki bir yapı için, (2.48) denkleminde ele alınmaktadır.

$$\rho \ddot{u}_i = \sigma_{ji,j} + F_i \quad (i = 1, 2, 3, j = 1, 2, 3) \quad (2.48)$$

ρ , malzemenin yoğunluğunu [kg/m^3],

\ddot{u}_i , ivme tensörünü [m/s^2],

σ_{ij} , gerilme tensörünü [N/m^2],

F_i , kuvvet tensörünü [N/m^3],

$,_j$, gösterimi j doğrultusundaki kısmi türevi göstermektedir.

(2.48) denkleminin her iki tarafı \dot{u}_i hız tensörü ile çarpılarak, (2.49) denklemi elde edilmektedir.

$$\rho \ddot{\mathbf{u}}_i \dot{\mathbf{u}}_i = \sigma_{ji,j} \dot{\mathbf{u}}_i + F_i \dot{\mathbf{u}}_i \quad (i=1,2,3, j=1,2,3) \quad (2.49)$$

$\dot{\mathbf{u}}_i$, hız tensörünü [m/s] göstermektedir.

Yapı içerisindeki gerilme dağılımı tanımlanırken, açısal momentumun denkliği kabul edilerek (2.50) denkleminde olduğu şekliyle simetrik gerilme tensörü ifade edilmektedir. Bu kabul yardımıyla, gerilme tensöründe diagonal olmayan elemanların, çaprazında kalan elemanlarla eşit olduğu kabul edilmiştir.

$$\sigma_{ij} = \sigma_{ji} \quad (i=1,2,3, j=1,2,3) \quad (2.50)$$

Gerilme tensörü ile ivme tensörü arasında (2.51) denkleminde tanımlanan bağıntı bulunmaktadır.

$$\sigma_{ij} \dot{\mathbf{u}}_{j,i} = \sigma_{ji} \dot{\mathbf{u}}_{i,j} \quad (i=1,2,3, j=1,2,3) \quad (2.51)$$

(2.51) denklemindeki gerilme tensörü ile ilgili bağıntı ve (2.50) denklemindeki gerilme ve hız tensörü arasındaki bağıntı kullanılarak, hız tensörü ile ilgili bağıntı (2.52) denkleminde olduğu gibi elde edilmiş olmaktadır.

$$\dot{\mathbf{u}}_{j,i} = \dot{\mathbf{u}}_{i,j} \quad (i=1,2,3, j=1,2,3) \quad (2.52)$$

(2.49) denklemindeki gerilme tensöründe, i indisini yerine j , j indisini yerine i koyulduğunda denkemin doğruluğu korunmakta ve (2.53) denklemi elde edilmektedir.

$$\rho \ddot{\mathbf{u}}_i \dot{\mathbf{u}}_i = \sigma_{ij,j} \dot{\mathbf{u}}_i + F_i \dot{\mathbf{u}}_i \quad (i=1,2,3, j=1,2,3) \quad (2.53)$$

$$\sigma_{ij,i} \dot{u}_j = (\sigma_{ij} \dot{u}_j)_{,i} - \sigma_{ij} \dot{u}_{j,i} \quad (i=1,2,3, j=1,2,3) \quad (2.54)$$

(2.54) denklemini, (2.53) denkleminde yerine koyulduğunda (2.55) denklemi elde edilmektedir.

$$\rho \ddot{u}_i \dot{u}_i + \sigma_{ij} \dot{u}_{j,i} = (\sigma_{ij} \dot{u}_j)_{,i} + F_i \dot{u}_i \quad (i=1,2,3, j=1,2,3) \quad (2.55)$$

Yapının içinde şekil değişiminin lineer olduğu kabul edilerek ve (2.52) denklemi göz önüne alınarak (2.56) denklemi elde edilmektedir.

$$u_{j,i} = u_{i,j} \quad (i=1,2,3, j=1,2,3) \quad (2.56)$$

$u_{j,i}$, j doğrultusundaki yerdeğiştirme tensörünün i doğrultusundaki türevini göstermektedir.

$$\varepsilon_{ij} = \frac{1}{2} (u_{i,j} + u_{j,i}) \quad (i=1,2,3, j=1,2,3) \quad (2.57)$$

ε_{ij} , birim şekil değiştirme tensörünü göstermektedir.

(2.56) denklemi, (2.57) denkleminde tanımlanan birim şekil değişimi ifadesinde yerine koyulduğunda (2.58) denklemi elde edilmektedir.

$$\varepsilon_{ij} = u_{i,j} \quad (i=1,2,3, j=1,2,3) \quad (2.58)$$

(2.58) denklemi, (2.55) denkleminde yerine koyulduğunda, (2.59) denklemi elde edilmektedir.

$$\rho \ddot{u}_i \dot{u}_i + \sigma_{ij} \dot{\varepsilon}_{ij} = (\sigma_{ij} \dot{u}_j)_{,i} + F_i \dot{u}_i \quad (i=1,2,3, j=1,2,3) \quad (2.59)$$

$\dot{\varepsilon}_{ij}$, birim şekil değiştirme tensörünün zamana göre türevini göstermektedir.

Yapının viskoelastik malzemeden oluştuğu kabul edilirse, gerilme ifadesi (2.60) denkleminde olduğu gibi ifade edilmektedir.

$$\sigma_{ij} = E_{ijkl} \varepsilon_{kl} + C_{ijkl} \dot{\varepsilon}_{kl} \quad (k=1,2,3, l=1,2,3) \quad (2.60)$$

E_{ijkl} , elastisite tensörünü [N/m^2],

C_{ijkl} , sönüm tensörünü [Ns/m] göstermektedir.

(2.60) denklemindeki gerilme ifadesi, (2.59) denkleminde yerine koyulduğunda (2.61) denklemi elde edilmektedir.

$$\rho \ddot{u}_i \dot{u}_i + \dot{\varepsilon}_{ij} E_{ijkl} \varepsilon_{kl} + \dot{\varepsilon}_{ij} C_{ijkl} \dot{\varepsilon}_{kl} = (\sigma_{ij} \dot{u}_j)_{,i} + F_i \dot{u}_i \quad (2.61)$$

(2.61) denkleminde, bir noktadaki enerji sürekliliği ya da sonsuz küçük bir hacimdeki güç dengesi belirtilmektedir. (2.61) denklemi, (2.62) denkleminde olduğu şekliyle de ifade edilebilmektedir.

$$\dot{T} + \dot{U} + \Pi = S - q_{i,i} \quad (2.62)$$

\dot{T} , birim hacimde depolanan kinetik enerjinin zamana göre türevini göstermeyecektir [W/m^3],

\dot{U} , birim hacimde depolanan potansiyel enerjinin zamana göre türevini göstermeyecektir [W/m^3],

Π , birim hacimde sönümlenen gücü göstermekte [W/m^3],

S , birim hacimde yapıya dış kuvvetler tarafından girilen titreşim gücü göstermekte [W/m^3],
 $q_{i,i}$, sınırlar boyunca birim hacimden akan titreşim gücünü [W/m^3] göstermektedir.

(2.62) denklemi, (2.63) denkleminde verilen enerjinin sürekliliği denklemiyle de ifade etmek mümkündür.

$$\dot{W} + \Pi = S - q_{i,i} \quad (2.63)$$

\dot{W} , birim hacimde kinetik ve potansiyel olarak depolanan gücün toplamını [W/m^3] göstermektedir.

Birim hacimde depolanan kinetik enerji ve potansiyel enerji ifadesi, (2.64) ve (2.65) denklemelerinde açıkça ifade edilmektedir.

$$T = \frac{1}{2} \rho \dot{u}_i \dot{u}_i \quad (2.64)$$

$$U = \frac{1}{2} \epsilon_{ij} E_{ijkl} \epsilon_{kl} \quad (2.65)$$

Birim hacimde sönümlenen güç, (2.66) denkleminde ve dış kuvvetler tarafından birim hacimden yapıya girilen titreşim gücü, (2.67) denkleminde açıkça ifade edilmektedir.

$$\Pi = \dot{\epsilon}_{ij} C_{ijkl} \dot{\epsilon}_{kl} \quad (2.66)$$

$$\mathbf{S} = \mathbf{F}_i \dot{\mathbf{u}}_i \quad (2.67)$$

Belirli bir anda, belirli bir noktadan ve birim alandan geçen gücün doğrultusunu ve büyüklüğünü veren ifade (2.68) denkleminde tanımlanmaktadır.

$$q_i = -\sigma_{ij} \dot{u}_j \quad (2.68)$$

q_i , birim alandan geçen titreşim gücünü [W/m^2], göstermektedir.

(2.68) denkleminde verilen titreşim gücü ifadesinin, özel bir durumu olan harmonik titreşim analizi için, belirli bir frekansta alacağı formül göz önüne alınmaktadır. Altı çizili olarak belirtilen ifadeler zamana ortalaması alınmış karmaşık sayı değerleridir. Bu değerlerin zamana göre türevleri harmonik kabul göz önüne alınarak yapılmaktadır. (2.68) denkleminde kullanılan, zamana bağlı olarak değişen gerilim ve hız ifadelerinin zaman ortalaması alındığında, (2.69) denklemi elde edilmektedir. Altı çizili ifadeler zaman ortalaması alınmış karmaşık sayıları ve üstü çizili ifadeler de zaman ortalaması alınmış reel değerleri göstermektedir.

$$\underline{r}_i = -\frac{1}{2} \underline{\sigma}_{ij}^* \dot{u}_j = {}^P r_i + i {}^Q r_i \quad (2.69)$$

$*$, üst indis ile tensörün karmaşık eşleniği,

\underline{r}_i , i doğrultusunda bir noktada, birim alandan geçen güç [W/m^2],

${}^P r_i$, i doğrultusunda bir noktada, birim alandan geçen aktif titreşim gücü [W/m^2],

${}^Q r_i$, i doğrultusunda bir noktada, birim alandan geçen reaktif titreşim [W/m^2], gösterilmektedir.

(2.67) denkleminde tanımlanan, dış kuvvetler tarafından yapıya girilen güç ifadesinde belirtilen kuvvet ve hız tensörlerinin karmaşık değerler içeren birer tensör olduğu göz önüne alınarak zaman ortalaması alındığında, yapıya dış kuvvetler tarafından uygulanan titreşim gücü ifadesi (2.70) denklemindeki şeklini almaktadır.

$$\underline{\underline{S}} = \frac{1}{2} \underline{\underline{F}}_i^* \dot{\underline{\underline{u}}}_i = P + iQ \quad (i=1, 2, 3) \quad (2.70)$$

$\underline{\underline{S}}$, dış kuvvetler tarafından belirli bir doğrultuda ve birim hacimden yapıya girilen titreşim gücü [W/m^3],

P , dış kuvvetler tarafından belirli bir doğrultuda yapıya birim hacimden girilen aktif titreşim gücü [W/m^3],

Q , dış kuvvetler tarafından belirli bir doğrultuda yapıya birim hacimden girilen reaktif titreşim gücü [W/m^3], olarak gösterilmektedir.

(2.66) denklemde tanımlanan, yapının içinde sönümlenen güç ifadesinde belirtilen birim şekil değiştirme hızı tensörlerinin karmaşık değerler içeren birer tensör olduğu göz önüne alınarak zaman ortalaması alındığında, yapının içinde sönümlenen güç ifadesi (2.71) denklemindeki şeklini almaktadır.

$$\Pi = \frac{1}{2} \dot{\underline{\underline{\varepsilon}}}^*_{ij} C_{ijkl} \dot{\underline{\underline{\varepsilon}}}_{kl} \quad (2.71)$$

Π , birim hacimde sönümlenen gücü [W/m^3], göstermektedir.

(2.64) denklemde tanımlanan, kinetik enerji ifadesinde tanımlanan hız tensörünün karmaşık değerler içeren bir tensör olduğu göz önüne alınarak zaman

ortalaması alındığında, yapının içinde depolanan kinetik enerji (2.72) denklemindeki şeklini almaktadır.

$$T = \frac{1}{4} \rho \underline{\dot{u}}_i^* \underline{\dot{u}}_i \quad (2.72)$$

T , birim hacimde depolanan kinetik enerjiyi [Ws/m^3], göstermektedir.

(2.65) denkleminde tanımlanan, potansiyel enerji ifadesinde tanımlanan birim şekil değişimi tensörlerinin karmaşık değerler içeren birer tensör olduğu göz önüne alınarak zaman ortalaması alındığında, yapının içinde depolanan potansiyel enerji (2.73) denklemindeki şeklini almaktadır.

$$U = \frac{1}{4} \underline{\varepsilon}_{ij}^* E_{ijkl} \underline{\varepsilon}_{kl} \quad (2.73)$$

U , birim hacimde depolanan potansiyel enerjiyi [Ws/m^3], göstermektedir.

(2.62) denklemde tanımlanan süreklilik denkleminin oluşturulmasında kullanılan ifadelerin karmaşık düzlemdeki karşılıklarının yine (2.62) denkleminde yerine yerleştirilmesi sonucu (2.74) denklemi elde edilmektedir.

$$\frac{1}{2} \rho \underline{\ddot{u}}_i^* \underline{\dot{u}}_i + \frac{1}{2} \underline{\varepsilon}_{ij}^* E_{ijkl} \underline{\dot{\varepsilon}}_{kl} + \frac{1}{2} \dot{\underline{\varepsilon}}_{ij}^* C_{ijkl} \underline{\dot{\varepsilon}}_{kl} = \underline{S} - \underline{r}_{i,i} \quad (2.74)$$

(2.74) denkleminde gerekli düzenlemeler yapıldıktan sonra, süreklilik denklemi gerçek ve sanal kısımlarına ayrılarak aktif ve reaktif güç değerleri sırasıyla (2.75) ve (2.76) denklemlerinde gösterildiği gibi elde edilmektedir.

$${}^P r_{i,i} = P - \bar{\Pi} \quad (2.75)$$

$${}^Q r_{i,i} = Q - 2\omega(\bar{U} - \bar{T}) \quad (2.76)$$

$\bar{\Pi}$, birim hacimde sönümlenen gücün zaman ortalamasını [W/m^3],

\bar{U} , birim hacimde depolanan potansiyel enerjinin zaman ortalamasını [Ws/m^3],

\bar{T} , birim hacimde harcanan kinetik enerjinin zaman ortalamasını [Ws/m^3],

${}^P r_i$, i doğrultusunda birim alandan geçen aktif titreşim gücü [W/m^2],

${}^Q r_i$, i doğrultusunda birim alandan geçen reaktif titreşim gücü [W/m^2],

ω , frekansı [rad/s],,

, $_i$, i doğrultusundaki türevi göstermektedir.

${}^P r_i$, ${}^Q r_i$ birim alandan geçen aktif ve reaktif güç değerleri (2.75) ve (2.76) denkleminde görüldüğü üzere yapısal özelliklere, sınır şartlarına, tahrik kuvvetinin frekans, genlik ve faz açısına bağlı olarak değişmektedir.

(2.69) denkleminden elde edilen, bir doğrultuda birim alandan geçen ve bir noktada zaman ortalaması alınmış güç ifadesi karmaşık bir sayıyı belirtmektedir. Bu değer, yapının sahip olduğu gerilim ve hız tensörünün çarpılması sonucu elde edilmektedir. Karmaşık sayı olarak elde edilen titreşim gücünün gerçek kısmı aktif titreşim gücünü, sanal kısmı ise reaktif titreşim gücünü ifade etmektedir.

(2.75) denkleminde elde edilen, birim hacimdeki yapının aktif güç denkliği ifadesinden görüldüğü üzere; birim hacimden geçen aktif titreşim gücü, dış kuvvetler tarafından yapıya girilen aktif titreşim gücüne ve yapının sahip olduğu sönum dağılımına bağlı olarak değişmektedir. Yapıdaki sönum arttıkça, birim hacimden geçen aktif titreşim gücü azalmaktadır.

(2.76) denkleminde elde edilen, birim hacimdeki yapının reaktif güç denkliği ifadesinden görüldüğü üzere; birim hacimden geçen reaktif titreşim gücü, dış kuvvetler tarafından yapıya girilen reaktif titreşim gücü ile yapının birim hacimdeki kinetik, potansiyel enerji değişimine bağlı olarak değişmektedir. Teorik olarak, doğal frekans bölgesinde potansiyel enerji, kinetik enerjiye eşit olacağından parantez içindeki ifade sıfıra eşit olucaktır.

2.4. Sürekli Ortamda Titreşim Gücü Dağılımının Sonlu Elemanlar Yöntemi İle Modellenmesi

Bölüm.2.3'de (2.69) denkleminde elde edilen birim alandan geçen titreşim gücü ifadesi, tansör gösteriminden çıkararak matris gösterimine geçilecek ve bir yapının birim alanda sahip olduğu titreşim gücünün Sonlu Elemanlar modeli oluşturulacaktır, [8]. Yapı içerisinde, belirli bir frekansta kuvvet uygulanması durumunda, titreşim gücünün nasıl bir dağılım göstereceğinin belirlenebilmesi için, yapı içerisindeki gerilme ve hız dağılımının belirlenmesi gerekmektedir. Hız dağılımı, harmonik kabul yapılarak yerdeğiştirme dağılımından elde edilmekte ve (2.77) denkleminde gösterilmektedir.

$$\underline{v}_j = i\omega \underline{x}_j \quad (j=1,2,3) \quad (2.77)$$

ω , frekans [rad/s],

\underline{v}_j , elemanları karmaşık sayı olan hız vektörü [m/s] ,

\underline{x}_j , elemanları karmaşık sayı olan yer değiştirme vektörü [m], gösterilmektedir.

Yapı içerisindeki gerilme ve hız dağılımları, Bölüm (2.3)'de elde edilen (2.69) denkleminde yerine yerleştirilerek titreşim gücünün dağılımı (2.78) denkleminde olduğu gibi elde edilmektedir.

$$\underline{r}_i = -\frac{1}{2} \underline{\sigma}_{ij}^* v_j = {}^P r_i + i {}^Q r_i \quad (i=1,2,3, j=1,2,3) \quad (2.78)$$

$\underline{\sigma}_{ij}$, elemanları karmaşık sayı olan gerilme matrisi [N/m^2],

r_i , i doğrultusunda birim alandan geçen titreşim gücü [W/m^2],

${}^P r_i$, i doğrultusunda birim alandan geçen aktif titreşim gücü [W/m^2],

${}^Q r_i$, i doğrultusunda birim alandan geçen reaktif titreşim gücü [W/m^2],

$*$, karmaşık sayı elemanlara sahip matrisin karmaşık eşleniğini göstermektedir.

$\underline{\sigma}_{ij}^*$ gerilme matrisinin karmaşık eşleniği ve bir elemanın gerçek, sanal kısımları (2.79) ve (2.80) denklemelerinde açık şekilde gösterilmektedir

$$\underline{\sigma}_{ij}^* = \begin{bmatrix} \sigma_{11}^r - i\sigma_{11}^i & \sigma_{12}^r - i\sigma_{12}^i & \sigma_{13}^r - i\sigma_{13}^i \\ \sigma_{21}^r - i\sigma_{21}^i & \sigma_{22}^r - i\sigma_{22}^i & \sigma_{23}^r - i\sigma_{23}^i \\ \sigma_{31}^r - i\sigma_{31}^i & \sigma_{32}^r - i\sigma_{32}^i & \sigma_{33}^r - i\sigma_{33}^i \end{bmatrix} \quad (2.79)$$

$$\underline{\sigma}_{ij} = \sigma_{ij}^r + i\sigma_{ij}^i \quad (2.80)$$

σ_{ij}^r , gerilme matrisinin gerçek kısmını [N/m^2],

σ_{ij}^i , gerilme matrisinin sanal kısmını [N/m^2], göstermektedir.

v_j hız matrisi ve bir elemanın gerçek, sanal kısımları (2.81) ve (2.82) denklemelerinde açık şekilde gösterilmektedir.

$$\underline{v}_j = \begin{bmatrix} v_j^r + iv_j^i \\ v_j^r + iv_j^i \\ v_j^r + iv_j^i \end{bmatrix} \quad (2.81)$$

$$\underline{v}_j = v_j^r + iv_j^i \quad (2.82)$$

v_j^r , hız matrisinin gerçek kısmını [m/s],

v_j^i , hız matrisinin sanal kısmını [m/s], göstermektedir.

Yapıyı oluşturan elemanların isotropik olduğu kabul edilirse, (2.79) denkleminde tanımlanan gerilme matrisi, simetrik bir matris haline gelmekte ve (2.83) denkleminde gösterilmektedir.

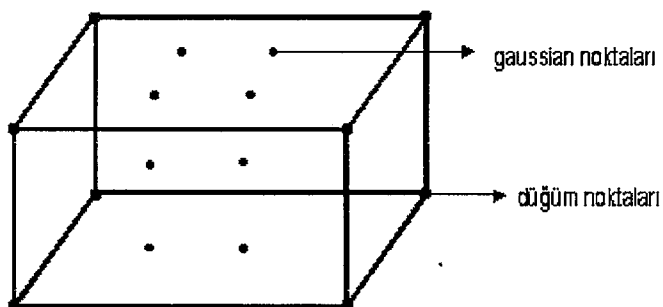
$$\underline{\sigma}_{ij}^* = \begin{bmatrix} \sigma_{11}^r - i\sigma_{11}^i & \sigma_{12}^r - i\sigma_{12}^i & \sigma_{13}^r - i\sigma_{13}^i \\ \sigma_{12}^r - i\sigma_{12}^i & \sigma_{22}^r - i\sigma_{22}^i & \sigma_{23}^r - i\sigma_{23}^i \\ \sigma_{13}^r - i\sigma_{13}^i & \sigma_{23}^r - i\sigma_{23}^i & \sigma_{33}^r - i\sigma_{33}^i \end{bmatrix} \quad (2.83)$$

(2.83) ve (2.81) denklemleri, (2.78) denkleminde yerine yazılıarak, yapının üzerinde birim alandan geçen aktif, reaktif titreşim gücünü elde edilmekte ve (2.84), (2.85) denklemlerinde açıkça gösterilmektedir.

$$\begin{aligned} {}^P r_1 &= -\frac{1}{2}(\sigma_{11}^r v_1^r + \sigma_{11}^i v_1^i + \sigma_{12}^r v_2^r + \sigma_{12}^i v_2^i + \sigma_{13}^r v_3^r + \sigma_{13}^i v_3^i) \\ {}^P r_2 &= -\frac{1}{2}(\sigma_{12}^r v_1^r + \sigma_{12}^i v_1^i + \sigma_{22}^r v_2^r + \sigma_{22}^i v_2^i + \sigma_{23}^r v_3^r + \sigma_{23}^i v_3^i) \\ {}^P r_3 &= -\frac{1}{2}(\sigma_{13}^r v_1^r + \sigma_{13}^i v_1^i + \sigma_{23}^r v_2^r + \sigma_{23}^i v_2^i + \sigma_{33}^r v_3^r + \sigma_{33}^i v_3^i) \end{aligned} \quad (2.84)$$

$$\begin{aligned}
 {}^Q r_1 &= -\frac{1}{2}(\sigma_{11}^r v_1^i - \sigma_{11}^i v_1^r + \sigma_{12}^r v_2^i - \sigma_{12}^i v_2^r + \sigma_{13}^r v_3^i - \sigma_{13}^i v_3^r) \\
 {}^Q r_2 &= -\frac{1}{2}(\sigma_{12}^r v_1^i - \sigma_{12}^i v_1^r + \sigma_{22}^r v_2^i - \sigma_{22}^i v_2^r + \sigma_{23}^r v_3^i - \sigma_{23}^i v_3^r) \quad (2.85) \\
 {}^Q r_3 &= -\frac{1}{2}(\sigma_{13}^r v_1^i - \sigma_{13}^i v_1^r + \sigma_{23}^r v_2^i - \sigma_{23}^i v_2^r + \sigma_{33}^r v_3^i - \sigma_{33}^i v_3^r)
 \end{aligned}$$

(2.84) ve (2.85) denklemlerinde tanımlanan formülasyonun Sonlu Elemanlar Yöntemini temel alan bir yazılıma uygulanması durumunda, yazılımdan yer değiştirme ve gerilme değerleri elde edilebilmektedir. Yer değiştirme değerleri yapıyı oluşturan elemanların düğüm noktalarında, gerilme değerleri ise Gaussian noktalarında elde edilmektedir. Hız değerlerinin elde edilebilmesi için, harmonik kabül (2.77) göz önüne alınarak yer değiştirme değerleri kullanılmaktadır. Hız ve gerilme değerlerinin, yapıyı oluşturan elemanın aynı noktasına getirilerek çarpılması gerektiğinden, düğüm noktalarında elde edilebilen hız değerlerinin interpolasyonla Gaussian noktalarına getirilmesi gerekmektedir. Gerilme değerlerinin Gaussian noktalarından düğüm noktalarına interpolasyonu yerine, sonucun hassaslığı bakımından, hız değerlerinin düğüm noktalarından Gaussian noktalarına interpolasyonu daha doğru olmaktadır.



Şekil 2.3. Sekiz düğüm noktalı bir elemanın Gaussian ve düğüm noktaları.

Ölçüm düzeneğinin geometrisi bakımından daha iyi bir sonuç elde edilebilmesi ve ayrıca üç doğrultuda serbestlik derecesine ve bu doğrultularda

gerilim değerlerine sahip olduğu için, sekiz düğüm noktalı sürekli ortam (continuum) elemanı kullanılarak, ölçüm düzeneğinin sonlu elemanlar modeli kurulmuştur. Sekiz düğüm noktalı bir eleman üzerinde, Gaussian ve düğüm noktaları Şekil 2.3'de gösterilmektedir. Gaussian noktalarında elde edilen hız ve gerilme değerleri (2.84) ve (2.85) denklemleri kullanılarak, birim alandan geçen aktif ve reaktif titreşim gücünün yapı içerisindeki dağılımı MARC paket programı kullanılarak tespit edilmektedir.

2.5. Titreşim Gücü Dağılımının Modal Analiz Yöntemi İle Modellenmesi

Sonlu Elemanlar Yönteminde yapının modellenmesi için, çok sayıda eleman kullanılmakta ve sayısal işlemler sonucunda yapının özellikleri belirlenmektedir. Modal Analiz yaklaşımında ise, yapı üzerinde tanımlanmış belirli sayıda noktadan deneysel çalışmalar yapılarak, yapının özellikleri belirlenmekte ve titreşim gücünü modeli kurulabilmektedir. Ayrıca modal yaklaşım göz önüne alınarak, titreşim gücünün elde edilmesinde kullanılan dinamik elastisite matrisinin (Bölüm.2.2'de tanımlanan) tersi alınması işlemi daha kolay bir şekilde ve yapı üzerinde tanımlanan belirli noktalarda yapının sahip olduğu titreşim gücünden frekansa göre nasıl değiştiği tespit edilmektedir. Modal Analiz yaklaşımında dinamik elastisite matrisinin tersinin daha kolay alınmasının nedeni diklik ilkesi'nin (ortogonalite prensibi) kullanılmasıdır. Diklik ilkesi, hareket denklemini oluşturan $[M]$, $[K]$, $[C]$ sırasıyla kütle, sertlik ve sönüüm matrisleri diagonal bir forma getirilmektedir, [9]. Böylece, Bölüm.2.2'de tanımlanan $[e]$ dinamik elastisite matrisini oluşturan matrislerin diagonal olmasından dolayı, $[e]$ matrisinin tersini alma işlemi daha kolay yapılabilmektedir. Böylece yapının belirli bir doğrultuda sahip olduğu modal modeli elde edilebilmektedir.

$$[U]^T [M] [U] = \text{diag}[m_i] \quad (2.86)$$

$$[U]^T [K] [U] = \text{diag}[k_i] \quad (2.87)$$

$$[U]^T [C] [U] = \text{diag}[c_i] \quad (2.88)$$

m_i , i. moddaki modal kütleyi, [kg]

k_i , i. moddaki modal sertliği, [N/m]

c_i , i. moddaki modal sönüümü, [Ns/m]

$[U]$, öz vektörleri içeren sökümlü modal matrisi ifade etmektedir.

(2.86), (2.87) ve (2.88) denklemlerinde belirtilen, diagonal formdaki kütle m_i , sertlik k_i , sönüüm c_i ve yapının sahip olduğu sönüümü de göz önüne alınarak elde edilen modal $[U]$ matris deneysel Modal Analiz çalışması sonucu elde edilmektedir. Söz konusu bu matrisler Bölüm (2.2)'de tanımlanan (2.31) hareket denkleminde yerine yazılıncaya, (2.89) denklemi elde edilmektedir.

$$[\alpha(\omega)] = [U] \left[\frac{1}{k_i - m_i \omega^2 + i\omega c_i} \right] [U]^T \quad (2.89)$$

ω , frekansı [rad/s], göstermektedir.

(2.89) denkleminde tanımlanan $[\alpha(\omega)]$ matrisi, yapının bir doğrultuda sahip olduğu modal modeli ifade etmektedir. (2.89) denkleminde belirtilen modal model, yapısal özelliklere ve frekansa bağlı olarak değişmektedir. Modal model, karmaşık sayı olan elemanlardan oluşmuştur. Bu matrisin öz değerleri ise (2.90) denkleminde ifade edilmektedir.

$$\alpha(\omega) = \frac{1}{k_i - m_i \omega^2 + i\omega c_i} \quad (2.90)$$

(2.90) denklemindeki kompleks ifade, gerçek ve sanal olmak üzere iki kısma ayrılabilmekte ve (2.91) denkleminde gösterilmektedir.

$$\alpha(\omega) = \alpha(\omega)_{re} + i\alpha(\omega)_{im} \quad (2.91)$$

(2.90) denklemindeki ifade, genlik ve faz olarak göz önüne alınmakta ve sırasıyla (2.92) ve (2.93) denklemlerinde gösterilmektedir.

$$|\alpha(\omega)| = \sqrt{\alpha(\omega)_{re}^2 + \alpha(\omega)_{im}^2} \quad (2.92)$$

$$\langle \alpha(\omega) \rangle = a \tan\left(\frac{\alpha(\omega)_{im}}{\alpha(\omega)_{re}}\right) \quad (2.93)$$

Bölüm.2.2'de tanımlanan $[e]$ dinamik elastisite matrisinin (2.45) ve (2.47) denklemindeki yerine (2.89) denklemindeki değeri yazılarak, $[e]$ matrisinin tersi alınmadan, $[L_P]$, $[L_Q]$ matrisleri (2.94) ve (2.95) denklemlerinde olduğu gibi elde edilmektedir. Bu matrisler,

$$[L_P] = [U] [\lambda_i^P] [U]^T \quad (2.94)$$

$$[L_Q] = [U] [\lambda_i^Q] [U]^T \quad (2.95)$$

λ_i^P , i. maddaki $[L_P]$ matrisinin özdeğeri,

λ_i^Q , i. maddaki $[L_Q]$ matrisinin özdeğerini göstermektedir.

λ_i^P, λ_i^Q , değerleri (2.96) ve (2.97) denklemlerinde açıkça ifade edilmektedir.

$$\lambda_i^P = \frac{c_i}{(k_i - \omega^2 m_i)^2 + \omega^2 c_i^2} \quad (2.96)$$

$$\lambda_i^Q = \frac{k_i - \omega^2 m_i}{(k_i - \omega^2 m_i)^2 + \omega^2 c_i^2} \quad (2.97)$$

(2.94) ve (2.95) denklemlerinde elde edilen $[L_P], [L_Q]$ matrisleri (2.44) ve (2.46) denklemlerinde yerine yazılıarak aktif titreşim gücü P_A , reaktif titreşim gücü Q_A elde edilmektedir. Böylece ilgilenilen frekans aralığında deneysel çalışmalar sonucu elde edilen veriler kullanılarak, bir noktadan yapıya kuvvet uygulanması durumunda girilecek aktif ve reaktif titreşim gücünü hesaplanabilmektedir.

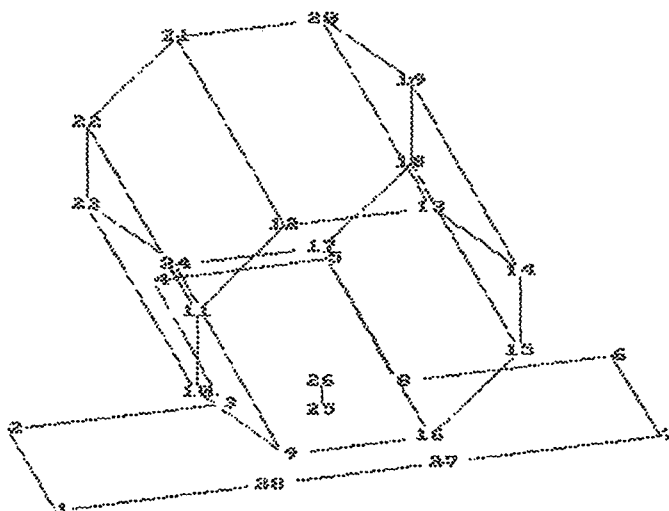
λ_i^P mobilite matris'inin i.maddaki özdeğerinini gerçek kısmını ifade etmekte ve (2.94) denkleminden görüldüğü üzere $[L_P]$ matrisiyle doğru orantılıdır, dolayısıyla aktif titreşim gücü ile doğru orantılıdır. λ_i^Q mobilite matris'inin i. maddaki özdeğerin sanal kısmını ifade etmekte ve (2.95) denkleminden görüldüğü üzere $[L_Q]$ matrisiyle doğru orantılıdır, dolayısıyla reaktif titreşim gücünü ile doğru orantılıdır.

BÖLÜM 3. ÖLÇÜM DÜZENEĞİNİN DİNAMİK DAVRANIŞININ BELİRLENMESİ:

Bölüm.2'de anlatılan formülasyonlar kullanarak ölçüm düzeneğinin, farklı amaçlarla üç farklı modeli Bölüm.5'de oluşturulmuştur. Bu bölümde ise, modellerin oluşturulmasında kullanılan parametreler deneysel olarak elde edilmiştir. Ayrıca, deneysel parametreler elde edilmeden önce, yapının çalışma şartlarında nasıl bir davranış gösterdiğinin belirlenebilmesi için, yapının üzerinde İşletme Koşullarında Titreşimlerin Canlandırılması çalışması yapılacaktır.

Ölçüm düzeneğinde motorun yerleştirilmesi için bulunan T-şeklindeki levhanın titreşim biçimleri, doğal frekansları ve tüm ölçüm düzeneğinin modal yapısal özelliklerini Modal Analiz çalışmasıyla elde edilecektir. Böylece, T-şeklindeki levhaya diğer ölçüm düzeneği elemanlarının eklenmesi ile, titreşim biçimlerinin nasıl değiştiği tesbit edilmiştir. Ayrıca, tüm ölçüm düzeneğinin elde edilen modal özelliklerini (modal matris, modal sönüm, modal sertlik ve modal kütle), Bölüm.5'de oluşturulacak ölçüm düzeneğinin modal modelinin kurulmasında da kullanılmıştır. Modal Analiz çalışması sonucu elde edilen T-şeklindeki levhanın titreşim biçimleri ile karşılaştırılmak üzere, Sonlu Elemanlar Yöntemini temel alan bir yazılım kullanılarak T-şeklindeki levhanın titreşim biçimleri belirlenmiştir. Ayrıca, T-şeklindeki levhanın Sonlu Elemanlar ortamında elde edilen geometrisi, Bölüm.5'de ölçüm düzeneğinin Sonlu Elemanlar modelinin kurulmasında da kullanılacaktır. Ölçüm düzeneğinin Sonlu Elemanlar modelinin kurulmasında, T-şeklindeki levhanın içinde sökümlenecek titreşim gücünü göz önüne almak için, levhanın kayıp faktörünün belirlenmesi gerekmektedir. Bu nedenle, deneysel iki çalışma yapılacak

işleyebilecek bir yazılım) girilmektedir [11]. Yazılım içinde, elde edilen verilerin hangi frekans aralığında gösterimi yapılacağı belirtilmelidir.

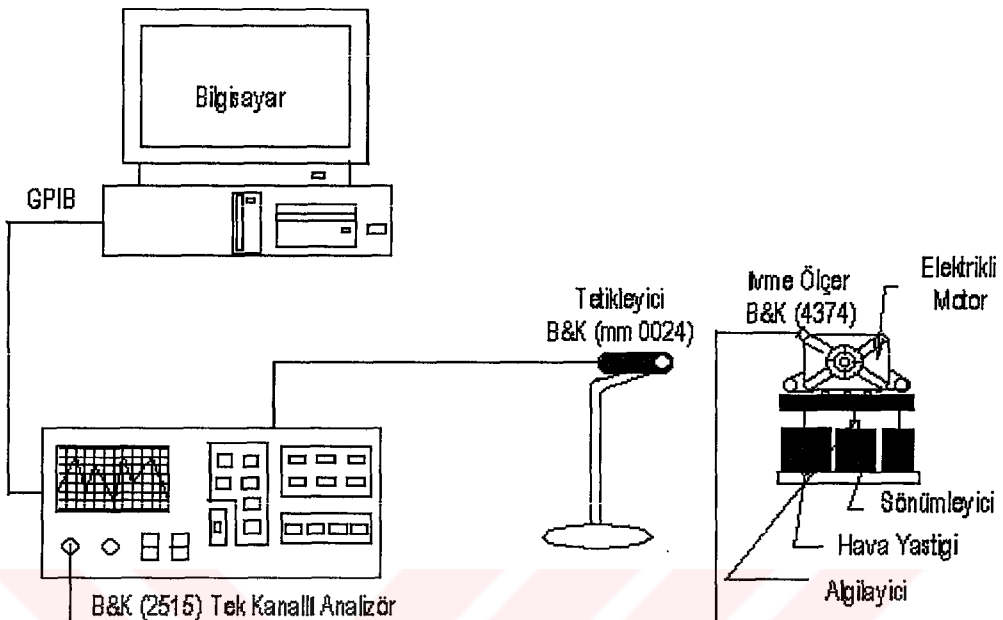


Şekil.3.1. Ölçüm Düzeneğinin Yazılım Ortamındaki Geometrisi.

Yukarıda kısaca bahsedilen ölçüm tekniği kullanılarak, ölçüm düzeneğinin üzerine elektrik motoru yerleştirilip, çalışması durumunda yapının sahip olacağı davranışın belirlenmesi mümkün olucaktır. Öncelikle, verilerin anlamlı hale getirilmesi için kullanılacak olan yazılım içinde, motor ve ölçüm düzeneğinin geometrisi 28 noktada tanımlanmış Şekil.3.1'de gösterilmiştir. Ölçüm yapılrken, tek kanallı bir analizör kullanılmıştır. Bu nedenle, referans ivmeölçer yerine, tetiklemeyi sağlamak amacıyla, fotoselli bir tetikleyici yerleştirilmiştir. Ölçüm sırasında kullanılan ölçüm düzeneği Şekil.3.2'de gösterilmektedir.

Bu çalışma sonucunda, kalite kontrol sisteminde kullanılan ölçüm düzeneğine elektrik motoru yerleştirilip çalıştırılması durumunda, yapının nasıl bir davranış gösterdiği görüntülenmiştir. Ölçüm düzeneği üzerinde motorun çalışması durumunda, ölçüm düzeneğinin ölçüm yapılan tek doğrultu dışındaki diğer iki doğrultuda da oldukça kayda değer hareketler de bulunduğu gözükmuştur. Elektrik

motorundan gelen titreşim gücü, ölçüm yapılan doğrultunun dışında da harcandığı görülmüştür.

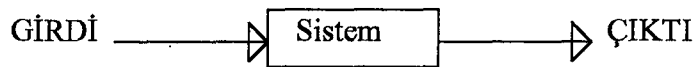


Şekil.3.2. İşletme Koşullarında Titreşimlerin Canlandırılması Çalışmasında
Kullanılan Ölçüm Düzeneği.

3.2. Ölçüm Düzeneğinin Mod Şekillerinin Deneysel Modal Analiz ile Belirlenmesi:

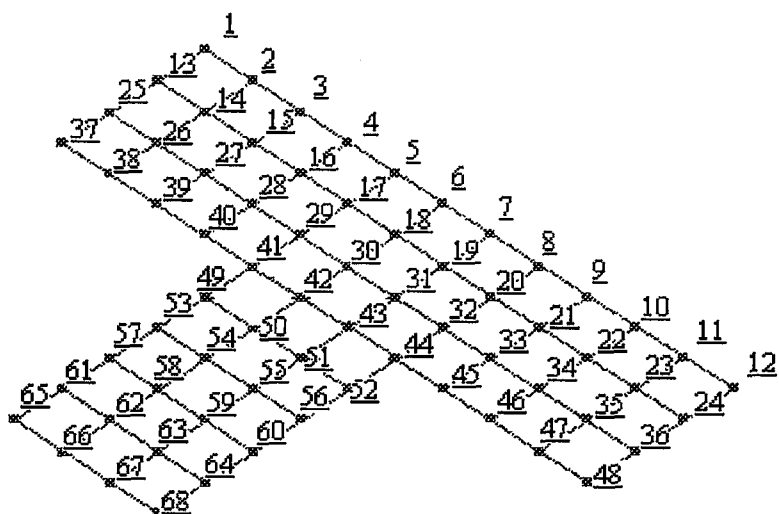
Ölçüm düzeneğindeki T şeklindeki levhanın dinamik davranışını belirlemek için, ilgilenilen frekans aralığında sahip olduğu titreşim biçimlerinin Modal Analiz çalışması yapılarak elde edilmesi amaçlanmaktadır. Ayrıca, tüm ölçüm düzeneği üzerinde Modal Analiz çalışması yapılarak, T şeklindeki levhaya ölçüm düzeneğinin diğer elemanlarının eklenmesi ile elde edilen etkinin gözlenmesi ve ölçüm düzeneğinin modal modelinin kurulmasında kullanılacak deneysel parametrelerin elde edilmesi hedeflenmektedir [9]. Yapının lineer olup olmadığını anlamak için, ölçüm algılayıcılarının kalibrasyonun ardından basit bir test uygulanmıştır. Belirli bir frekansta sinüs sinyal yapıya uygulanmakta, aynı sinyal gelişti iki katına çıkarılarak tekrar uygulanmakta ve yapıya giren sinyal ile yapıdan alınan sinyalin

oranı olan FRF (Frekans Cevap Fonksiyonu) spektrumunda, sinyalin uygulandığı frekansta bir değişiklik görülmemektedir. Test'in uygulandığı yapı T şeklindeki levha olduğundan, bu levhanın liner bir davranışa sahip olduğu kabül edilmiştir.



Şekil.3.3. Sistemin Linerliği.

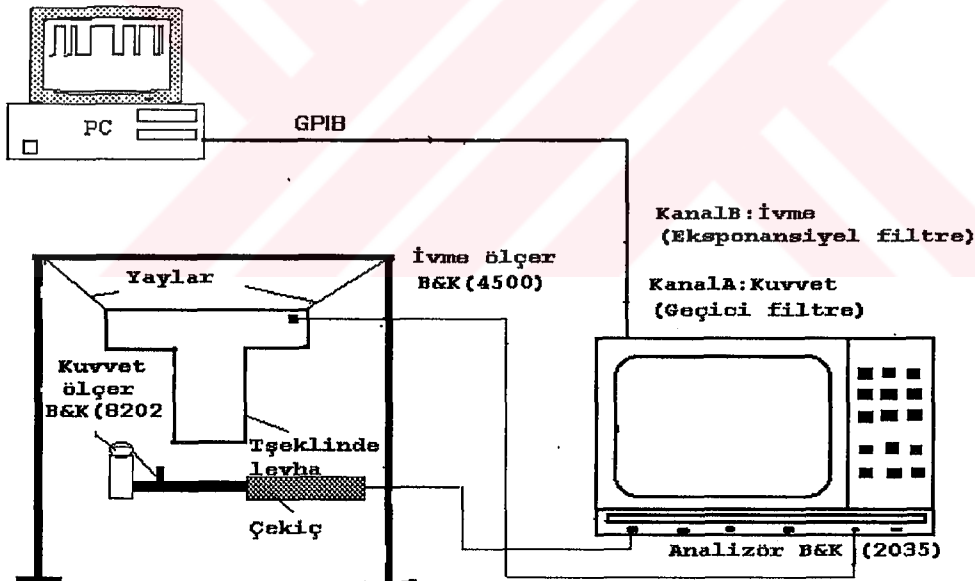
T şeklindeki levha üzerinde uygulanabilecek en iyi tahrif biçimini belirlemek için, bazı ön ölçümler yapılmıştır. İlk olarak, serbest-serbest (free-free) sınır şartlarında T şeklindeki levha B&K (4809) sarsıcı ile tahrif edilmiştir. Bu durumda elde edilen FRF ölçümünün sarsıcı (shaker) tarafından etkilendiği fark edilmiştir. Bu nedenle, tahrif şekli değiştirilerek, B&K (8202) çekiç (impact hammer) ile tahrif edilmiştir. Bu durumda elde edilen FRF spektrumunun kabul edilebilecek kadar iyi olmasından dolayı, çekiç ile yapıya geçici (transient) sinyal verilerek yapı tahrif edilmiştir.



Şekil.3.4. T Şeklindeki Levhanın Ayrık Olarak Yazılım Ortamında Oluşturulmuş Modeli.

Modal Analiz çalışmasında, ölçüm sonucu elde edilen verilerin, uygun bir modal analiz yazılım ortamında işlenmesi gerekmektedir [12]. Bunun için, T şeklindeki levha üzerinde tanımlanmış 68 nokta ile yapının geometrisi, CADA-PC modal analiz yazılım ortamında hazırlanmış ve ölçüm düzeneği Şekil.3.4'de gösterilmiştir.

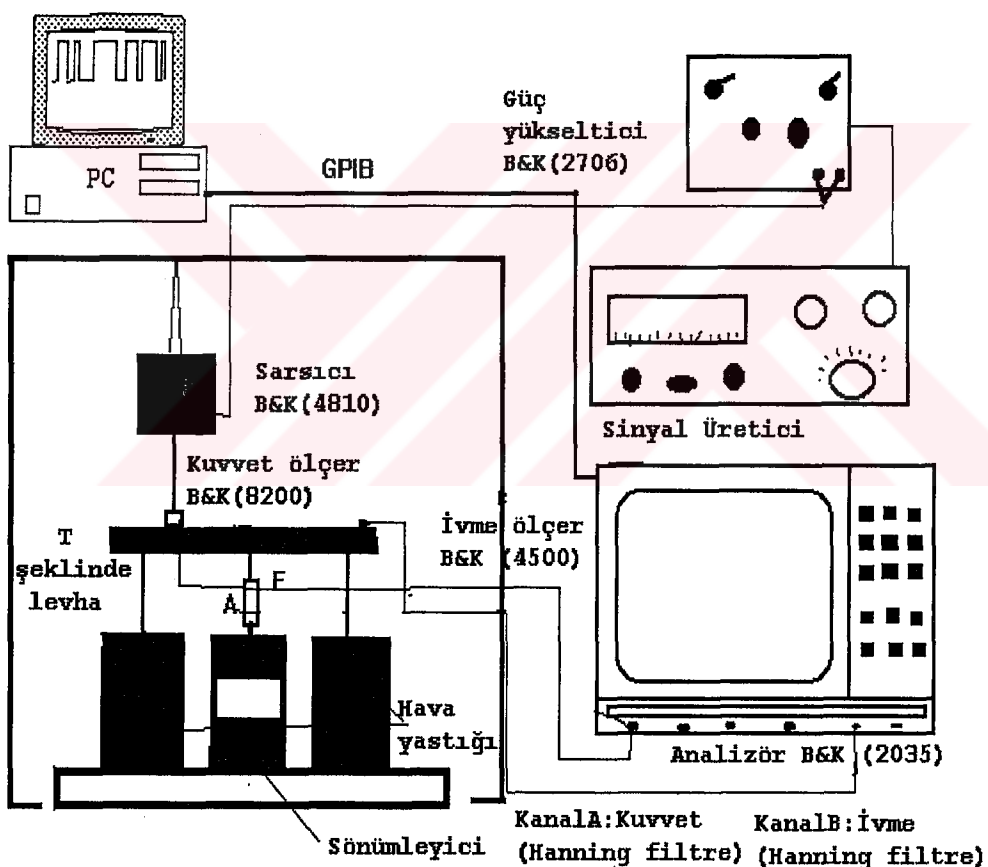
Şekil.3.5.'de gösterilen ölçüm düzeneği kullanılarak, yapı bir noktadan 0-10kHz frekans aralığında tıharik edilerek ve bu tıharik karşısında yapının verdiği cevap 68 noktadan alınarak, modal analiz yazılım ortamına girilmiştir. Ölçüm düzeneğinde, titreşim gücü akışı ölçümünün tek doğrultuda yapılmasından dolayı, Modal Analiz çalışmasında da ölçümler tek doğrultudan alınmıştır.



Şekil.3.5. T-şeklindeki Levhanın Modal Analiz'inde Kullanılan Ölçüm Düzeneği.

Modal analiz yazılım ortamında, eğri uydurma işlemi, Karmaşık Üstsel En Küçük Kareler ("Complex Exponential Least Squares") yöntemi uygulanarak yapılmaktadır. Bu işlem sonucunda elde edilen parametreler, modal model'i oluşturan, yapının doğal frekansları, titreşim modları ve ilgili sönümleridir.

Şekil.3.6'daki ölçüm düzeneği kullanılarak, titreşim gücü ölçüm düzeneğinin tamamının üzerinde Modal Analiz çalışması tekrarlanmıştır. Bu ölçüm düzeneğinde, yapıyı tahrik etmek için, B&K (4810) sarsıcı kullanılmıştır. Çekiç yerine sarsıcı kullanılmasının nedeni, sarsıcı ile yapının daha geniş bir frekans aralığında tahrik edilebiliyor olmasıdır. Yapıya ilgili olduğumuz frekans aralığı olan, 0-10kHz arasında raslantısal ('random') sinyal uygulanmıştır. Modal Analiz çalışması, tüm ölçüm düzeneği üzerinde farklı iki tahrik noktası (37 ve 65 noktaları) kullanılarak yapılmış ve farklı iki ölçüm grubu elde edilmiştir.



Şekil.3.6. Titreşim Gücü Ölçüm Düzeneğinin Modal Analiz'inde Kullanılan Ölçüm Düzeneği.

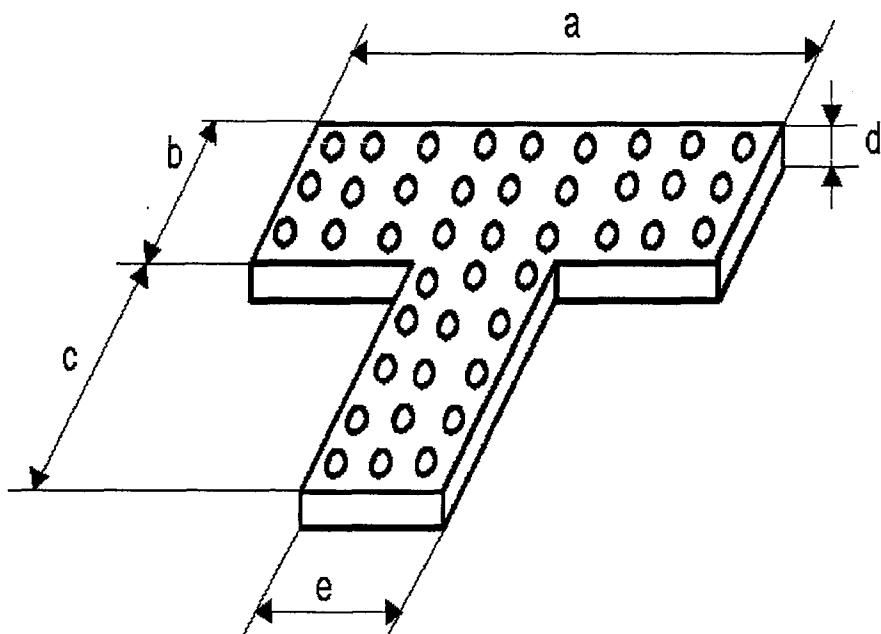
Bu iki modal analiz çalışması sonucunda, elde edilen 0-10 kHz frekans aralığındaki T şeklindeki levhanın, tüm ölçüm düzeneğinin doğal frekansları ve tüm ölçüm düzeneğinin tespit edilen titreşim modlarda sahip olduğu modal sertlik, modal kütle ve modal sönüüm değerleri Tablo 3.1'de verilmektedir [13].

Tablo 3.1. T Şeklindeki Levhanın ve Tüm Ölçüm Düzeneğinin Doğal Frekansları ve Modal Yapısal Özellikleri.

Mod	Levha(Hz)	Ölçüm düzeneği(Hz)	Kütle(kg)	Sertlik(N/m)	Sönüüm(Ns/m)
1	1252	1263	7.40E-02	3.70E+06	43.94
2	1507	1470	4.22E-02	2.65E+06	17.05
3	1687	2026	4.08E-02	3.02E+06	7.51
4	2352	2756	6.46E-02	1.05E+07	13.88
5	3438	3086	1.85E-01	3.91E+07	40.85
6	3514	5696	2.28E-01	5.33E+07	67.71
7	5993	5929	3.75E-02	1.13E+07	11.38
8	6038	6133	2.14E-02	8.05E+06	4.88
9	6598	7471	1.07E-01	1.37E+08	70.99
10	8252	8963	8.25E-02	1.14E+08	48.87

3.3. Ölçüm Düzeneğinde Kullanılan Levhanın Mod Şekillerinin Sonlu Elemanlar Analizi İle Belirlenmesi:

Bu çalışmada, Modal Analiz çalışması sonucu elde edilen T şeklindeki levhanın mod şekillerinin, Sonlu Elemanlar Yöntemini temel alan bir yazılım ile de elde edilmesi ve oluşturulan geometrinin kurulacak Sonlu Elemanlar modelinde kullanılması amaçlanmaktadır [14]. Ölçüm düzeneğinde elektrik motorunun konumlandırılabilmesi için tasarlanan, T şeklindeki levha göz önüne alınmakta ve Şekil.3.7'de gösterilmiştir.



Şekil.3.7. Ölçüm Düzeneğinde Kullanılan Levhanın Şematik Gösterimi.

Levhanın geometrik özellikleri;

$$a = 220\text{mm}, b = 65\text{mm}, c = 100\text{mm}, d = 15\text{mm}, e = 65\text{mm}.$$

Levhanın malzeme özellikleri;

$$E = 70 \cdot 10^9 \text{ Pa},$$

$$\rho = 2711 \text{kg/m}^3,$$

$$\nu = 0.334.$$

Aliminyum malzemeden yapılmış olan T şeklindeki levhanın yukarıda verilen özellikleri, Sonlu Elemanlar Yöntemini temel alan analiz programına girilerek, ilgilenilen frekans aralığı olan 0 - 10kHz arasında, serbest-serbest sınır şartlarında sahip olduğu doğal frekanslar, mod şekilleri tespit edilmiştir. Yapının doğal frekansları Tablo 3.2'de ve ilk dört titreşim biçimi sırasıyla Şekil A1, A2, A3, A4'de Ek.A'da gösterilmektedir [13]. T şeklindeki levhanın oluşturulmasında, yapının sahip olduğu geometriinden dolayı ve daha sonra kurulacak yayılı parametreli modelde geometrinin kullanılabilmesi için, üç doğrusal serbestlik derecesine ve üç

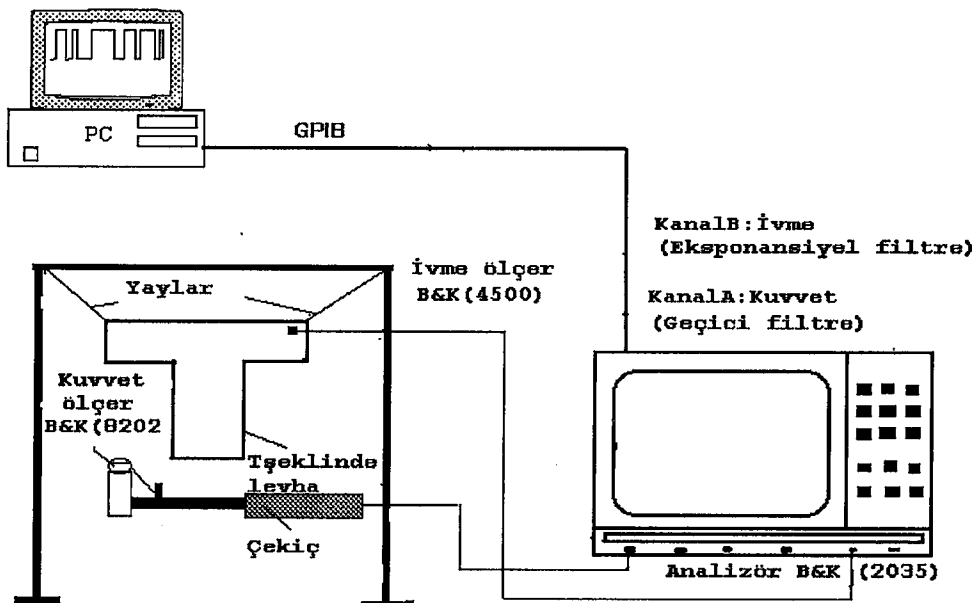
doğrultuda gerilime sahip olan, sekiz düğüm noktalı ('continuum') eleman kullanılmıştır.

Tablo 3.2. T Şeklindeki Levhanın Sonlu Elemanlar Yöntemi ile Elde Edilen Doğal Frekansları.

Mod	Levha (Hz)
1	1277
2	1616
3	1721
4	2469
5	3579
6	3592
7	6038
8	6263
9	6669
10	9436

3.4. Ölçüm Düzeneğindeki Levhanın Kayıp Faktörünün Belirlenmesi:

Ölçüm düzeneğinin, Sonlu Elemanlar Yöntemini kullanarak titreşim gücünün yapıdaki akışının belirlenmesi için oluşturulacak modelde, ölçüm düzeneğinin elemanlarından biri olan T şeklindeki levhanın yapısal özelliklerinin kullanılması gerekmektedir. Ölçüm düzeneğinde kullanılan levhanın kayıp faktörünü belirleyebilmek için, levha tek serbestlik dereceli bir sistem olarak ele alınmakta ve birinci doğal frekansı civarında sahip olduğu kayıp faktörünün tüm frekans bantlarında geçerli olduğu kabul edilerek, yaklaşık bir değer tespit edilmektedir [15]. Levha'nın kayıp faktörünün deneysel olarak tespit edilmesinde iki farklı yaklaşım göz önüne alınmakta ve ölçüm düzeneği Şekil 3.8.'de gösterilmektedir.



Şekil 3.8. T-Şeklindeki Levhanın Kayıp Faktörünün Bulunmasında Kullanılan Ölçüm Düzeneği.

3.4.1. Rezonans Frekansını Göz Önüne Alan Yöntem:

Tek serbestlik dereceli bir sistem göz önüne alınmakta ve zaman ekseninde hareket denklemi (3.1)'de gösterilmektedir.

$$m\ddot{x}(t) + c\dot{x}(t) + kx(t) = f(t) \quad (3.1)$$

m, kütle [kg],

k, sertlik katsayısı [N/m],

c, sönüüm katsayısı [Ns/m],

x, yerdeğiştirme [m],

\dot{x} , hız [m/s],

\ddot{x} , ivme [m/s^2],

f, kuvvet [N], göstermektedir.

Frekans eksene geçilip, harmonik kabul yapıldığında (3.1) denklemindeki hareket denklemi, (3.2) denklemindeki şeklini almaktadır.

$$H(\omega) = \frac{X(\omega)}{F(\omega)} = \frac{1}{(k - m\omega^2) + j\omega} \quad (3.2)$$

$H(\omega)$, frekans cevap fonksiyonunu [m/N], belirtmektedir.

Doğal frekansta yapının tahrik edilmesi durumunda, (3.2) denkleminin paydasında parantez içindeki ifade sıfıra eşit olmakta ve $H(\omega)$ değeri yapının sahip olduğu sönüme göre oluşmaktadır. Yapının sönümsüz doğal frekansını, (3.3) denkleminde olduğu gibi tanımlamak mümkündür

$$\omega_0 = 2\pi f_0 = \sqrt{\frac{k}{m}} \quad (3.3)$$

ω_0 , sönümsüz doğal frekansı [rad/s],

f_0 , sönümsüz doğal frekansı [Hz], göstermektedir.

Yapının kayıp faktörü, (3.4) denkleminde olduğu gibi, 3 dB bant genişliğinin Δf , doğal frekansa f_0 oranı olarak tanımlanmaktadır.

$$\eta = \frac{\Delta f}{f_0} \quad (3.4)$$

η , kayıp faktörünü belirtmektedir.

(3.4) denklemindeki formülasyon göz önüne alınarak, ölçüm düzeneğinde kullanılan levhanın birinci doğal frekansında sahip olduğu kayıp faktörü, Şekil 3.8'de gösterilen ölçüm düzeneği yardımıyla elde edilmektedir. Ölçüm sırasında, ivme, kuvvet sinyalleri elde edilmekte ve (3.2) denkleminde görüldüğü üzere frekans cevap fonksiyonu hesaplanmaktadır. Ölçüm sonucu elde edilen frekans cevap fonksiyonu spektrumu Şekil 3.9'de gösterilmektedir. Spektrumdan görüldüğü üzere, yapının birinci doğal frekansı $f_0 = 1270 \text{ Hz}$ ’dır. 3 dB band genişliğinin $\Delta f = 3.25$ olduğu göz önüne alındığında, levhanın birinci doğal frekans civarında sahip olduğu kayıp faktörü $\eta = 0.0026$ olarak hesaplanmaktadır.

3.4.2. Rezonans Frekansını Göz Önüne Almayan Yöntem:

Yapıya sinüsoidal bir gerilme uygulandığında, bu etkinin sonucunda yapı θ ‘lik bir faz farkı ile sinüsoidal birim şekil değişimi gösterecektir. Söz konusu, gerilme ve birim uzama karmaşık değerlerdir ve (3.5), (3.6) denklemlerinde tanımlanmaktadır.

$$\sigma = \hat{\sigma} e^{j\omega t} \quad (3.5)$$

$$\varepsilon = \hat{\varepsilon} e^{j\omega t} \quad (3.6)$$

ε , birim şekil değiştirmenin dinamik değerleri,

$\hat{\varepsilon}$, birim şekil değiştirmenin değerinin genliği,

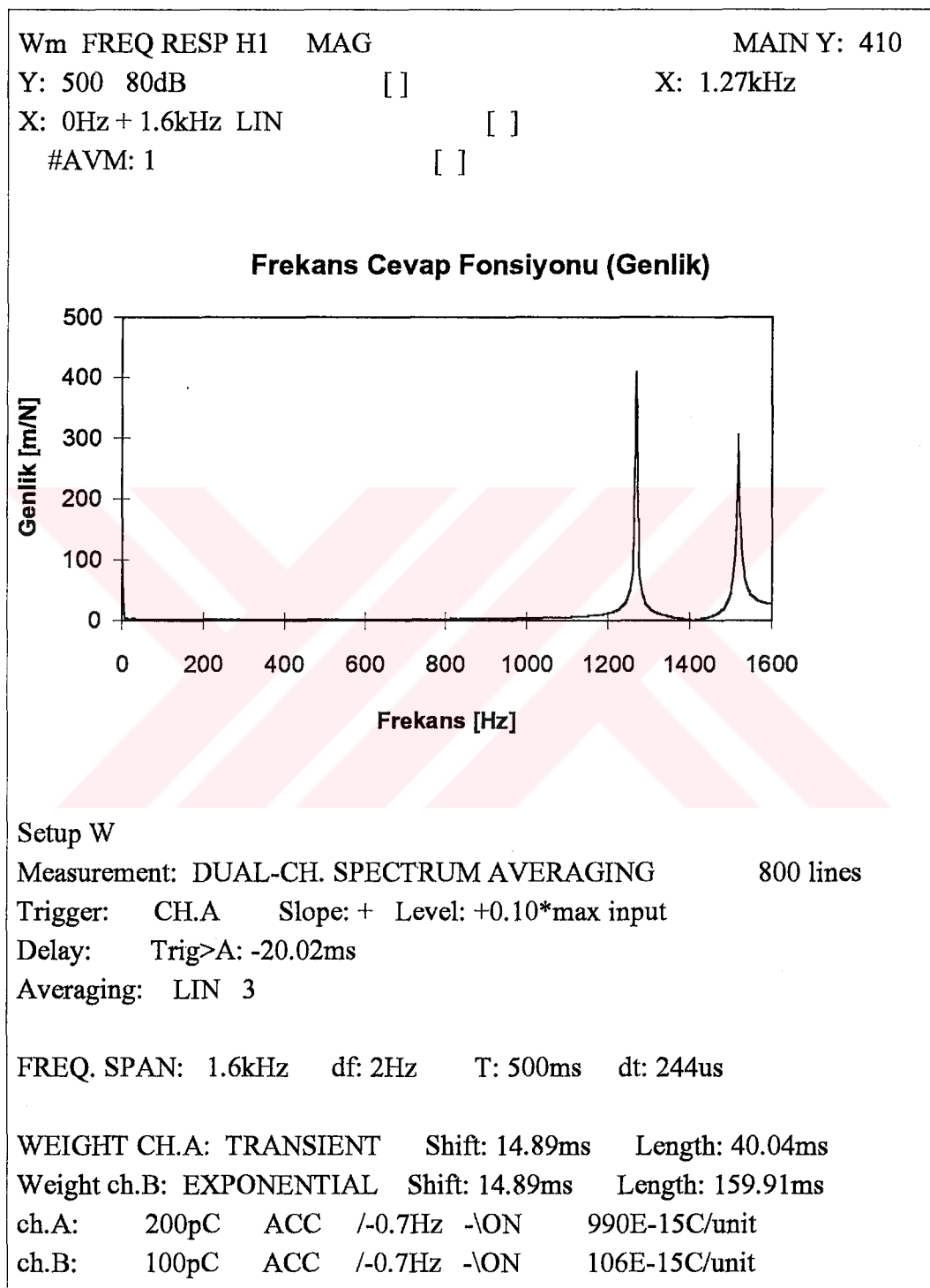
σ , gerilmenin dinamik değeri [N/m^2],

$\hat{\sigma}$, gerilme değerinin genliği [N/m^2],

ω , frekans [rad/s],

t , zaman [s],

^j, karmaşık sayı ifadelerin sanal kısmını göstermektedir.



Şekil 3.9. T- Şeklindeki Levhanın Kayıp Faktörünün Bulunmasında Kullanılan Frekans Cevap Fonksiyonunun Frekansa Göre Değişimi.

Elastisite modülünün E^* karmaşık sayı ifadesi (3.7) denkleminde verilmektedir.

$$E^* = \frac{\sigma}{\epsilon} = \frac{\hat{\sigma}}{\hat{\epsilon}} e^{j\theta} \quad (3.7)$$

E^* , elastisite modülünün karmaşık sayı değerini [N/m^2], θ , faz açısını [derece], göstermektedir.

Karmaşık bir sayı olarak ifade edilen elastisite modülünün gerçek kısmı elastisite modülü, sanal kısmı ise, kayıp modülü olarak ifade edilmekte ve (3.8), (3.9) denklemlerinde gösterilmektedir.

$$E' = \left(\frac{\hat{\sigma}}{\hat{\epsilon}} \right) \cos \theta \quad (3.8)$$

E' , elastisite modülünün gerçek kısmını [N/m^2],

$$E'' = \left(\frac{\hat{\sigma}}{\hat{\epsilon}} \right) \sin \theta \quad (3.9)$$

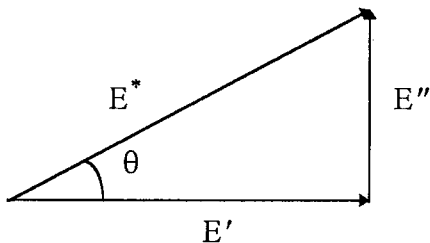
E'' , elastisite modülünün sanal kısmını [N/m^2], ifade etmektedir.

Kayıp faktörü, (3.10) denkleminde tanımlanmaktadır.

$$\eta = \frac{E''}{E'} = \tan \theta \quad (3.10)$$

η , kayıp faktörünü göstermektedir.

Elastisite modülünün gerçek, sanal kısmı arasındaki ifade ve kayıp faktörü Şekil 3.10'de şematik olarak gösterilmektedir.



Şekil 3.10. Elastisite Modülünün ve Bileşenlerinin Şematik Gösterimi.

Elastisite modülünün, gerçek ve sanal kısımlarını kuvvet, yerdeğiştirme olarak ifade etmekte mümkün olmakta ve (3.11), (3.12) denlemlerinde gösterilmektedir.

$$E' = \frac{|F|}{|d|} \frac{1}{A} \cos \theta = \operatorname{Re}\left(\frac{F}{d}\right) \frac{1}{A} \quad (3.11)$$

$$E'' = \frac{|F|}{|d|} \frac{1}{A} \sin \theta = \operatorname{Im}\left(\frac{F}{d}\right) \frac{1}{A} \quad (3.12)$$

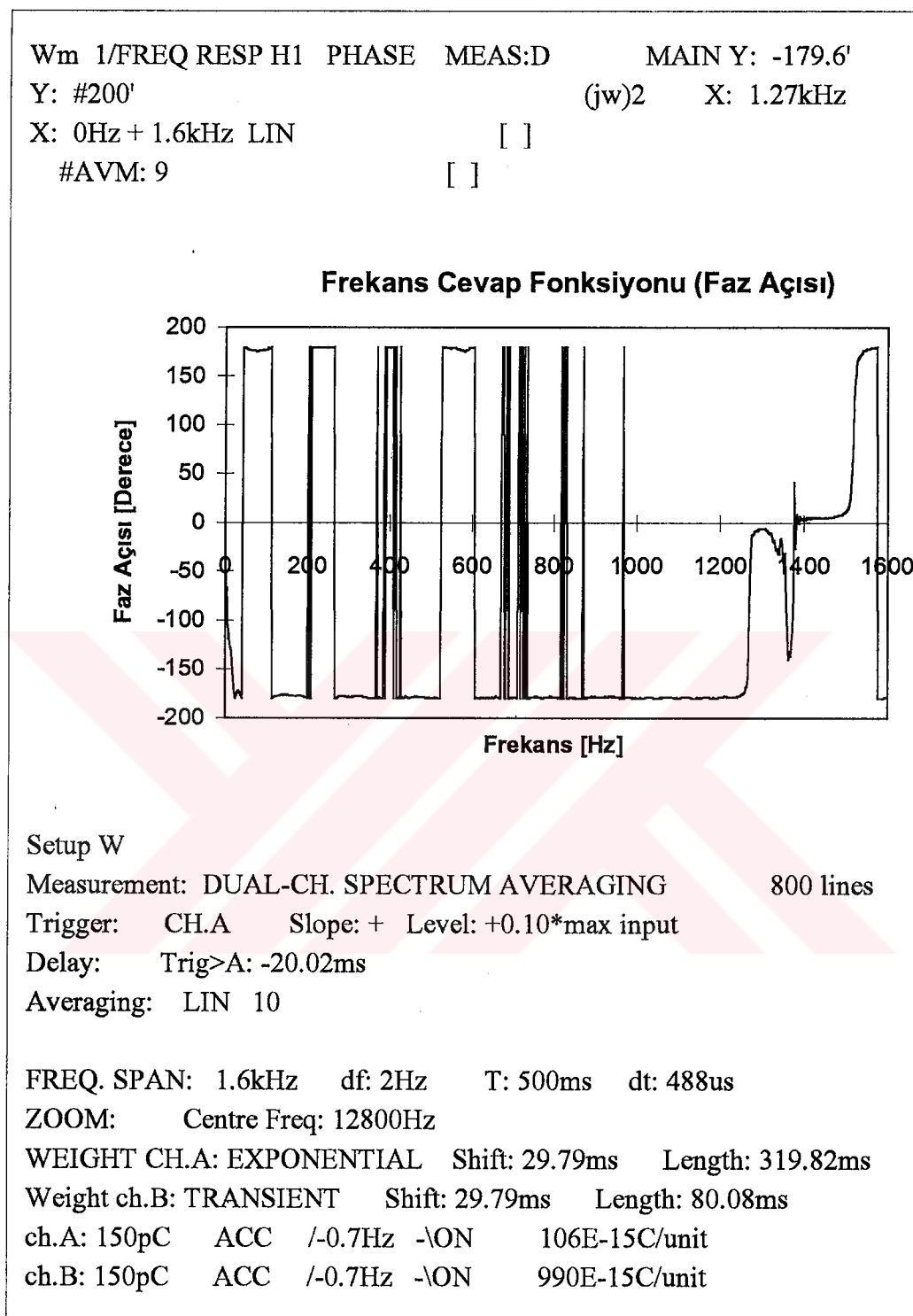
F , kuvveti [N],

d , yerdeğiştirmeyi [m],

A , yüzeyi [m^2],

l , uzunluğu [m], göstermektedir.

(3.11) ve (3.12) denlemlerinde sırasıyla, kuvvet yer değiştirme oranının gerçek ve sanal değerlerini ifade etmektedir. (3.11) ve (3.12) denlemlerinde verilen formülasyon ve Şekil 3.8'de gösterilen düzenek kullanılarak, ölçüm düzeneğinde kullanılan levhanın kayıp faktörü deneysel olarak tespit edilmektedir.



Şekil 3.11. T- Şeklindeki Levhanın Kayıp Faktörünün Bulunmasında Kullanılan Frekans Cevap Fonksiyonunun Frekansa Göre Değişimi.

Şekil 3.8'deki ölçüm düzeneğinden farklı olarak, kuvvet ve yerdeğiştirme sinyali kullanılmakta ve frekans cevap fonksiyonu spektrumu elde edilmektedir. Frekans cevap fonksiyonu spektrumu yerdeğiştirmenin kuvvet sinyaline

bölünmesiyle elde edildiğinden, formülasyon gereği kuvvet sinyalinin yerdeğiştirme sinyaline bölünmesi gerekmektedir. Böylece frekans cevap fonksiyonun çarpmaya göre tersi alınmakta, faz açısı spektrumu elde edilmekte ve Şekil 3.11'de gösterilmektedir. Birinci doğal frekans civarında levhanın elastisite modülünün gerçek kısmı ile sanal kısmı arasındaki faz açısı değeri, $\theta = -179.8$ derece olarak ölçülmektedir. Ölçülen faz açısı değeri, (3.10) denkleminde yerine koyulunca levhanın kayıp faktörü $\eta = 0.0035$ olarak hesaplanmaktadır.

3.5. Ölçüm Düzeneğini Oluşturan Elemanların Yapısal Özelliklerinin

Belirlenmesi:

Ölçüm düzeneğinin Sonlu Elemanlar Yöntemi ile titreşim gücü akış modelinin kurulmasında, hava yastığının ve sönmleyicinin yapısal özellikleri gerekmektedir. Bu bölümde, tek serbestlik dereceli sistem olarak kabul edilen hava yastığı ve sönmleyicinin yapısal özellikleri deneysel çalışmalar (mobilite ölçümleri) sonucu elde edilecektir [9]. Tek serbestlik dereceli sistemlerde, yapının karakteristik özelliklerini belirlemek için, üç farklı mobilite ölçümü olarak elde edilebilen, frekans cevap fonksiyonu FRF (Frequency Response Function) spektrumu kullanılmaktadır. Bu üç tip FRF ölçümü aşağıda belirtilmektedir.

$$\text{esneklik} = \frac{\text{yerdeğiştirme}}{\text{kuvvet}}$$

$$\text{mobilite} = \frac{\text{hız}}{\text{kuvvet}}$$

$$\text{ivmelenme} = \frac{\text{ivme}}{\text{kuvvet}}$$

Bu üç farklı tip mobilite ölçümünün tersi alınınca, sırasıyla tek serbestlik dereceli sistemin, dinamik sertliği (dynamic stiffness), dinamik sönüüm (mechanical impedance), dinamik kütle (apparent mass) değerleri elde edilmektedir. Yapısal dinamik özelliklerin formülasyonu aşağıda belirtilmektedir.

$$\text{Dinamik sertlik} = \frac{\text{kuvvet}}{\text{yerdeğiştirme}}$$

$$\text{Dinamik sönüüm} = \frac{\text{kuvvet}}{\text{hız}}$$

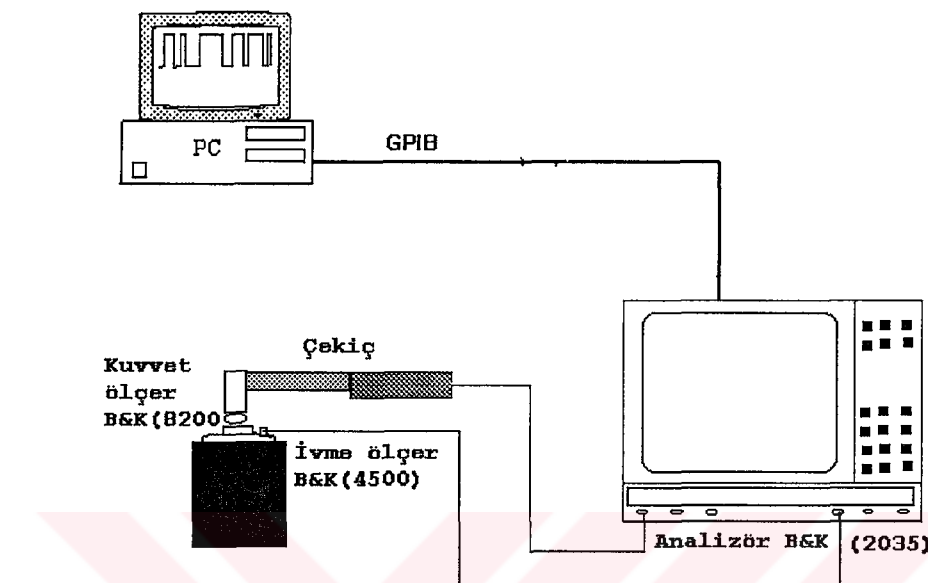
$$\text{Dinamik kütle} = \frac{\text{kuvvet}}{\text{ivme}}$$

Yapısal dinamik özellikler frekansa göre değiştiğinden, toplu bir parametre belirlemek için, yapılan mobilite ölçümlerine göre belirli bir değer kabul edilmiştir. Yapıların dinamik özelliklerinin tespitinde kullanılan bu yöntem, yapının sahip olduğu ilk doğal frekansa göre değiştiğinden çok serbestlik dereceli sistemler için geçerli değildir.

3.5.1. Hava Yastığının Yapısal Özelliklerinin Belirlenmesi:

Öncelikle, hava yastığının liner davranışını davranışmadığını tespit etmek için, T- şeklindeki levha'ya uygulanır aynı yöntem uygulanmıştır. Sonuç olarak, hava yastığı tek serbestlik dereceli ve liner kabul edilebilecek bir sistem gibi davranışını tespit edilmiştir. Bu nedenle, hava yastığının dinamik yapısal özellikleri tek doğrultuda ve serbest-serbest sınır şartlarında sahip olduğu kütle, sertlik ve sönüüm (mass, stiffness, damping) değerleri, üç farklı mobilite ölçümü ile elde edilebilmektedir [16]. Hava yastığı'nın yapısal dinamik özelliklerini belirlemek için,

Şekil.3.12.'da gösterilen ölçüm düzeneği kullanılmaktadır. Şekil.3.12.'daki ölçüm düzeneğinden de görüleceği gibi, çekiç ile tahrik kullanılmıştır.



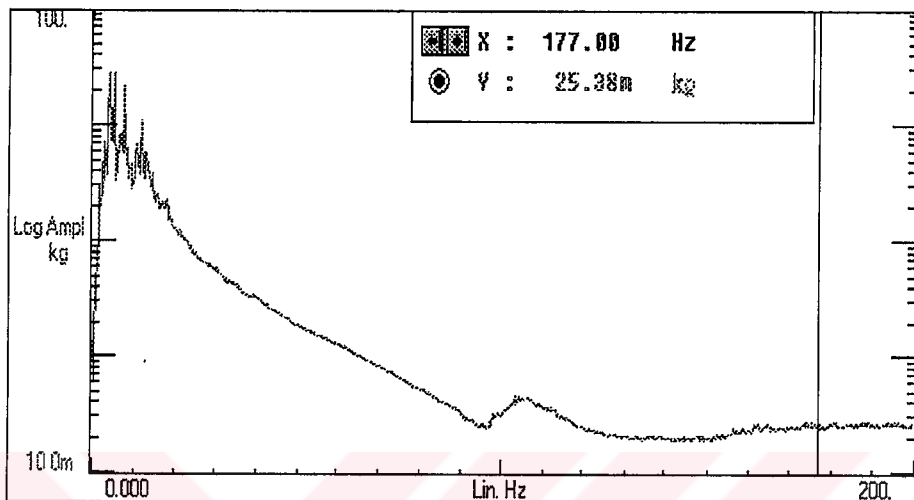
Şekil.3.12. Hava Yastığı'nın Yapısal Karakteristik Değerlerinin Elde Edilmesinde
Kullanılan Ölçüm Düzeneği.

Hava yastığının, dinamik kütlesinin toplu (lump) değerini belirlemek için, kuvvet ve ivme sinyali göz önüne alınmakta ve Şekil.3.13.'de dinamik kütle spektrumu gösterilmektedir. Spektrum üzerinde, birinci doğal frekanstan sonraki eğri, kütle eğrisi olduğundan, bu bölgedeki değer alınmaktadır.

Dinamik sönümlün toplu değerini belirlemek için, kuvvet ve hız sinyali göz önüne alınmakta ve Şekil.3.14'da dinamik sönüüm spektrumu gösterilmektedir. Spektrum üzerinde, birinci doğal frekans bölgesindeki değeri belirleyen yapının sünumü olduğundan, bu bölgedeki değer alınmaktadır. Dinamik sertliğin toplu değerini belirlemek için, kuvvet ve yerdeğiştirme sinyali göz önüne alınmakta ve Şekil.3.15'da dinamik sertlik spektrumu gösterilmektedir. Spektrum üzerinde,

birinci doğal frekanstan önceki eğri, sertlik eğrisi olduğundan, bu bölgedeki değer alınmaktadır.

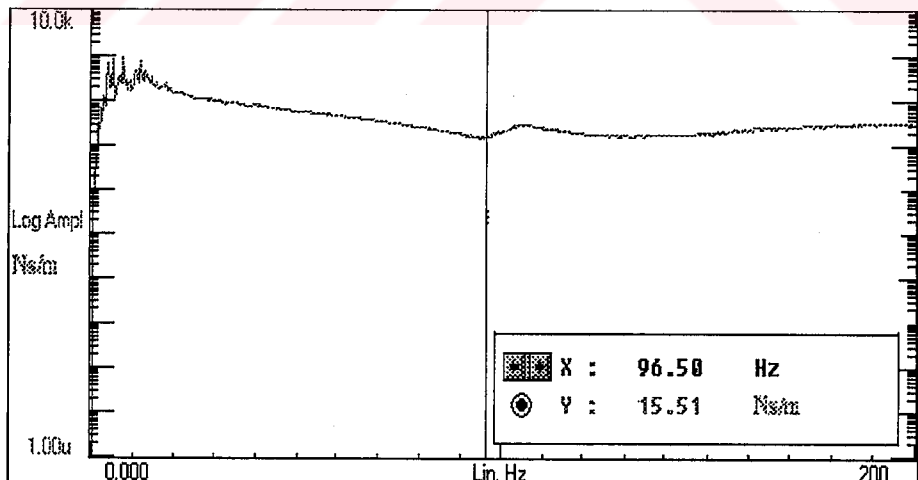
Kuvvet / İvme (kg)



Frekans (Hz)

Şekil.3.13. Hava Yastığı'nın Dinamik Kütlesi.

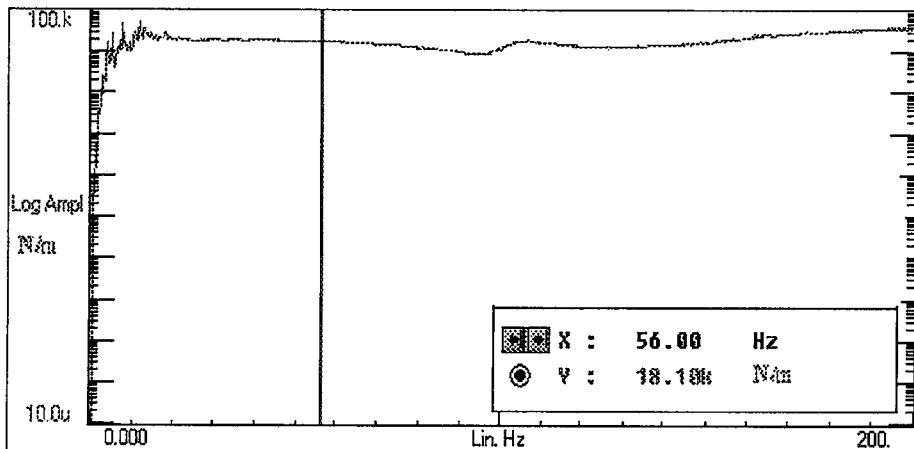
Kuvvet / Hız (N/m/s)



Frekans (Hz)

Şekil.3.14. Hava Yastığı'nın Dinamik Sönübü.

Kuvvet / Yerdeğiştirme (N/m)



Şekil.3.15. Hava Yastığı'nın Dinamik Sertliği.

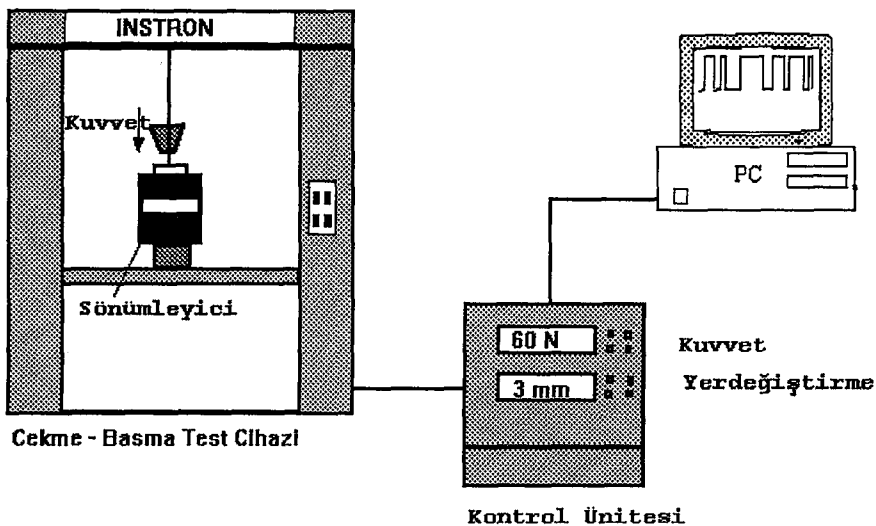
Hava yastığının, üç farklı mobilite ölçümü sonucu elde edilen, yapısal özellikleri Tablo.3.3'de toplu olarak verilmektedir.

Tablo.3.3. Hava Yastığının Yapısal Özellikleri.

	Kütle (kg)	Sönüm (Ns/m)	Sertlik (N/m)
Hava Yastığı	0.025	16	18000

3.5.2. Sönümlü Elemanın Yapısal Özelliklerinin Belirlenmesi:

Öncelikle, sönümlüyicinin liner davranışını tespit etmek için, T- şeklindeki levha'ya uygulanan aynı yöntem uygulanmıştır. Sonuç olarak, sönümlüyici liner olmayan bir davranış göstermektedir. Bu nedenle, sönümlüyici'nin yapısal özelliklerini tespit etmek için, farklı bir test düzeneği hazırlanmıştır. Sönümlüyici'nin kütle ve sönümlü katsayısı daha önce hazırlanan bir raporda belirtilmiştir [17]. Sertlik katsayısının belirlenmesi için ise, Şekil.3.16'de gösterilen ölçüm düzeneği kullanılmaktadır.



Şekil.3.16.Sönümlerici'nin Statik Sertliğinin Elde Edilmesinde Kullanılan Ölçüm Düzeneği.

Sönümlerici'nin statik sertliğinin yaklaşık değerini belirlemek için, Şekil.3.17.'de gösterilen ölçüm düzeneği kullanılarak basma deneyi yapılmıştır.



Şekil.3.17.Sönümlerici'nin Statik Sertliğini Veren Eğrinin Şematik Gösterimi.

Sönümlerici'nin üzerine z doğrultusunda 0-70N arasında değişen statik bir kuvvet uygulanmıştır. Bu kuvvete karşılık yerdeğiştirme kayıt edilmiştir. Kuvvette göre yerdeğiştirme eğrisi çizilerek, eğrinin eğiminden sökümlerici'nin statik sertliği elde edilmiş ve Şekil B1'de, Ek.B'de verilmiştir.

Sönümlerici üzerine elektrik motoru koyulduğunda, sönümleyici'nin sahip olduğu sertlik değeri önemli ölçüden 60-70N arasında kalan bölgedeki eğri göz önüne alınmıştır ve Şekil.3.17'de şematik olarak gösterilmiştir. Sönümlericinin, daha önce yapılan çalışmalar ve çekme-basma deneyi sonucu elde edilen, yapısal özelliklerini Tablo.3.4'de toplu olarak verilmektedir.

Tablo.3.4. Sönümlerici'nin Yapısal Özellikleri.

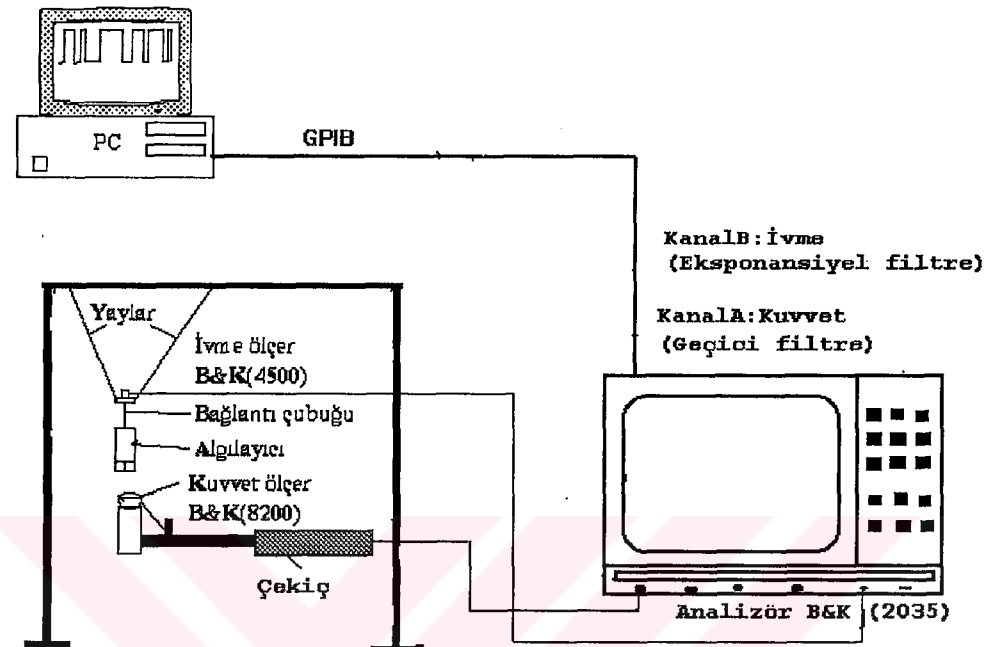
	Kütle (kg)	Sönüm (Ns/m)	Sertlik (N/m)
Sönümlerici	0.08	600	100000

3.5.3. Algılayıcının ve Bağlantı Çubuğu'nun Yapısal Özelliklerinin

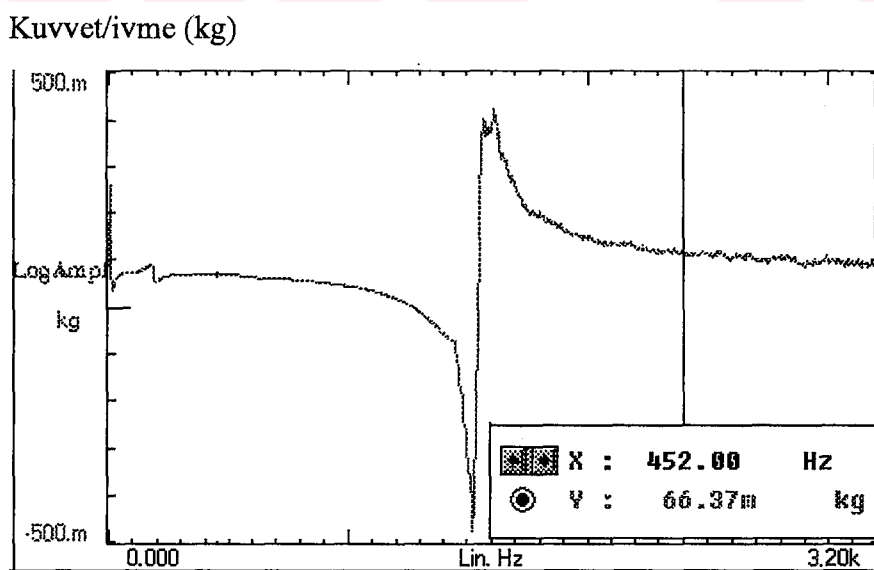
Belirlenmesi:

Ölçüm düzeneğinde, sönümleyici ile T şeklindeki levha arasında konumlandırılmış algılayıcı ve bağlantı çubuğu bir grup olarak ele alınmaktadır. Bu grubun liner davranışını tespit etmek için, T- şeklindeki levha'ya uyglanan aynı yöntem uygulanmıştır. Sonuç olarak, algılayıcı ve bağlantı çubuğu grubunun tek serbestlik dereceli ve linear kabul edilebilecek bir sistem gibi davranışını tespit edilmiştir. Bu nedenle, algılayıcı ve bağlantı çubuğu gurubunun dinamik yapısal özelliklerinin tek doğrultuda ve serbest-serbest sınır şartlarında sahip olduğu kütle, sertlik ve sönüm değerleri, üç farklı mobilite ölçümü ile elde edilebilmektedir [16]. Algılayıcı ve bağlantı çubuğu gurubunun yapısal dinamik özelliklerini belirlemek için, Şekil.3.18.'da gösterilen ölçüm düzeneği kullanılmaktadır. Şekil.3.18.'deki ölçüm düzeneğinden de görüleceği gibi, çekiç ile tahrik kullanılmıştır. Algılayıcı ve bağlantı çubuğu'un dinamik kütlesinin toplu (lump) değerini belirlemek için, kuvvet ve ivme sinyali göz önüne alınmakta ve Şekil.3.19.'de dinamik kütle spektrumu gösterilmektedir. Spektrum üzerinde,

birinci doğal frekanstan sonraki eğri, kütle eğrisi olduğundan, bu bölgedeki değer alınmıştır.

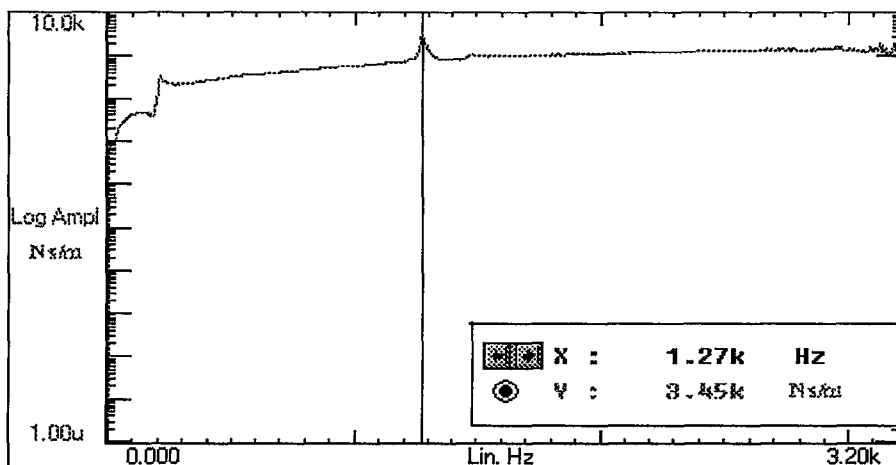


Şekil.3.18. Algılayıcının ve Bağlantı Çubuğuun Yapısal Özelliklerinin Belirlenmesinde Kullanılan Ölçüm Düzeneği.



Şekil.3.19. Algılayıcı ve Bağlantı Çubuğu Grubunun Dinamik Kütlesi.

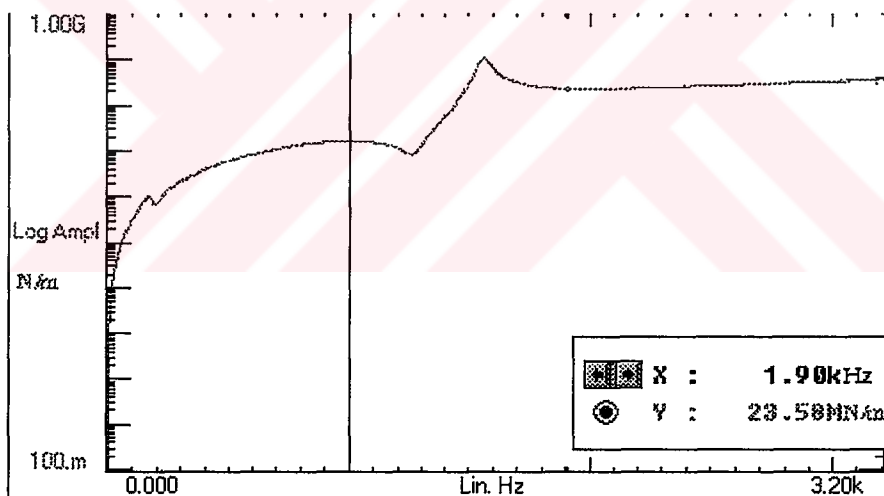
Kuvvet / hız (Ns/m)



Frekans (Hz)

Şekil.3.20. Algılayıcı ve Bağlantı Çubuğu Grubunun Dinamik Sönübü.

Kuvvet/ yerdeğiştirme (N/m)



Frekans (Hz)

Şekil.3.21. Algılayıcı ve Bağlantı Çubuğu Grubunun Dinamik Sertliği.

Dinamik sönümün toplu değerini belirlemek için, kuvvet ve hız sinyali göz önüne alınmakta ve Şekil.3.20'da dinamik sönüm spektrumu gösterilmektedir. Spektrum üzerinde, birinci doğal frekans bölgesindeki değeri belirleyen yapının sönümü olduğundan, bu bölgedeki değer alınmıştır. Dinamik sertliğin toplu değerini belirlemek için, kuvvet ve yerdeğiştirme sinyali göz önüne alınmakta ve

Şekil.3.21'da dinamik sertlik spektrumu gösterilmektedir. Spektrum üzerinde, birinci doğal frekanstan önceki eğri, sertlik eğrisi olduğundan, bu bölgedeki değer alınmıştır.

Algılayıcı bağlantı çubuğu grubunun, üç farklı mobilite ölçümü sonucu elde edilen, yapısal özelliklerini Tablo.3.5'de toplu olarak verilmektedir.

Tablo.3.5. Algılayıcı ve Bağlantı Çubuğu Grubunun Yapısal Özellikleri.

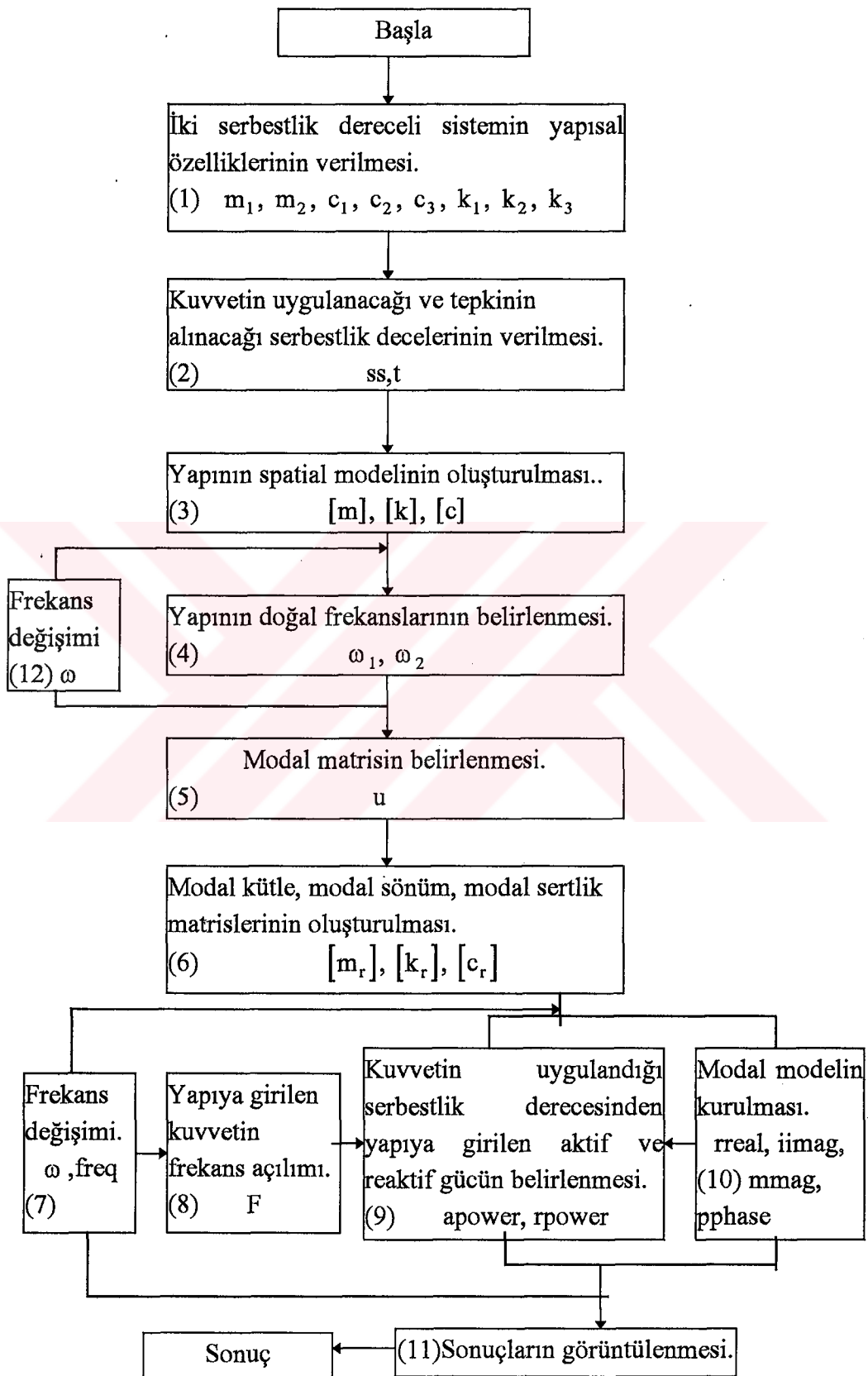
	Kütle (kg)	Sönüm (Ns/m)	Sertlik (kN/m)
Algılayıcı ve bağlantı çubuğu	0.066	3450	23300

BÖLÜM 4. TİTREŞİM GÜCÜ DAĞILIMININ MODELLENMESİ:

Bu bölümde, Bölüm.2'de anlatılan formülasyonun kullanılması sonucu, üç farklı model geliştirilecektir. Elde edilen modeller, Bölüm.5'de sınanacak ve ölçüm düzeneğinin üzerine uygulanacaktır.

4.1. Toplu Parametreli Model:

Bölüm.2.2'de belirtilen teorik açıklamalar kullanılarak, iki serbestlik dereceli bir sistem için, matematiksel analiz yazılım ortamında bir yazılım geliştirilmiştir [18]. Bu yazılım, iki serbestlik dereceli bir sistemin yapısal özelliklerini, hangi serbestlik derecesine kuvvetin uygulanacağını ve kuvvetin frekansa göre açılımını girdi olarak kabul etmektedir. Yapısal özellikleri verilen iki serbestlik dereceli sistemin yapısal özelliklerini kullanarak, matris formunda yapının sertlik, kütle ve sönüüm matrisleri elde edilmektedir. Böylece sistemin uzaysal ('spatial') modeli oluşturulmuştur. Daha sonra, sistemin doğal frekansları elde edilmektedir. Doğal freksanslarda yapının sahip olduğu titreşim biçimleri belirlenmekte ve modal matris oluşturulmaktadır. Modal matris, sönüüm, kütle ve sertlik matrisleri kullanılarak yapının sahip olduğu modal sönüüm, sertlik ve kütle matrisleri, dolayısıyla modal model elde edilmiştir. Yapıya hangi serbestlik derecesinden kuvvet uygulanırsa, o serbestlik derecesinden yapıya girilen aktif ve reaktif titreşim gücü değerleri hesaplanmıştır. Modal modelin elde edilmesi ve titreşim gücünün hesaplanması işlemleri frekansa bağlı olarak değiştiğinden, belirli bir frekans aralığında söz konusu işlemler tekrar edildiğinde, titreşim gücünün



Şekil.4.1. Toplu Parametreli Model İçin Geliştirilen Yazılımın Akış Şeması.

Elde edilen sonuçlar grafik şeklinde görüntülenmektedir. Akış şemasında (7) nolu kutuda belirtilen frekans değişimi, modelin sınanmasında daha önce yapılan çalışmanın sonuçları ile elde edilen sonuçların karşılaştırılabilir olabilmesi için ω [rad/s] olarak, ölçüm düzeneğinin modelinin kurulmasında ise freq [Hz] olarak, göz önüne alınmaktadır. Geliştirilen iki yazılımın, akış şeması Şekil.4.1'de gösterilmekte ve listesi Ek.C'de verilmektedir. Model'in sınanması Bölüm.5.2.1'de, ölçüm düzeneğine uygulanması Bölüm.5.2.2'de gerçekleştirilecektir.

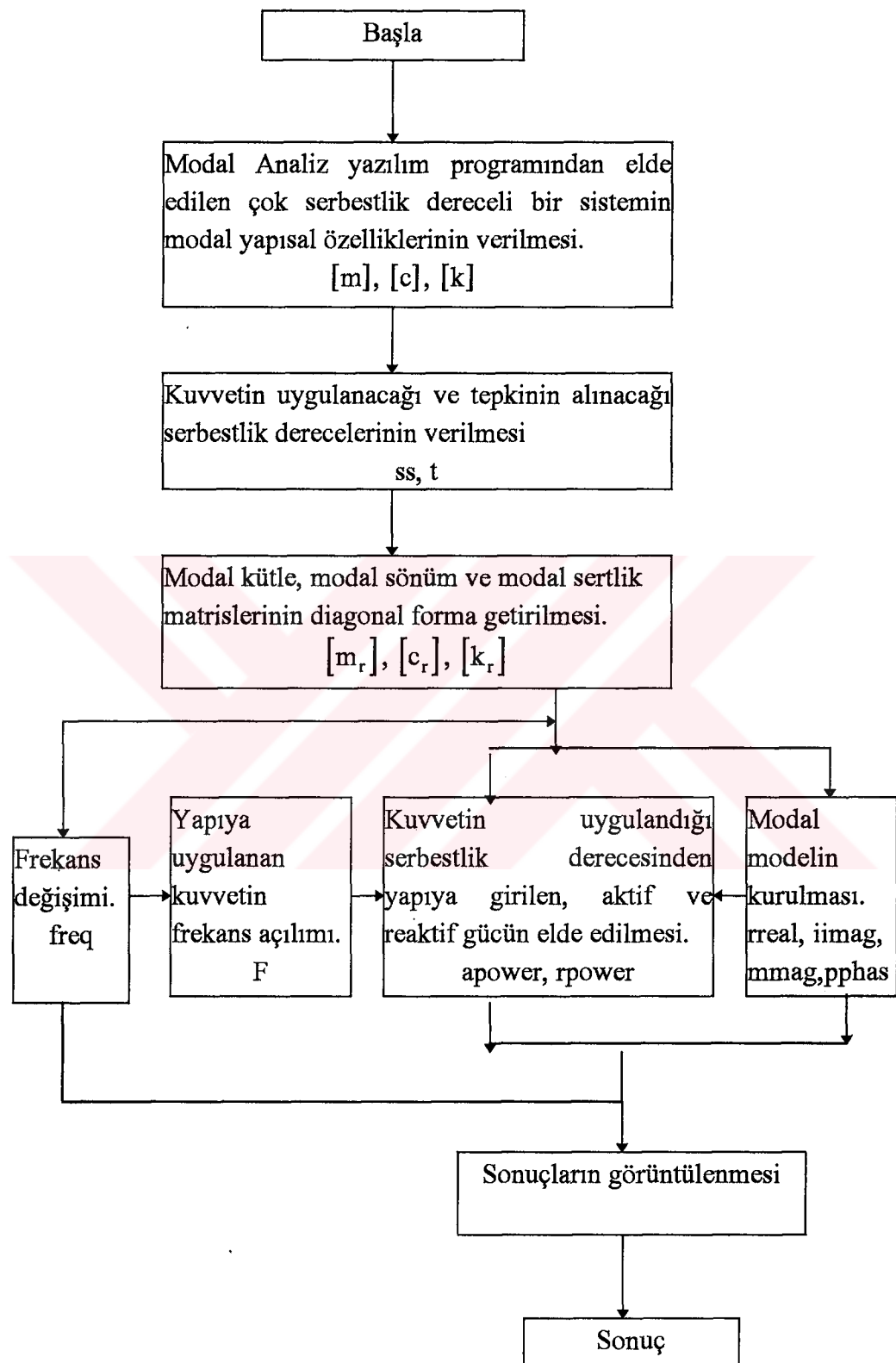
4.2. Modal Model:

Bölüm.2.5'de açıklanan formülasyon kullanılarak ve Bölüm.4.1'de kullanılan yazılıma benzer bir yazılım geliştirilerek, bir yapının modal modeli oluşturulmaktadır [18]. Bu yazılıma girdi olarak yapısal özellikler, hangi serbestlik derecesine kuvvetin uygulanacağı, cevabin hangi noktadan alınacağı, frekans değişimi ve kuvvet spektrumu verilmektedir. Bu model oluşturulurken, bir önceki modelde olduğu gibi önce uzaysal model ("spatial model") oluşturulmamıştır. Çünkü, yapısal özelliklerin modal yapısal özellikte olması gerekmektedir. Modal Analiz yazılım ortamından elde edilen veriler, geliştirilen yazılıma girilmeden önce, sayısal analiz yazılım ortamında uygun bir forma getirmektedir. Dolayısıyla, bu yazılıma deneysel olarak modal analiz yazılım ortamından elde edilen modal matris, modal sönüüm, sertlik ve kütle matrisleri direkt girilerek modal model oluşturulmaktadır. Elde edilen modal sertlik, kütle, sönüüm ve titreşim biçimlerini içeren matrisleri, sayısal analiz yazılım ortamında geliştirilen bir yazılım ile, matris işlemlerinin yapılabildiği bir yazılım ortamında geliştirilen yazılım'a girilebilecek hale getirilmiştir. Öncelikle, bu yazılım'a girilen modal sertlik, kütle ve sönüüm matrislerinin diagonal bir formda olmaları gerektiğinden, fakat modal analiz yazılım ortamından bir kolon matris olarak elde edildiklerinden, diagonal bir hale

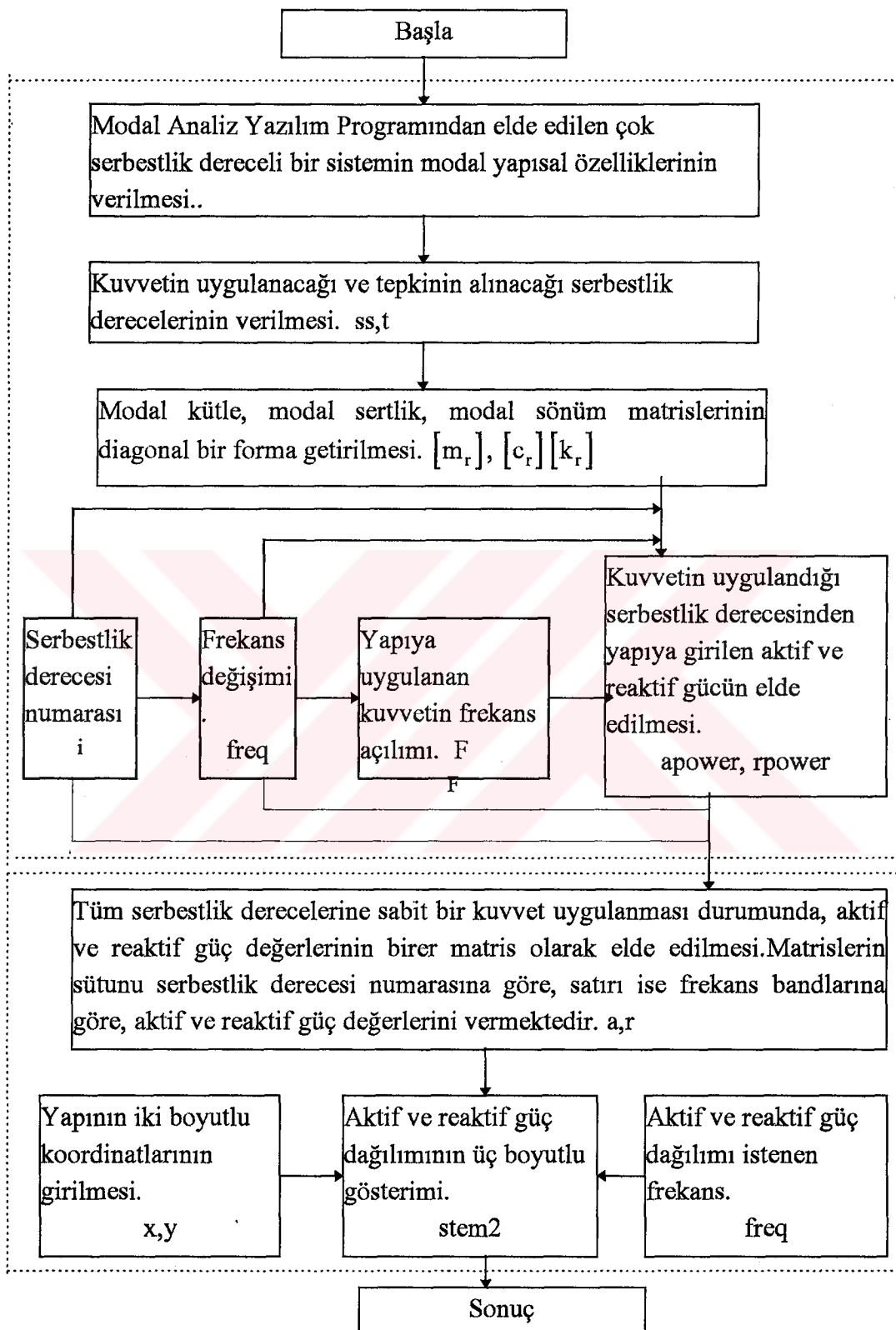
getirilirler. Daha sonra, yapıda kuvvetin uygulandığı serbestlik derecesinden yapıya girilen aktif, reaktif titreşim gücü ve o serbestlik derecesinin Frekans Cevap Fonksiyonunun (FRF) genlik, faz açısı, gerçel, sanal bölümlerinin frekansa göre değişimleri elde edilmektedir. Söz konusu yazılımın akış şeması Şekil.4.2'de gösterilmekte ve ölçüm düzeneğine uygulanması ve sonuçların değerlendirilmesi Bölüm.5.3.1'de, modelin sınaması Bölüm.5.3.2'de yapılacaktır.

Matris işlemlerinin yapılabildiği yazılım ortamında, kuvvet'in teker teker tüm serbestlik derecelerine uygulanması durumunda, frekansa bağlı olarak hangi serbestlik derecesinden yapıya ne kadar titreşim gücünün girilebileceğinin görüntülenmesi amacıyla ikinci bir yazılım geliştirilmiştir. Bu yazılımın birinci adımında, bir önceki yazılımda anlatılan işlemeler her serbestlik derecesi için tekrarlamakta ve her serbestlik derecesine birim (tüm frekans bandlarında birim genliğe sahip) bir kuvvet uygulanması durumunda yapıya girilebilecek aktif ve reaktif titreşim gücünün frekansa göre değişimi elde edilmektedir. İkinci adımda ise, satırı frekansa göre, sütunu serbestlik derecesine göre değişen aktif ve reaktif titreşim gücünü matrisleri ve yapının geometrisini tanımlamak için her serbestlik derecesinin iki doğrultudaki koordinat vektörleri yazılıma girilmektedir. Böylece, yapının üzerinde kuvvetin uygulandığı serbestlik derecelerine girilebilecek aktif ve reaktif titreşim gücünün frekansa bağlı olarak nasıl değiştiği tespit edilecektir. Söz konusu yazılımın akış şeması Şekil.4.3.'de ve ölçüm düzeneğine uygulanması Bölüm.5.3.3'de yapılacaktır.

Oluşturulan model'in, yapının tek bir noktadan, doğrultudan tahrik edildiği ve tepkinin tek bir doğrultudan elde edilen ölçümlere dayandığı göz ardı edilmemelidir. Yapının tahrik edilen noktasının düğüm noktası olması durumunda,



Şekil.4.2. Modal Model İçin Geliştirilen Birinci Yazılımın Akış Şeması.



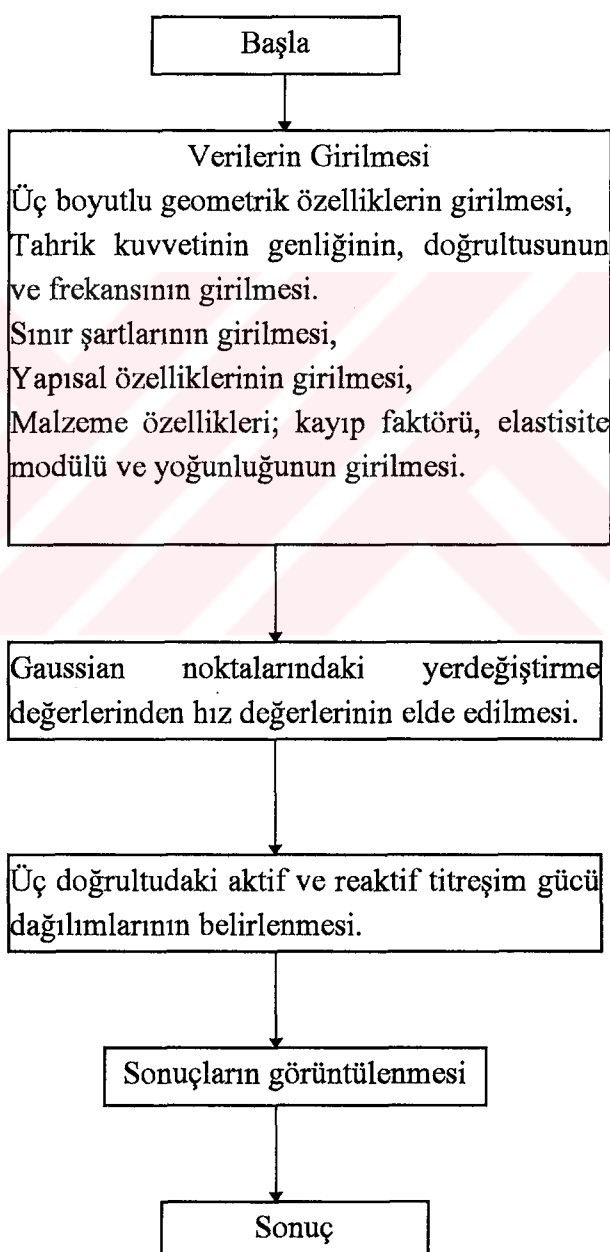
Şekil.4.3. Modal Model İçin Geliştirilen İkinci Yazılımın Akış Şeması.

düğüm noktası olduğu titreşim biçiminin özelliklerinin tespit edilmesi mümkün olmamaktadır. Model'in oluşturulmasında kullanılan, sayısal analiz yazılım ortamındaki yazılım ile, matris işlemlerinin yapıldığı yazılım ortamında hazırlanan yazılım Ek.D'de verilmektedir.

4.3. Yayılı Parametreli Model:

Bölüm.2.3'de elde edilen sürekli ortamlarda titreşim gücü denklemelerinin, Bölüm.2.4'de anlatılan Sonlu Elemanlar Yöntemi kullanılarak modellenmesi için, Fortran programlama dilinde ve UNIX ortamında bir yazılım geliştirilmiş [19], listesi Ek.E'de verilmiştir. Bu yazılım, Sonlu Elemanlar yöntemini temel alan bir analiz paket programının altında çalışmaktadır. Söz konusu yazılım, yapının sekiz düğüm noktalı sürekli ortam ('continuum') elemanlarından oluşturduğu düşünülerek hazırlanmıştır. Titreşim gücü modeli oluşturulacak ölçüm düzeneğinin geometrisi göz önüne alınarak eleman seçimi yapılmıştır. Paket program içinde, bir yapının belirli bir frekansta tahrik durumunda, üç doğrultuda sahip olduğu gerilim ve yer değiştirmeye dağılımı elde edilmektedir. Gerilim değerleri yapının Gaussian noktalarında, yer değiştirmeye değerleri ise, düğüm noktalarında hesaplanmaktadır. Bölüm.2.4'de belirtilen üç doğrultudaki titreşim gücü denklemesinin modellenmesinde, gerilim ve hız değerlerinin elemanın aynı noktalarında elde edilmesi ve çarpılması gerekmektedir. Bu nedenle, paket programda gerilim değerlerinin Gaussian noktalarından interpolasyonla düğüm noktalarına yada yerdeğiştirmeye değerlerinin interpolasyonla düğüm noktalarından Gaussian noktalarına getirilmesi gerekmektedir. Gerilme değerlerinin daha fazla işlem sonucu elde edilmiş olmasından dolayı, sonucun doğruluğu açısından yer değiştirmeye değerlerinin düğüm noktalarından Gaussian noktalarına getirilmesi, uygun görülmüştür. Paket programın istenilen özelliklere getirilmesi, yazılımcı firma ile

görüşülmüş sağlanmıştır. Gaussian noktalarında yer değiştirme değerleri elde edildikten sonra, bu değerler harmonik hareket kabulu ile hız değerlerine dönüştürülmüştür. Daha sonra Bölüm.2.4'de belirtilen formülasyon kullanılarak yazılım oluşturulmuş ve akış şeması Şekil.4.4'de gösterilmiştir. Paket program içinde, çözümün elde edilmesi de, yapının geometrisinin, sınır şartlarının, tahrif durumunun malzeme ve yapısal özelliklerinin belirtilmesi gerekmektedir.



Şekil.4.4. Yayılı Parametreli Model İçin Geliştirilen Yazılımın Akış Şeması.

Oluşturulan yaylı parametreli model'in sınaması Bölüm.5.4.1'de, ölçüm düzeneğine uygulanması Bölüm.5.4.2'de sağlanacaktır.



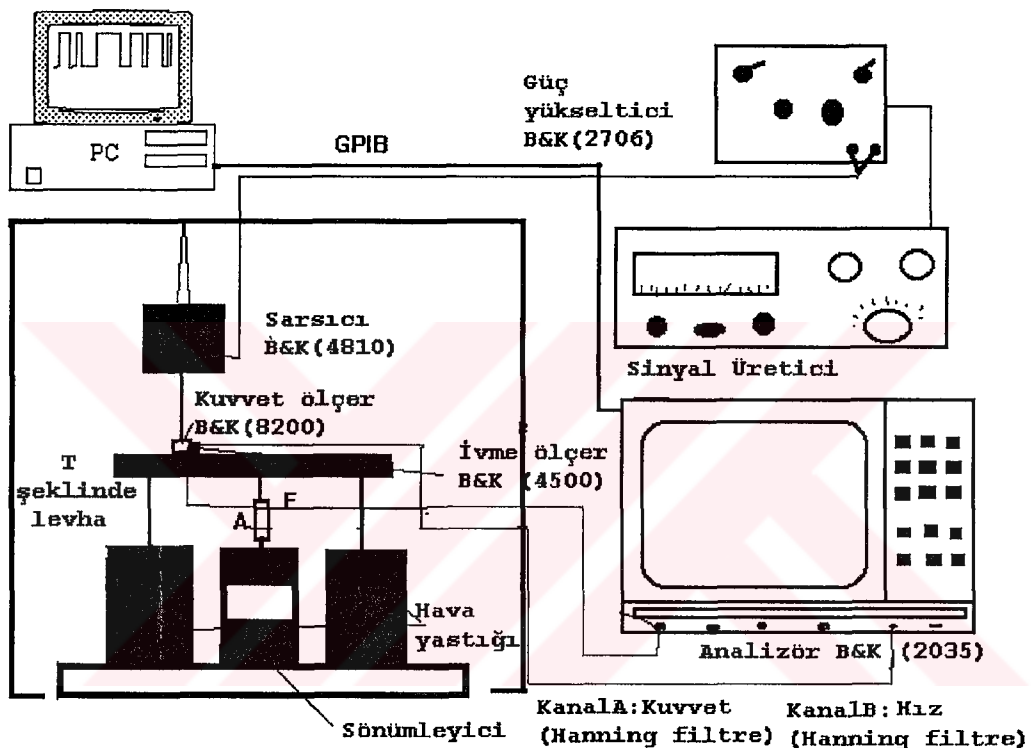
BÖLÜM 5. TEORİK VE DENEYSEL SONUÇLAR

Bu bölümde, Bölüm.2'de anlatılan teorik, Bölüm.3'de anlatılan deneysel ve Bölüm.4'de anlatılan modelleme çalışmaları kullanılarak elde edilen modeller, ölçüm düzeneğine uygulanılacak ve aktif ve reaktif titreşim gücü ile ilgili teorik kavramlar deneysel olarak elde edilmiştir. Öncelikle, oluşturulan modeller daha önce yapılmış çalışmalarla sınırlıdır. Sonra, ölçüm düzeneğinin üç farklı modeli oluşturulmuştur. İlk olarak, ölçüm düzeneği iki serbestlik dereceli bir sistem olarak göz önüne alınarak, toplu parametreli bir modeli oluşturulacaktır. Ölçüm düzeneğinin toplu parametreli modeli, aktif ve reaktif titreşim gücünü spektrumunda T- şeklindeki levhanın katı cisim hareketlerinin etkilerini görmek amacıyla hazırlanmıştır. Ölçüm düzeneğinin, 0-10 kHz arasında sahip olduğu ilk on titreşim biçimini göz önüne alınarak, modal modeli oluşturulmuştur. Modal model'in sınıması ölçüm düzeneği üzerinden elde edilen mobilite spektrumları göz önüne alınarak yapılacaktır. Ölçüm düzeneğinin modal modeli, aktif ve reaktif titreşim gücünü spektrumunda T- şeklindeki levhanın elastik cisim hareketlerinin etkilerini görmek amacıyla hazırlanacaktır. Yayılı parametreli model ise, belirli bir frekansta bir yada daha fazla kuvvetin bir yada daha fazla noktadan aynı fazda yapıya uygulanması durumunda aktif ve reaktif titreşim gücünün geometri üzerinde nasıl bir dağılım gösterdiğini belirlemek amacıyla oluşturulacaktır.

5.1. Titreşim Gücü Spektrumlarının Deneysel Olarak Elde Edilmesi

Bir noktadan akan aktif titreşim gücünün, o noktanın sahip olduğu direkt mobilite spektrumunun gerçel kısmı ile, reaktif titreşim gücünün ise, o noktanın

sahip olduğu direkt mobilite spektrumunun sanal kısmı ile orantılı olduğunu göstermek için, Şekil.5.1'de gösterilen ölçüm düzeneği kullanılarak, yapı üzerinde belirli noktalarına tüm frekans bandlarında voltaj olarak aynı genlige sahip ('random') sinyal uygulanmıştır. Bu noktalarda yapının sahip olduğu direkt mobilite spektrumları ve yapıya girilen titreşim gücü spektrumları elde edilmiştir.



Şekil.5.1. Kuvvet, Mobilite, Titreşim Gücü Spektrumlarının Elde Edilmesinde
Kullanılan Ölçüm Düzeneği.

Bu çalışma sonucu elde edilen bir noktanın reaktif titreşim gücünün ve mobilitenin sanal kısmının frekansa göre değişimi Şekil F1'de, aktif titreşim gücünün ve mobilitenin gerçel kısmının frekansa göre değişimi Şekil F2'de Ek.F'de verilmektedir. Şekil F1 ve Şekil F2'de gösterilen spektrumlar göz önüne alındığında, 0-4 kHz frekans aralığında, ölçüm yapılan noktalardan birinden elde edilen verilere göre, bir noktanın sahip olduğu direkt mobilite spektrumunun

gerçel kısmı, bu noktaya girilecek titreşim gücünü spektrumunun gerçek kısmı ile, direkt mobilite spektrumunun sanal kısmı ise, titreşim gücünü spektrumunun sanal kısmı ile benzer olduğu görülmüştür. 4-10 kHz frekans aralığında ise, akan titreşim gücünü oldukça küçük değerlerde olmaktadır. Bölüm.2.1'de teorik olarak elde edilen sonuçlar, Ek.F'de gösterilen spektrumlar göz önüne alındığında, deneysel olarak da elde edilmiş olmaktadır. Bu deneysel çalışma, yapı üzerinde tanımlanmış 65. nokta üzerinde yapılmıştır.

5.2. Toplu Parametreli Modelin Uygulanması

Bu bölümde, ölçüm düzeneği iki serbestlik dereceli bir sistem olarak göz önüne alınacak ve toplu parametreli bir modeli oluşturulacaktır. Öncelikle, Bölüm.4.1'de açıklanan toplu parametreli modelin yazılımı, daha önceden yapılmış bir çalışma üzerinde sınamacak, daha sonra ölçüm düzeneği üzerine uygulanacak ve sonuçlar elde edilecektir.

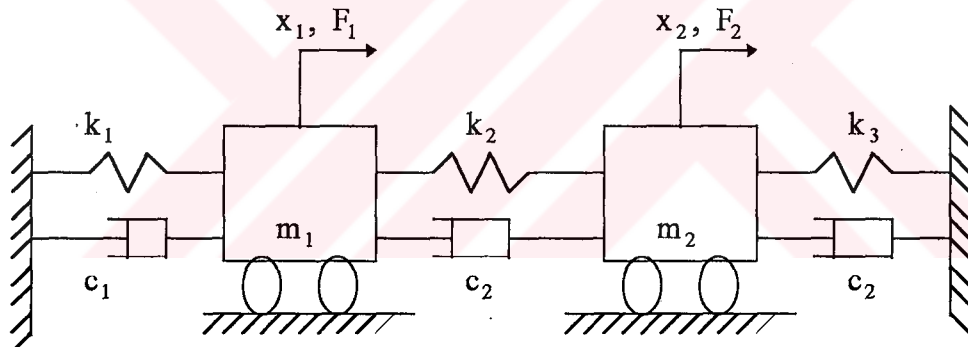
5.2.1. Toplu Parametreli Modelin Sınaması

Bölüm.4.1'de açıklanan yazılıma, Şekil.5.2'de gösterilen iki serbestlik dereceli bir sistemin yapısal özellikleri girilmektedir [8]. m_1 kütleli serbestlik derecesine $F_1 = 1$ N'luk bir kuvvet tüm frekans bandlarında uygulanmaktadır. Bu bölümde, mobilite yada direkt mobilite olarak tanımlanan ifade, kuvvetin uygalandığı serbestlik derecesinden tepkinin alınması sonucu elde edilmektedir. Bölüm.2.1'de elde edilen (2.26) ve (2.27) denklemlerinden görüldüğü üzere, aktif titreşim gücünü mobilitenin gerçek kısmı ile, reaktif titreşim gücünü ise mobilitenin sanal kısmı ile orantılı olarak değişmektedir. m_1 kütleli serbestlik derecesine $F_1 = 1$ N'luk bir kuvvetin tüm frekans bandlarında uygulanması durumunda, m_1 kütleli

serbestlik derecesine girilen aktif, reaktif titreşim gücü değerlerinin ve bu serbestlik derecesinin sahip olduğu direkt mobilite değerinin frekansa göre değişimi elde edilmiş ve Ek.G'de gösterilmiştir. Şekil G2 ve Şekil G3'de verilen mobilite spektrumunun gerçek kısmı ile yapıya girilen aktif titreşim gücünün, mobilite spektrumunun sanal kısmı ile yapıya girilen reaktif titreşim gücünün benzer davranış gösterdiği görülmektedir. Mobilite spektrumunun gerçek kısmı doğal frekans bölgelerinde tepe yaparken, yapıya girilen aktif titreşim gücü de doğal frekans bölgesinde tepe yapmaktadır. Mobilite spektrumunun sanal kısmı doğal frekans bölgelerinde işaret değiştirirken, yapıya girilen reaktif titreşim gücü de doğal frekans bölgesinde işaret değiştirmektedir. Ayrıca Şekil G1'de verilen, m_1 kütleli serbestlik derecesinin sahip olduğu direkt mobilite spektrumunun genlik kısmı doğal frekans bölgesinde tepe yaparken, faz açısı işaret değiştirmektedir. Doğal frekans bölgesinde yapıya girilen reaktif titreşim gücünün sıfır değerinden geçmesinin nedeni, bu bölgede depolanan kinetik ve potansiyel enerji ortalamalarının birbirilerine eşit olması, dolayısıyla farklarının sıfıra eşit olmasıdır. Direkt mobilite spektrumunun sanal ve faz kısımları doğal frekans bölgesinde işaret değiştirmekte, dolayısıyla, yapıya girilen reaktif titreşim gücü işaret değiştirmektedir. Bu işaret değişiminin nedeni, doğal frekans bölgesinde (2.27) denkleminden görüldüğü üzere, payda da parantez içindeki ve pay daki ifade sıfıra eşit olmasıdır. Bu durumda, reaktif titreşim gücü doğal frekans bölgesinde sıfıra eşit olmaktadır.

Farklı iki sönüm dağılımında, m_1 kütleli serbestlik derecesine yukarıda bahsedilen $F_1 = 1 \text{ N}'\text{luk kuvvet uygulanmış ve sonuçlar Ek.G'de gösterilmiştir. Birinci sönüm dağılımında } c_1 \text{ sönüm katsayısı yapıya dahil ve yeşil renkli eğri ile gösterilmektedir. İkinci sönüm dağılımında yapıdan çıkarılmıştır ve elde edilen spektrumlar kırmızı renkli eğri ile gösterilmiştir. } c_1 \text{ sönüm kat sayısı yapıdan}$

çıkarıldıktan sonra, doğal frekans bölgesinde yapıya girilen aktif titreşim gücü değerinde bir artış görülmüştür. Direkt mobilite spektrumunun gerçel ve genlik kısımlarında benzer nedenle doğal frekans bölgesinde bir artış görülmüştür. Bu artışın nedeni, doğal frekans bölgesinde (2.26) denkleminden görüldüğü üzere, payda da parantez içindeki ifade sıfırda eşit iken, mobilite değerine belirleyen sönüüm katsayısı olmaktadır. Sönüüm katsayısının da, payda da karesi payda kendisi olduğundan, sönüüm katsayısının azalması durumunda mobilite değeri doğal frekans bölgesinde artmaktadır. Ayrıca, c_1 sönüüm kat sayısının yapıdan çıkarılması, doğal frekans bölgesinde titreşim genliğinin artmasına da neden olmaktadır. Dolayısıyla, yapıya girilen aktif titreşim gücü'de bu frekans bölgesinde artmaktadır.



Şekil.5.2. İki Serbestlik Dereceli Sistem.

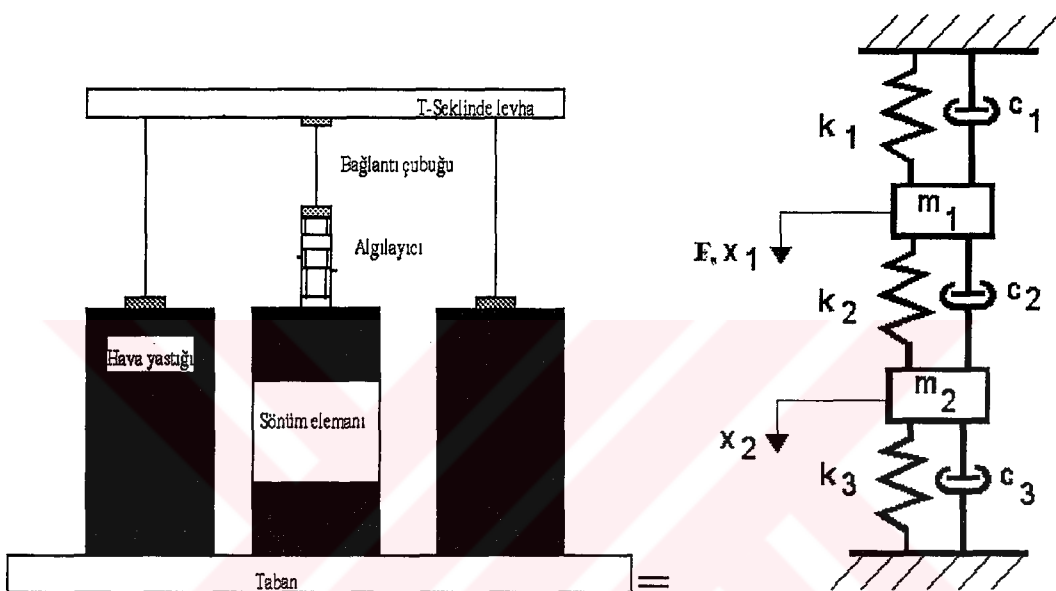
$$\text{Yerdeğiştirme vektörü; } \mathbf{x} = [x_1 \quad x_2]^T, \text{ kuvvet vektörü; } \mathbf{F} = [F_1 \quad F_2].$$

$$\begin{aligned} \text{Yapısal özellikler; } & k_1 = 1 \text{ N/m}, \quad c_1 = 0.1 \text{ Ns/m}, \quad m_1 = 1 \text{ kg}, \quad m_2 = 2m_1, \\ & k_2 = 2k_1, \quad c_2 = 2c_1, \quad k_3 = 3k_1, \quad c_3 = 3c_1. \end{aligned}$$

$$\text{Sönümsüz doğal frekanslar; } \omega_1 = 1.146 \text{ rad/s}, \quad \omega_2 = 2.046 \text{ rad/s.}$$

5.2.2. Toplu Parametreli Model'in Ölçüm Düzeneğine Uygulanması

Ölçüm düzeniğinin düşük frekanslardaki davranışını ve T-şeklindeki levhanın katı cisim hareketlerinin titreşim gücüne etkilerini belirlemek için, ölçüm düzeneğinin toplu parametreli modeli oluşturulmuştur.



Şekil 5.2. Ölçüm Düzeneği ve Eşdegeri İki Serbestlik Dereceli Sistem.

Yerdeğiştirme vektörü; $\mathbf{x} = [x_1 \quad x_2]^T$,

Yapısal özellikler; $k_1 = 54000 \text{ N/m}$, $c_1 = 48 \text{ Ns/m}$, $m_1 = 0.515 \text{ kg}$, $m_2 = 0.08 \text{ kg}$,

$k_2 = 23300 \text{ N/m}$, $c_2 = 3450 \text{ Ns/m}$, $k_3 = 100000 \text{ N/m}$, $c_3 = 600 \text{ Ns/m}$.

F , yapıya girilen kuvvet spektrumunu,

m_1 , T-şeklindeki levhanın kütlesini,

m_2 , sönüm elemanın kütlesini,

k_1 , hava yastıklarının toplam sertlik katsayısını,

k_2 , algılayıcı bağlantı çubuğu gurubunun sertlik katsayısını,

k_3 , sönüm elemanın sertlik katsayısını,

- c_1 , hava yastıklarının toplam sönüüm katsayısını,
 c_2 , algılayıcı bağlantı çubuğu grubunun sertlik katsayısını,
 c_3 , sönüüm elemanın sönüüm katsayısını ifade etmektedir.

Ölçüm düzeneğinin iki serbestlik dereceli bir sistem olarak göz önüne alınması durumunda, birinci serbestlik derecesinde; T-şeklindeki levhanın kütlesi, hava yastığının sönüüm ve sertlik katsayıları, ikinci serbestlik derecesinde; sönüüm elemanın kütle, sönüüm, sertlik katsayıları, iki serbestlik derecesi arasındaki bağlantıyı ise; algılayıcı bağlantı çubuğu grubunun sönüüm ve sertlik katsayıları alınmaktadır. Böylece T-şeklindeki levhanın sönüüm, sertlik değerleri, algılayıcı bağlantı çubuğu grubunun kütle değeri ihmali edilmektedir. Ölçüm düzeneğinin parçalarının yapısal özellikleri, serbest-serbest sınır şartlarında elde edilmiştir. Şekil.5.2'de ölçüm düzeneği ve eşdegeri iki serbestlik dereceli sistem gösterilmektedir.

Ölçüm düzeneğine T-şeklindeki levhaya dik doğrultuda 0-10kHz frekans aralığında raslantısal ('random') kuvvet uygulanması durumunda, yapıya girilen aktif titreşim gücü değerlerinin frekansa göre değişimi Şekil.5.1'deki ölçüm düzeneği kullanılarak elde edilmiş ve Şekil H1'de verilmiştir. Bu kuvvetin ölçüm düzeneğinin iki serbestlik dereceli modeline girilmesi durumunda, aktif titreşim gücü değerlerinin frekansa göre değişimi elde edilmekte ve Şekil H2'de verilmektedir.

Ölçüm düzeneğinin iki serbestlik dereceli modelinde, birinci doğal frekans $\omega_1 = 81\text{Hz}$, ikinci doğal frekans $\omega_2 = 2925\text{ Hz}$ olarak hesap edilmiştir. Ölçüm düzeneğine orta noktasından raslantısal ('random') kuvvet uygulanmış, aktif ve reaktif titreşim gücünün frekansa göre değişimi Şekil.5.1'deki ölçüm düzeneği

kullanılarak elde edilmiştir. Yapıya ‘random’ kuvvet uygulandığında, yapıya girilen, ölçülen kuvvet spektrumu Şekil H3’de verilmiştir. Yapıya girilen aktif titreşim gücü spektrumuna bakıldığından, ölçüm düzeneğinin doğal frekansları olan $\omega_1 = 81\text{Hz}$, $\omega_2 = 2925\text{ Hz}$ değerlerinde ve kuvvet spektrumunun tepe değerlerinde, aktif titreşim gücünün yüksek değerler aldığı görülmüştür. Yapıya girilen kuvvet spektrumunun doğal olarak, ‘random’ bir sinyal olmasından, yaklaşık düz bir çizgi şeklinde olması gerekiydi. Ama, yapıya girilen kuvvet sinyali yapının sahip olduğu yapısal özelliklere göre değişmektedir. Bu nedenle, kuvvet spektrumuna bakıldığından, ölçüm düzeneğinin sahip olduğu doğal frekanslarda kuvvet değerlerinin tepe yaptığı görülmüştür.

Ölçüm düzeneğinin iki serbestlik dereceli modelinde, birinci serbestlik derecesi, T şeklindeki levhanın hava yastıkları üzerinde katı cisim hareketini, ikinci serbestlik derecesi ise, sönüm elemanın hareketini belirtmektedir.

Ölçüm düzeneğinden elde edilen aktif titreşim gücünü, modelden elde edilen aktif titreşim gücünü spektrumları karşılaştırıldığında benzer bir davranış gösterdikleri görülmektedir. Modelin birinci doğal frekansı, $\omega_1 = 81\text{Hz}$ civarında olduğundan, ölçüm sonucu ve modelden elde edilen aktif titreşim gücünü spektrumlarına bakıldığından her ikisinin de tepe yaptıkları görülmektedir. Bunun nedeni de, yukarıda belirtildiği üzere T şeklindeki levhanın hava yastıkları üzerindeki katı cisim haraketinden ileri geldiği anlaşılmıştır. 100-2000 Hz frekans aralığında, ölçüm sonucu ve modelden elde edilen aktif titreşim gücünü spektrumuna bakıldığından kuvvet spektrumundan, dolayısıyla, T şeklindeki levhanın elastik titreşim biçimlerinden ileri geldiği anlaşılmıştır. Modelin ikinci doğal frekansı, $\omega_2 = 2925\text{ Hz}$ civarında olduğundan, ölçüm sonucu ve modelden elde edilen aktif titreşim spektrumuna bakıldığından bir tepe gözükmemektedir. Bunun nedeni de, modelin ikinci

doğal frekansı, dolayısıyla, sönüm elemanın hareketinden, yada T- şeklindeki levhanın söz konusu frekans aralığında sahip olduğu elastik titreşim biçimini olabilecektir. 3-10 kHz frekans aralığında yapıya girilen aktif titreşim gücü, 3000 Hz frekansının altındaki frekanslara göre, oldukça az olmaktadır.

Ölçüm düzeneğinden ve modelden elde edilen, yapıya girilen aktif titreşim gücü spektrumları karşılaştırıldıklarında, modelden elde edilen aktif titreşim gücü değerlerinin, ölçüm düzeneğinden elde edilen aktif titreşim gücü değerlerine göre, on kat daha büyük olduğu görülmüştür. Bunun nedeninin modelin oluşturulmasında kullanılan matrislerin öz vektörlerinin normalize edilmemiş olması olasılığı oldukça yüksektir. Çalışmanın amacının, ölçüm düzeneğine girilen aktif titreşim gücünün değer olarak modellenmesinden öte, ölçüm düzeneğinin tasarlanmasında kullanılacak parametrelerin elde edilmesi olduğundan, spektrumların davranışları göz önüne alınmaktadır.

5.3. Modal Modelin Uygulanması

Bu bölümde, ölçüm düzeneği 68 serbestlik dereceli ve 0-10kHz frekans aralığında 10 titreşim biçimini olan bir sistem olarak göz önüne alınacak ve modal bir modeli oluşturulacaktır. Daha sonra, Bölüm.4.2'de açıklanan modal model yazılımı, daha önceden yapılmış bir çalışma olmadığından, ölçüm düzeneğinden elde edilen veriler ile modelden elde edilen veriler karşılaştırılarak, modelin doğruluğu sınanacaktır. Ölçüm düzeneğinde, tüm serbestlik derecelerine, 0-10kHz frekans aralığında sabit genlige sahip bir kuvvet uygulanması durumunda, söz konusu serbestlik derecelerinde frekansa göre aktif ve reaktif titreşim gücü değişimi elde edilecektir.

5.3.1. Modal Model'in Ölçüm Düzeneğine Uygulanması

Bölüm.4.2'de açıklanan yazılım kullanılarak, ölçüm düzeneğinin, 0-10 kHz arasında sahip olduğu ilk 10 titreşim biçimini göz önüne alınarak ve modal yaklaşım kullanılarak yapıya girilen titreşim gücünün modeli oluşturulmuştur. Ölçüm düzeneğinin Modal Analiz yazılım ortamından elde edilen, ilk 10 titreşim biçimini için, modal matris, modal kütle, sönüüm ve sertlik matrisleri Bölüm.4.2'de anlatılan ilk yazılıma girilmiştir. Modal Analiz çalışması sırasında ölçüm düzeneği üzerinde tanımlanmış 68 noktadan herhangi birine kuvvet uygulanması durumunda, kuvvetin uygulandığı noktadan ölçüm düzeneğine girilen aktif ve reaktif titreşim gücü değerlerinin frekansa göre değişimleri Şekil.5.1'deki ölçüm düzeneği kullanılarak elde edilmiştir. Ölçüm düzeneğinde tanımlanmış noktalardan birine 0-10 kHz frekans aralığında "random" kuvvet uygulanmıştır. Kuvvet uygulanması sırasında, yapıya girilen aktif ve reaktif titreşim gücünün ve kuvvetin frekansa göre değişimi ölçülp, kayıt edilmiştir. Daha sonra ölçüm düzeneğinin modal modeli üzerinde söz konusu noktaya ölçülen kuvvet spektrumu girilmiştir. Yazılımda frekansın değişimi, ölçüm yapılan analizörün frekans bandlarına göre ayarlanmıştır. Ölçüm düzeneği ve model üzerinde, bahsedilen ölçümler 18 ve 52 noktaları için tekrar edilmiş, aktif ve reaktif titreşim gücü spektrumları elde edilmiştir.

Ölçüm düzeneğinin model'inin, 18 ve 52 noktası için elde edilmiş ve Şekil I5, I6, I7, I8, I9, I10, I11, I12'de gösterilen, aktif ve reaktif titreşim gücünü spektrumlarına bakıldığından, 0-1000 Hz frekans aralığında kayda değer bir şey görülememiştir. Çünkü, ölçüm düzeneğinin modelinin oluşturulmasında, T-şeklindeki levhanın katı cisim hareketini dahil etmemek için, ölçüm düzeneğinin ilk titreşim biçiminden 10 kHz'e kadar olan frekans aralığındaki titreşim biçimlerini göz önüne almaktadır. Dolayısıyla, 0-1000 Hz frekans aralığı göz önüne

alınmamıştır. Ölçüm düzeneğinden ölçüm sonucu elde edilen aktif titreşim gücü spektrumlarına bakıldığından, 0-1000 kHz frekans aralığında 81Hz civarında bir tepe değer, reaktif titreşim gücü değerine bakıldığından 81Hz civarında işaret değiştirdiği görülmüştür. Bu etki, T- şeklindeki levhanın, hava yastıkları üzerinde yaptığı katı cisim hareketinden dolayı ortaya çıktığı Bölüm.4.1.2'de açıklanmıştır. Ölçüm düzeneğinden ve modelden elde edilen aktif titreşim gücü spektrumunda, 1000-3000 frekans aralığına bakıldığından, 1200 Hz ve 1600 Hz civarında bazı tepe değerleri gözükmektedir. Aynı frekans aralığına bakıldığından, reaktif titreşim gücü değerlerinin de işaret değiştirdiği görülmüştür. Bu değişimlerin olduğu frekanslar aynı zamanda, ölçüm düzeneğinin sahip olduğu birinci ve ikinci elastik titreşim modunun ortaya çıktığı frekanslara karşılık gelmektedir. 3000 Hz frekansının üzerindeki frekanslarda, ölçüm düzeneğine girilen aktif ve reaktif titreşim değerleri oldukça küçük olmaktadır.

Ölçüm düzeneğinden elde edilen aktif ve reaktif titreşim gücü spektrumu ile, model'den elde edilen aktif ve reaktif titreşim gücü spektrumu karşılaştırıldığında, davranış olarak bir birilerine benzerken, büyülüklük olarak oldukça farklı oldukları görülmüştür. Model'in oluşturulmasında kullanılan matrislerin öz vektörlerinin normalize edilmemiş olmasından dolayı böyle bir farkın ortaya çıkması doğaldır. Çalışmanın amacının, ölçüm düzeneğine girilen aktif titreşim gücünün değer olarak modellenmesinden öte, ölçüm düzeneğinin tasarlanması sırasında kullanılacak parametrelerin elde edilmesi olduğundan, spektrumların davranışları göz önüne alınmaktadır.

5.3.2. Ölçüm Düzeneğinin Modal Modelinin Sınanması

Bölüm.4.2'de açıklanan yazılım kullanılarak, ölçüm düzeneğinin, 0-10 kHz arasında sahip olduğu ilk 10 titreşim biçimini göz önüne alınarak, modal modeli oluşturulmuştur. Ölçüm düzeneğinin Modal Analiz yazılım ortamından elde edilen, ilk 10 titreşim biçimini için, modal matris, modal kütle, sönümlü ve sertlik matrisleri Bölüm.4.2'de anlatılan ilk yazılıma girilmiştir. Modal Analiz çalışması sırasında ölçüm düzeneği üzerinde tanımlanmış 68 noktadan herhangi birine, 0-10 kHz frekans aralığında 'random' kuvvet uygulanmış ve herhangi bir noktasından 0-10 kHz frekans aralığında hız sinyali Şekil.5.1'deki ölçüm düzeneği kullanılarak elde edilmiştir. Bu iki sinyal kullanılarak mobilite spektrumu elde edilmiş ve kayıt edilmiştir. Ölçüm düzeneğinin modal modelinde de, kuvvetin uygulandığı ve tepkinin alındığı noktaların aynısı göz önüne alınarak mobilite spektrumu elde edilmiştir. Bir noktanın ölçüm düzeneğinden ve modelden elde edilen mobilite spektrumları karşılaştırılarak, model sınanmıştır. Ölçüm düzeneği ve model üzerinde bahsedilen ölçümler Şekil.5.1'deki ölçüm düzeneği kullanılarak 15, 34 ve 49 noktası için tekrar edilmiştir.

Ölçüm düzeneğinden ve modelinden 15, 49 ve 34 noktası için elde edilmiş direkt mobilite spektrumlarının genlik kısımları her nokta için üst üste çizdirilmiş ve Şekil I1, I2, I3, I4'de gösterilmiştir. Kırmızı renk ile gösterilen spektrum, ölçüm düzeneği üzerinden ölçüm sonucu elde edilen mobilite spektrumunu, mavi renk ile gösterilen spektrum, modelden elde edilen mobilite spektrumunu logaritmik olarak göstermektedir. Bu spektrumların 0-1000 Hz frekans aralığında pek benzerlik göstermedikleri görülmektedir. Bunun nedeni, söz konusu frekans aralığında, ölçüm düzeneğinin sahip olduğu titreşim biçimleri modele dahil edilmemeleridir. Spektrumların 1-10 kHz frekans aralığında ise, davranış olarak benzer özellik

göstermektedir. Ölçüm düzeneğinin modal modelinin oluşturulmasında, yapının tek doğrultuda ve tek noktadan tahrik edilmesi sonucu elde edilen verilerin kullanıldığı göz ardı edilmemelidir. Eğer tahrik noktasının düğüm noktası olması durumunda, tahrik noktasının düğüm noktası olduğu titreşim biçimininlarındaki bilgi edinilemeyecektir. Ayrıca, ilgilenilen frekans aralığının çok geniş olmasından dolayı, yapının söz konusu frekans aralığında sahip olduğu tüm bilginin elde edilmesi pek de mümkün olmamaktadır. Bunun yanında, uygulamalı modal analiz kitaplarında verilen uygulamalara bakıldığında, ölçüm düzeneğinden elde edilen veri ile modelden elde edilen verilerin tam olarak benzemediği görülmektedir.

5.3.3. Ölçüm Düzeneğinde Sabit Bir Kuvvetin Tüm Serbestlik Derecelerine Uygulanması Durumunda Aktif ve Reaktif Titreşim Gücünün Frekansa Göre Değişimi

Bölüm.4.2'de ölçüm düzeneği üzerinde bir serbestlik derecesine ölçüm ile elde edilmiş kuvvet spektrumunun uygulanması sonucunda aktif ve reaktif titreşim gücü elde edilmekte idi. Bölüm.4.2'de tanımlanan ikinci yazılımın ilk adımı, Bölüm.4.2'de kullanılan ilk yazılım, ölçüm düzeneği üzerinde tanımlanmış her serbestlik derecesi için, raslantısal bir kuvvet sinyali kullanılarak tekrar edilmiştir. Frekans, 0-10 kHz frekans arasında 50Hz'lik artımlar yaparak değişmektedir. Böylece, ölçüm düzeneği üzerinde tanımlanmış 68 serbestlik derecesi için, her serbestlik derecesine aynı kuvvet sinyali uygulanması durumunda, aktif ve reaktif titreşim gücü değerlerinin frekansa göre değişimleri elde edilmiştir. Bu değerlerin anlamlı bir şekilde görüntülenebilmesi için, Modal Analiz yazılım programında 68 noktada tanımlanan ölçüm düzeneğinin geometrisinin iki doğrultudaki koordinatları iki vektör halinde yazılıma girilmiştir. Böylece, ölçüm düzeneğinin üzerinde tanımlanmış tüm noktalara aynı kuvvet spektrumunun (tüm frekans bandlarında aynı

genliği sahip) uygulanması durumunda, belirli bir frekansta yapıya girilecek aktif ve reaktif titreşim gücünün 68 farklı serbestlik derecesi için hangi değerleri alacağı tespit edilmiştir. Birinci doğal frekanstan önceki bir frekans (1000 Hz) değerinde, birinci doğal frekans bölgesinde (1250 Hz) ve birinci doğal frekanstan sonraki bir frekansta (1450 Hz), tüm serbestlik derecelerinden ölçüm düzeneğine girilecek aktif ve reaktif titreşim gücü değerleri elde edilmiş ve Ek.J'de görüntülenmiştir.

Ölçüm düzeneğine 68 noktadan girilen aktif titreşim gücü değerleri 1000 Hz, 1250 Hz, 1450 Hz frekansları için Şekil J1, J3, J5'de olduğu gibi elde edilmiştir. İlgilenilen tüm frekans aralığında (0-10 kHz frekans aralığında), ölçüm düzeneği üzerinde tanımlanan tüm noktalardaki aktif titreşim gücü değerlerine bakıldığından, aktif titreşim gücünden değerlerinin T-şeklindeki levhanın ön kısmında minimum, levhanın kuyruğuna doğru gittikçe artan ve kuyruğun ucunda maksimum olduğu bir görüntü elde edilmiştir. Bunun nedenin, ölçüm düzeneğine bakıldığından, T-şeklindeki levhanın kuyruk kısmının diğer bölgelere göre daha mobil, ön kısmın ise daha az mobil olduğu hissedilmekte ve görülmektedir. 1000, 1250, 1450 Hz frekanslarında kuvvetler ile tahrik edilmesi durumunda, reaktif titreşim gücü değerleri, Şekil J2, J4, J6'da gösterilmekte ve daha önce yapılan çalışmalardan da görüldüğü üzere 1250 Hz'den sonra işaret değiştirmektedir.

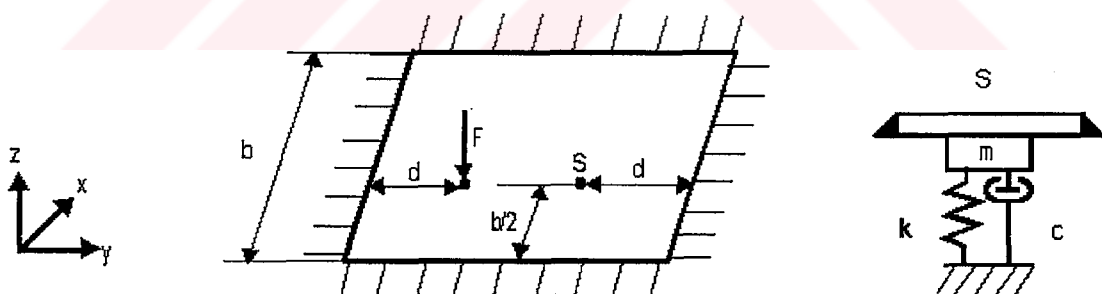
5.4. Yaylı Parametreli Modelin Uygulanması

Bu bölümde, Sonlu Elemanlar Yöntemi kullanılarak ölçüm düzeneği'nin yaylı parametreli bir modeli oluşturulacaktır. Öncelikle, Bölüm.4.3'de açıklanan yaylı parametreli modelin yazılımı, daha önceden yapılmış bir çalışma üzerine

sınanacak, daha sonra ölçüm düzeneği üzerine uygulanacak ve sonuçlar elde edilecektir.

5.4.1. Yaylı Parametreli Modelin Sınanması

Bölüm.4.3'de açıklanan, yapının içinde üç doğrultuda akan titreşim gücünü modelleyen yazılım Şekil.5.4'de gösterilen yapı üzerine uygulanmıştır [20]. Şekil.5.4'de görüldüğü üzere, dikdörtgen şeklinde çevresi boyunca ankastre olarak bağlanmış bir levha göz önüne alınmıştır. Levhanın üzerinde görüldüğü üzere, L noktasına kuvvet uygulanmış ve S noktasına da kütlesi, sönümlü özelleği, sertliği bulunan bir eleman yerleştirilmiştir. Geometrik, malzeme ve yapısal özelliklerini Şekil.5.4'de verilen dikdörtgen şeklindeki levha, Bölüm.4.3'de belirtildiği üzere sekiz düğüm noktalı 'continuum' elemanlar kullanılarak yazılım içerisinde oluşturulmuştur.



Şekil.5.4. Dikdörtgen Şeklinde Ankastre Sınır Şartlarında Levha.

Geometrik özellikler:

$$b = 1 \text{ m}, a = 1.5 \text{ m}, d = 0.4 \text{ m}, \text{kalınlık} = 3 \text{ mm}.$$

Malzeme özellikleri:

$$E = 210 \text{ GPa}, \nu = 0.3, \rho = 7800 \text{ kg/m}^3.$$

Yapısal özellikleri:

$$m = 2.5 \text{ kg}, k = 10 \text{ kN/m}, c = 15 \text{ Ns/m}.$$

Yükleme özellikleri:

$F = 1 \text{ N}$ 'luk genliği olan harmonik bir kuvvet uygulanmaktadır.

Yapının söz konusu levhanın belirtilen sınır şartlarında sahip olduğu birinci doğal frekans $\omega = 35 \text{ Hz}$ olarak belirlenmiştir. Levhanın birinci doğal frekansından önceki ve sonraki bir frekansta L noktasından $F = 1 \text{ N}$ 'luk kuvvetin uygulanması durumunda, aktif ve reaktif titreşim gücü dağılımı üç doğrultu içinde elde edilmiştir.

Yapının içinde, aktif ve reaktif titreşim gücünün dağılımının harmonik analiz sonucu elde edilmesinden dolayı, yapıya uygulanan kuvvetin belirli bir frekansta olması gerekmektedir. Yapıya uygulanan kuvvetin frekansının, yapının en küçük sönümsüz doğal frekansından daha küçük bir frekansta ve daha büyük bir frekansta olması durumunda, yapının sahip olduğu aktif ve reaktif titreşim gücünün dağılımları hesaplanmış ve Ek.K'da gösterilmiştir. Aktif titreşim dağılımına göz önüne alındığında, aktif titreşim gücünün kaynaktan (kuvvetin uygulandığı noktadan) sınırlara doğru aktığı görülmüştür. Dikdörtgen şeklindeki levhanın çevresi boyunca ankastre olmasından dolayı, bu bölgedeki titreşim gücünün akışı minimum olmaktadır. Aktif titreşim gücünün akarken izleyebileceğimiz diğer muhtemel bir yolda, dikdörtgen şeklindeki levhaya sonradan eklenen (S noktasındaki) elemandır.

Yapının sahip olduğu birinci sönümsüz doğal frekanstan önceki bir frekansta (30 Hz) tahrik edilmesi durumunda, elde edilen aktif titreşim gücünün dağılımının üç bölümde incelenmesi, sonuçların anlaşılması bakımından oldukça yararlı olmaktadır. Kuvvet'in uygulandığı noktanın (L noktası) sol kısmı, kuvvet'in uygulandığı nokta ile sonradan yerleştirilen elemanın (S noktasına) arasındaki bölüm ve S noktasının sağında kalan kısmı olarak düşünülebilir. Şekil K1'de gösterilen X doğrultusundaki aktif titreşim gücünün dağılımı, söz konusu üç bölüm

İN içi göz önüne alınması durumunda, kuvvetin uygulandığı noktanın solunda negatif, L noktası ile S noktası arasındaki bölümde pozitif, S noktasının sağında negatif olduğu görülmektedir. Şekil K2'de gösterilen Y doğrultusunda aktif titreşim gücünden dağılımı, kuvvet'in uygulandığı noktanın üst kısmında pozitif, alt kısmında negatif değer aldığı görülmektedir. Eleman'ın yerleştirildiği S noktasının üst kısmında pozitif değer aldığı görülmektedir. Yapının içerisindeki aktif titreşim gücünün X ve Y doğrultularındaki göz önüne alındığında, kuvvetin uygulandığı L noktasından S noktasına bir akışın olduğu anlaşılmaktadır. Yapının birinci doğal frekansından düşük bir frekansta (30 Hz) yapıya kuvvet uygulanması durumunda, Şekil K3'de gösterilen yapının içindeki reaktif titreşim gücünün X doğrultusundaki dağılımı, kuvvetin uygulandığı noktanın solunda negatif, sağında pozitif değer almaktadır. Eleman'ın yerleştirildiği S noktası belirli bir şekilde gözükmemektedir. Şekil K4'de gösterilen reaktif titreşim gücünden Y doğrultusundaki dağılımı göz önüne alındığında, kuvvetin uygulandığı noktanın üst kısmı pozitif, alt kısmı negatif değer almaktadır. Yapının içindeki reaktif titreşim gücünün X ve Y doğrultularındaki dağılımları beraber göz önüne alındığında, kuvvetin uygulandığı noktadan titreşim gücünden girişi olduğu açıkça gözüürken, S noktasındaki eleman açıkça gözükmektedir.

Yapının sahip olduğu sönümsüz birinci doğal frekanstan sonraki bir frekanstaki (40 Hz) bir kuvvet ile tahrik edilmesi durumunda, Şekil K5, K6'da gösterilen X ve Y doğrultusundaki aktif titreşim gücünden dağılımı birinci doğal frekanstan önceki bir frekansta (30 Hz) tahrik edilmesiyle benzer bir davranış göstermektedir. Kuvvet'in uygulandığı noktadan S noktasına yerleştirilmiş elemana doğru bir aktif titreşim gücü akışı olmaktadır. Söz konusu tahrik durumunda, Şekil K7'de gösterilen reaktif titreşim gücünün X doğrultusundaki dağılımı, kuvvetin uygulandığı noktanın solunda pozitif, L noktası ile S noktası arasındaki bölümde negatif, S noktasının sağında ise pozitif değer almaktadır. Şekil K8'de gösterilen Y doğrultusunda ise, S noktasının üst kısmında pozitif, alt kısmında negatif değer

almaktadır. L noktasının üst kısmında negatif, alt kısmında pozitif değer almaktadır. Reaktif titreşim gücünün X ve Y doğrultusundaki dağılımı göz önüne alındığında, S noktasından L noktasına doğru bir reaktif titreşim gücü akışı olduğu görülmektedir.

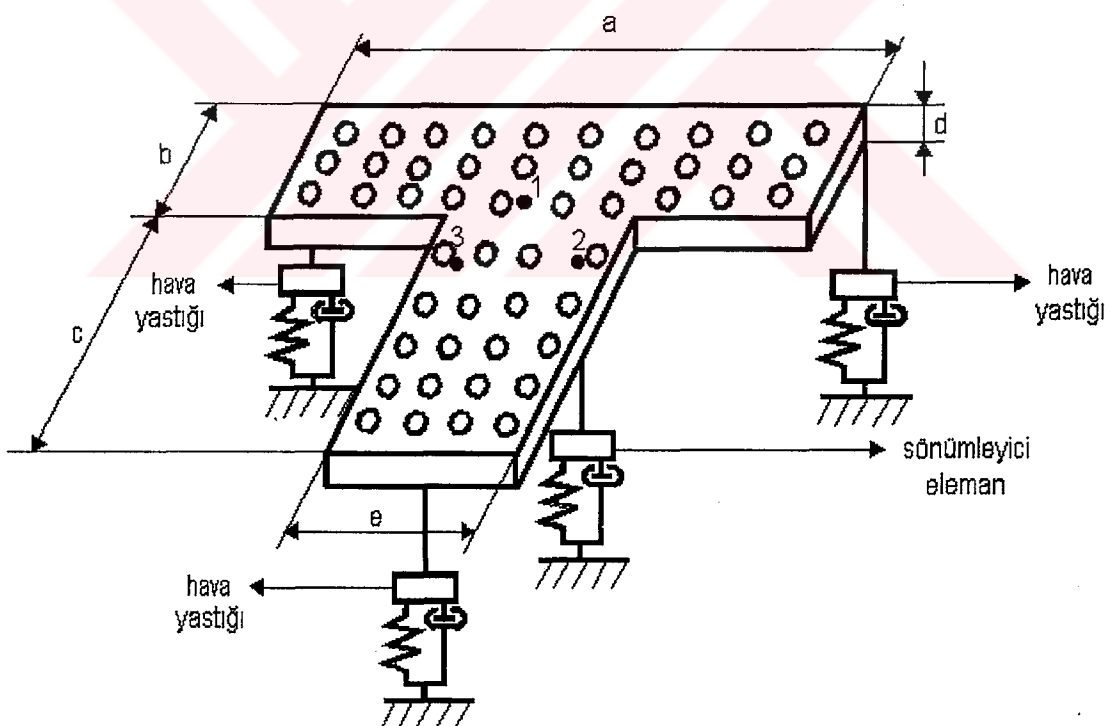
Yapının içerisinde, aktif titreşim gücü akışı tüm frekans aralığında kaynaktan yumulayıcı elemana doğru olurken, reaktif titreşim gücü akışı, birinci doğal frekanstan önceki frekans aralığında pozitif değer alırken, birinci doğal frekanstan sonraki frekans aralığında negatif değer almaktadır. Diğer bir deyişle, reaktif titreşim gücü dağılımında, yumulayıcı eleman birinci doğal frekanstan önceki bir frekansta tahrik edelmesi durumunda yumulayıcı görevi yaparken, birinci doğal frekanstan sonraki bir frekansta tahrik edelmesi durumunda, kaynak görevi yapmaktadır.

5.4.2. Yaylı Parametreli Modelin Ölçüm Düzenegi'ne Uygulanması

Bölüm.4.3'de açıklanan, yapının içinde üç doğrultuda akan titreşim gücünü modelleyen yazılım Şekil.5.5'de gösterilen ölçüm düzenegi üzerine uygulanmıştır. Ölçüm düzenegi, üç hava yastığının üzerine yerleştirilmiş T-şeklindeki levha ve levhanın ortasına yerleştirilmiş bir sönüüm elemanından oluşmaktadır. Hava yastıklarını ve sönüüm elemanını tek serbestlik dereceli sistem olarak kabul edilmiş, yapısal özellikleri Bölüm.3'de yapılan deneysel çalışmalar sonucu elde edilmiş ve yazılıma girilmiştir. T- şeklindeki levha'nın geometrisi, malzeme özellikleri olarak, Bölüm.3.3'de T-şeklindeki levhanın titreşim biçimlerinin elde edilmesinde kullanılan özellikler yazılıma girilmiştir. Diğer bir deyişle, levhanın titreşim biçimlerinin belirlendiği paket programdan titreşim gücünün elde edildiği paket programa transfer edilmiştir. Ayrıca, T-şeklindeki levhanın kayıp faktörünün belirlenmesi için, Bölüm.3.4'de yapılan çalışmalar sonucunda, birinci titreşim

modunda yapının sahip olduğu kayıp faktörünün ortalama değeri olarak $\eta = 0.003$ yazılıma girilmiştir. T-şeklindeki levha'nın geometrisi, Bölüm.4.3'de belirtildiği üzere, sekiz düğüm noktalı sürekli ortam elemanı kullanılarak hazırlanmıştır.

Ölçüm düzeneğinin üzerinde motorun ağırlığını simule etmek için Şekil.5.5'de gösterilen noktaların her birine motorun kütlesinin üçte biri yerleştirilmiştir. Motor'un kütlesi 6.6 kg olarak belirlenmiştir. Söz konusu üç noktada motor ile ölçüm düzeneğinin temasta olduğu düşünülmektedir. Bu üç noktada, motordan ölçüm düzeneğine geçecek kuvvetin simule edilmesi amacıyla, ölçüm düzeneğine dik doğrultuda ölçüm düzeneğinin sahip olduğu birinci doğal frekans bölgesi civarında bir frekansta kuvvet uygulanmış ve z (ölçüm düzeneğine dik) doğrultusunda elde edilen aktif titreşim gücü dağılımı Ek.L'de gösterilmiştir.



Şekil.5.5. Ölçüm Düzeneğinin Sonlu Elemanlar Ortamındaki Modeli.

Sonlu Elemanlar ortamında modeli elde edilen ölçüm düzeneğinin sınır şartları, hava yastıklarının ve sönüm elemanın alttan üç doğrultuda hareketsiz

noktalara bağlılığı düşünülmektedir. Şekil.L1'de gösterildiği üzere, yukarıda bahsedilen tahrik durumunda, kuvvetin uygulandığı noktaya en yakın sınırdan (sönüüm elemanın bulunduğu nokta) daha fazla, hava yastıklarının bulunduğu sınırlardan daha az aktif titreşim gücü akışı olduğu görülmektedir. Ölçüm düzeneği'nin Sonlu Elemanlar modelinin sınır şartlarının, gerçek sınır şartlarını tam olarak sağlamadığı ve titreşim gücünden dağılıminin yapının sahip olduğu sınır şartlarına bağlı olarak değiştiği göz ardi edilmemelidir.

SONUÇLAR VE ÖNERİLER

Yapı üzerinde bir noktadan yapıya girilen titreşim gücü, yapısal özelliklere, sınır şartlarına, uygulanan kuvvetin genliğine, frekansına ve faz farkına bağlı olarak değişmektedir, [20]. Diğer bir deyişle, yapıya bir noktadan girilen titreşim gücünü spektrumu, o yapının yapısal özellikleri tarafından belirlenen, yine o yapının direkt mobilite spektrumu (tahriğin uygulandığı ve cevabın alındığı noktaların aynı olması durumunda elde edilen mobilite spektrumu) ile orantılıdır, [8] . Herhangi bir noktanın direkt mobilite (genlik) spektrumunda tepe değerlerinin olduğu frekanslar (doğal frekanslar), kuvvet ile hız sinyallerinin arasındaki faz açısının sıfır olduğu frekanslardır, [9]. Bu frekanslarda yapıya girilen aktif titreşim gücü maksimum, reaktif titreşim gücü ise minimum olmaktadır. Titreşim gücünün girileceği yapının yapısal özelliklerinde, dolayısıyla mobilite (genlik) spektrumunda değişiklik yapılması durumunda, söz konusu yapıya iletilerek titreşim gücünü değiştirektir. Eğer göz önüne alınan yapının kütle ve sertlik değerleri değiştirilirse, aynı yapının direkt mobilite spektrumunda bulunan tepe değerlerinin ortaya çıktığı frekans değerleri (doğal frekansları) değişecektir. Eğer söz konusu noktanın sonum değeri değiştirilirse, mobilite (genlik) spektrumundaki tepe değerlerinin genliği değişecektir [8].

Yapının bir noktasından ve bir doğrultuda girilen aktif titreşim gücünü ölçülerek elde edilen sinyal kalite kontrol amaçlı kullanılmak isteniyorsa, ölçümün yapıldığı yapının yapısal özellikleri, elde edilen sinyali oldukça etkileyecektir. Eğer yapısal özelliklerin sinyali minimal düzeyde etkilemesi isteniyorsa, yapının ölçüm yapılan noktasında sahip olduğu direkt mobilite (genlik) spektrumunun tepe

değerlerinin, ölçüm yapılması düşünülen frekans aralığının dışında bulunması gerekmektedir. Bu frekans aralığında mobilite (genlik) spektrumundan da görüleceği üzere, hız sinyalinin dinamik büyülüğünün kuvvet sinyalinin dinamik büyülüğünün yanında çok küçük olmasından dolayı, hız sinyalinin aktif titreşim gücü sinyaline pek bir katkısı olmayacağıdır. Eğer mobilite (genlik) spektrumunda tepe gözüken frekanslar (doğal frekanslar) ile muhtemelen yapının tahrik edileceği frekanslar çakıştırılabilirse, yapı üzerinde söz konusu noktadan tahrik frekanslarında akan aktif titreşim gücü maksimum, reaktif titreşim gücü minimum olacaktır. Kalite kontrol ölçüm düzeneğinde tahrik frekanslarının değiştirilemeyeceğinden dolayı, ölçüm yapılacak yapının (ölçüm düzeneği) yapısal özellikleri değiştirilerek mobilite (genlik) spektrumu istenildiği şekilde tasarlanması gerekmektedir. Bu işlem oldukça güç olabilir.

Mevcut ölçüm düzeneği, kabaca T şeklinde dört noktasından bağlanmış bir levha olarak düşünülmektedir. Muhtemelen ölçüm düzeneği üzerine koyulan çamaşır makinası elektrik motorundan geçen titreşim gücü, dört bağlantı noktasını izleyecektir. Levhanın ortasında bulunan, altına sönmeyici ve titreşim gücünü algılayıcı yerleştirilmiş bir noktadan tek doğrultuda gelecek aktif titreşim gücünün maksimum, ayrıca diğer üç noktadan geçen aktif titreşim gücünün minimum olması istenmektedir. O halde aktif titreşim gücünün maksimum iletilmesi istenen noktanın mobilite (genlik) spektrumunun tepe değerlerinin ölçüm aralığında kalması diğer üç noktada ise, bunun tam tersi mobilite (genlik) spektrumunun tepe değerlerinin ölçüm aralığının dışında kalması gerekmektedir. Aktif titreşim gücünün minimum iletilmesi istenen üç noktanın sınır şartları, ilgenilen frekans aralığının dışına kadar ankastre şartını sağlaması, diğer bir deyle bu noktaların mobilite (genlik) spektrumundaki tepe değerleri yüksek frekanslara çekilerek ölçüm aralığının dışına çıkarılması ile, söz konusu noktalardan iletilecek aktif titreşim gücü minimum olacaktır. Aktif titreşim gücünü maksimum iletilmesi istenilen noktada bulunan

sönüm değeri yüksek sönümleyici yerine, sönüm değeri düşük bir cisim yerleştirilebilir. Böylece bu noktanın direkt mobilite (genlik) spektrumunun tepe değerlerininin ölçüm aralığının içinde bulunması ve sönümün az olması nedeniyle doğal frekanslarda yapışan aktif titreşim gücü maksimum olacaktır.

Yukarıda yapılan çıkışmalar göz önüne alınarak mevcut ölçüm düzeneği iyileştirilebilir, yada yeni bir ölçüm düzeneği iki farklı yaklaşımla tasarlanabilir. İlk yaklaşımında, doğal frekansları ölçüm aralığının dışında kalan bir ölçüm düzeneği hazırlanabilir. İkinci yaklaşımında, ölçüm yapılacak noktanın direkt mobilite (genlik) spektrumunun doğal frekanslarının ölçüm aralığının içinde, diğer temas noktalarının ise, mobilite (genlik) spektrumunun doğal frekanslarının ölçüm aralığının dışında olmasını sağlayacak bir ölçüm düzeneği hazırlanabilir. İdeal olarak, ölçüm noktasındaki direkt mobilite (genlik) spektrumunun tepe değerlerinin olduğu frekansların, muhtemel tahrik frekansları ile çakışması gerekmektedir. Bunun anlamı, belirli bir noktada istenen mobilite (genlik) spektrumunun tasarlanabilir olmasıdır. Ayrıca, tek noktadan ölçüm yapılması durumunda muhtemelen ölçüm noktasının düğüm noktası olacağı frekans bandındaki bilginin kaybedilmemesi için, üç noktada ve üç doğrultuda ölçüm yapılmasında yarar vardır. Bu çalışmada elde edilen bilgiler, değişik bakış açılarıyla göz önüne alındığında, titreşim kontrolü ve titreşimsiz makina tasarımında yararlı olabilecek bir çok çıkışmaya imkan verecektir.

KAYNAKLAR:

- [1] COOK, R. D., MALKUS, D. S., PLESHA, M. E., 'Concept and Applications of Finite Element Analysis' (3rd Edition), pp.56-62, John Wiley and Sons, New York, NY, USA, (1989).
- [2] LYON, R.L., 'Statistical Energy Analysis of Dynamic Systems', The MIT Press Cambridge, pp.20-27, MA, USA, (1975).
- [3] HAMBRIC, S. A., 'Power Flow and Mechanical Intensity Calculations in Structural Finite Element Analysis', ASME Journal of Vibration and Acoustics, Vol.112, pp 542-549, (1990).
- [4] SPENCER, A. J. M., 'Continuum Mechanics', Longman Inc, pp.150-161, New York, NY, USA, (1980).
- [5] NEFSKE, D. J., SUNG, S.H., 'Power Flow Finite Element Analysis of Dynamic Systems : Basic Theory and Application to Beams', ASME Journal of Vibration, Acoustic, Stress and Reliability in Design, Vol.111, pp 94-100, (1989).
- [6] BOUTHIER, O., BERNHARD, R., WOHLEVER, C., 1990, 'Energy and Structural Intensity Formulations of Beam and Plate Vibrations', Proceeding of the 3-rd International Congress on Intensity Techniques, Centre Techniques des Industries Mecaniques, Senlis, France, (1990).
- [7] GAVRIC, L., CARNIEL, X., PAVIC, G., 'Structure Borne Intensity Fields in Plates, Beams and Plate-Beam Assemblies', Proceedings of the 3-rd International Congress on Intensity Techniques, Centre Techniques des Industries Mecaniques, Senlis, France, (1990).
- [8] ALFREDSON, K. S., 1993, 'Active and Reactive Mechanical Energy Flow Intensities in Solid Structures in Stationary Harmonic Vibration', Division of Solid Mechanics, Chalmers University of Technology, s-412, Göteborg, Sweden.
- [9] EWINS, D. J., 'Modal Testing Theory and Practice', Research Studies Press Ltd. Taunton, Somerset, England, pp.21-69, reprinted (1994).

- [10] DOSSING, O., 'Measurement of Operational Deflection Shapes', (Application Note), Brüel&Kjaer, Denmark, (1994)
- [11] PC-ODS, User's Manual, VEC., (1991).
- [12] LMS CADA-PC, User's Manual, Interleuvenlaan 68 3001 Leuven Belgium, (1992).
- [13] BAYRAKTAR, F., DURAKBAŞA, T., BELEK, H. T., GATZWILLER, K., FOG, C. L., 'An Initial Study on The Prediction of Energy Flow Characteristics of A QC Test Set-up for Electrical Motors Using Experimental Modal Analysis', IMAC-XIV (International Modal Analysis Conference), Dearborn, MI, USA, (1996).
- [14] I-DEAS, User's Manual, SDRC Ltd, (1994).
- [15] GADE, S., ZAVERI, K., HERLUFSEN, H., 'Complex Modulus and Damping Measurements Using Resonant and Non-Resonant Methods', Technical Review No.2, Brüel&Kjaer, Denmark, (1994).
- [16] GADE, S., HERLUFSEN, H., 'The Use of Impulse Response Function for Modal Parameter Estimation', Technical Review No.2, Brüel&Kjaer, Denmark, (1994).
- [17] GADE, S., 'Damping Measurements on The Absorber (5937)', Report, Brüel&Kjaer, Denmark, (1994).
- [18] Mat-lab, User's Manual, The Math Works Inc, (1992)
- [19] MARC, User's Manual, (1994).
- [20] ALFREDSON, K. S., 'Influence of Local Damping on Active and Reactive Mechanical Power Flow', 4th International Congress on Intensity Techniques, Senlis, France, (1994).

ÇALIŞMADA KULLANILAN YAZILIMLAR

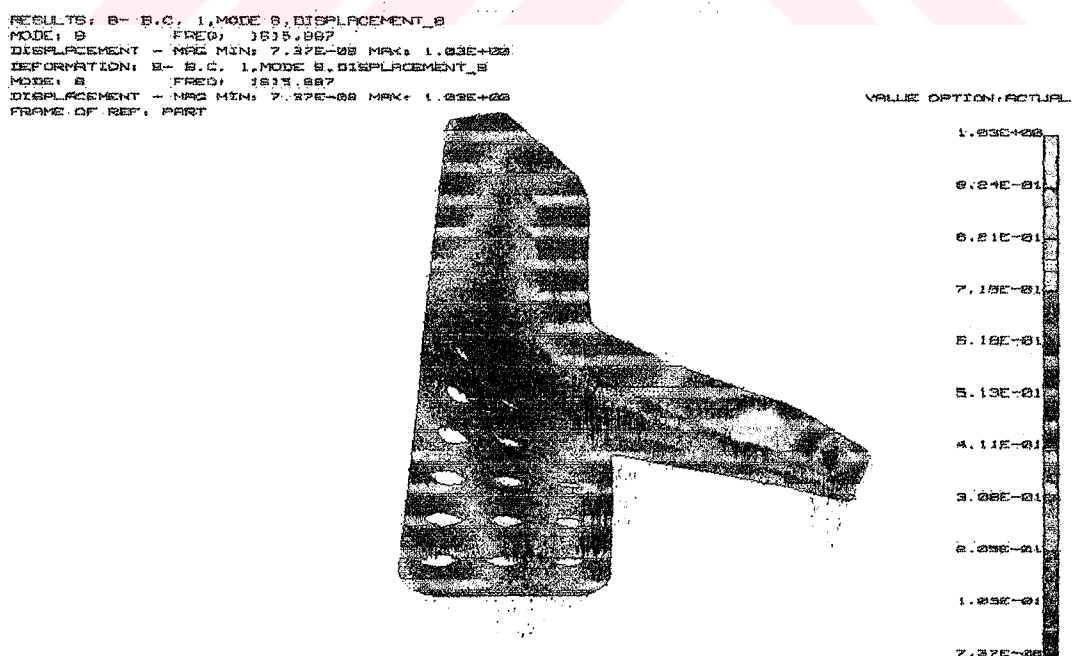
- PC-ODS, Ölçüm düzeneği üzerinde işletme koşullarında titreşimlerin canlandırılması çalışmasının yapılmasında kullanılmıştır.
- LMS CADA-PC, Modal Analiz çalışmasının yapılabilmesi için, kullanılmıştır.
- MAT-LAB, Matris işlemlerinin yapılabilmesi için kullanılmıştır.
- EXCEL, Modal Analiz yazılım ortamından alınan matrislerin, matris işlemlerinin yapılacak yazılım ortamına uygun bir şekilde girilmesi için kullanılmıştır.
- I-DEAS, T şeklindeki levhanın titreşim biçimlerinin bulunmasında kullanılmıştır.
- MARC, Ölçüm düzeneğinin yayılı parametreli modelinin kurulmasında kullanılmıştır.

EKLER

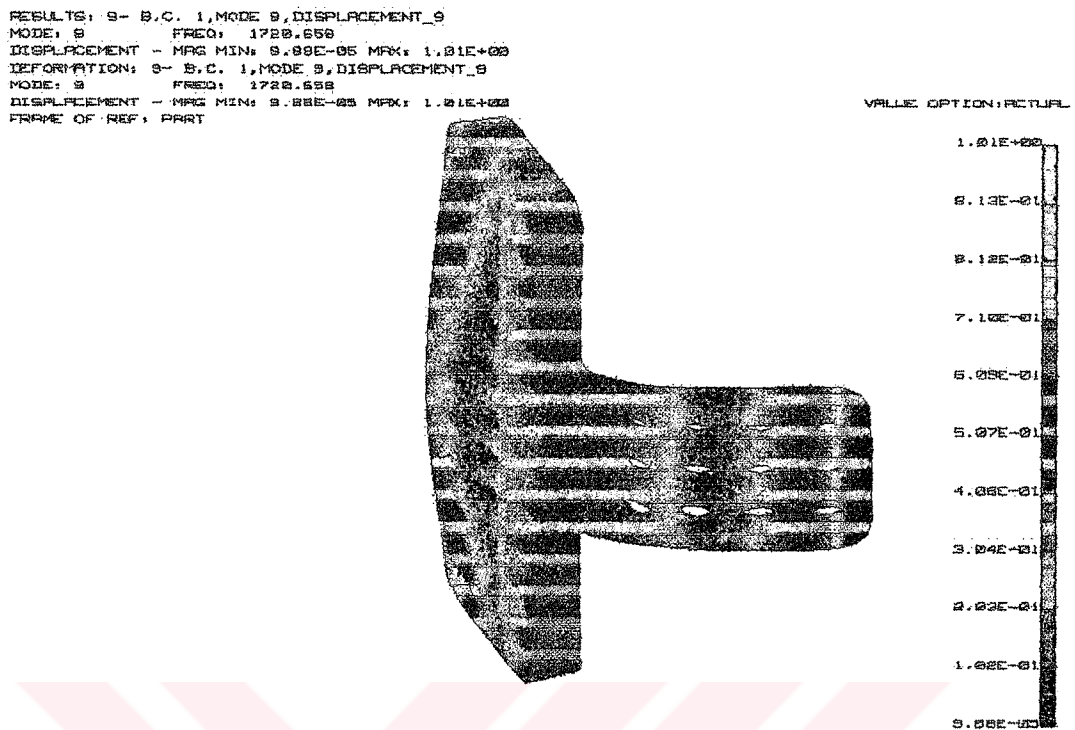
Ek.A. Sonlu Elemanlar Yazılımından Elde Edilen T-Şeklindeki Levhanın Titreşim Biçimleri.



Şekil.A1. T Şeklindeki Levhanın Birinci Titreşim Biçimi.



Şekil.A2. T Şeklindeki Levhanın İkinci Titreşim Biçimi.

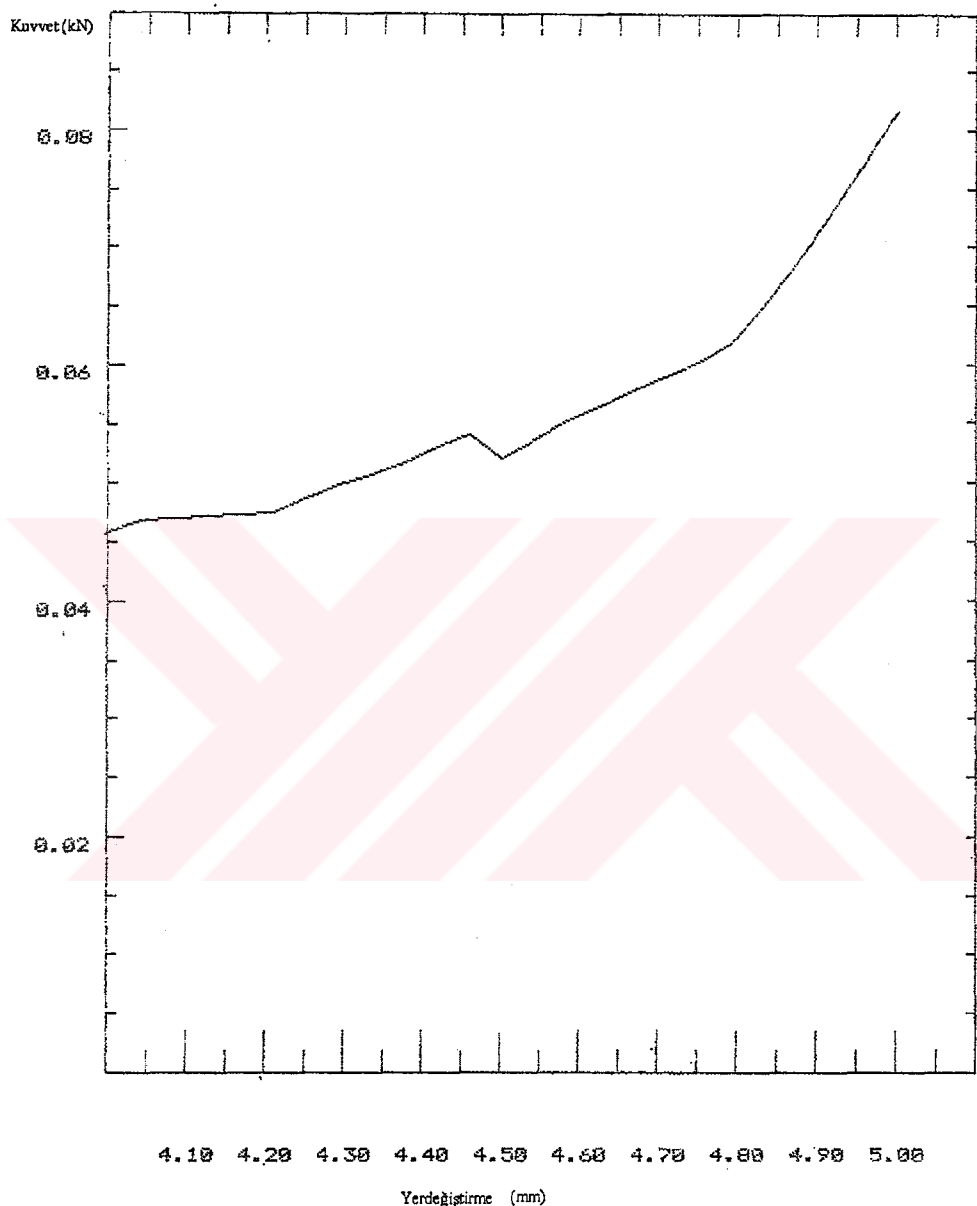


Şekil.A3. T Şeklindeki Levhanın Üçüncü Titreşim Biçimi.



Şekil.A4. T Şeklindeki Levhanın Dördüncü Titreşim Biçimi.

Ek.B. Sönüüm Elemanın Statik Sertliğinin Elde Edilmesinde Kullanılan Grafik.



Şekil.B1. Sönüümleyicinin Statik Sertliğinin Bulunmasında Kullanılan Kuvvet Yerdeğiştirme Grafiği.

Ek.C. Toplu Parametreli Modelin Yazılımı.

İki Serbestlik Dereceli Bir Sistem Üzerine Uygulanan Yazılım;

```
function [apower,rpower]=modal(ss,t);
```

%İki Serbestlik Dereceli Bir Sistemin Verileri.

% ss,kuvvetin uygulandığı serbestlik derecesi,

% t ,tepkinin alındığı serbestlik derecesi,

```
f=[1;0];
```

% f ,Yapıya uygulanan kuvvet vektörü,

```
m1=1;
```

```
m2=2;
```

```
k1=1;
```

```
k3=3;
```

```
k2=2;
```

```
c1=0.1;
```

```
c2=0.2;
```

```
c3=0.3;
```

%Spatial Modelin Kurulması.

%Kütle, Sertlik ve Sönüüm Matrislerinin Oluşturulması.

```
m=[m1 0;0 m2];
```

```
k=[k1+k2 -k2;-k2 k2+k3];
```

```
c=[c1+c2 -c2;-c2 c3+c2];
```

%Doğal Frekansların Belirlenmesi.

```
w=0:0.001:3;
```

```
temp=1;
```

```
j=1;
```

```
for i=1:3000,
```

```

dd=k-w(i)^2*m;
d=det(dd);
fact=temp*d;
if(fact<0),
s(j)=w(i)^2;
j=j+1;
end,
temp=d;
end,
%Modal Matrisin Belirlenmesi.

d1=k-(s(1)*m);
[v1,d1]=eig(d1);
d2=k-(s(2)*m);
[v2,d2]=eig(d2);
u=[v1(:,1) v2(:,1)];

%Modal Sertlik,Sönüm ve Kütle Matrislerinin Oluşturulması.

kr=u'*k*u;
cr=u'*c*u;
mr=u'*m*u;
ww=0:0.005:3;
for i=1:601,
%Modal Model'in Kurulması.

alfa=sqrt(-1)*ww(i)*(u*inv(kr-ww(i)^2*mr+sqrt(-1)*cr*ww(i))*u');

%Modal Model'in Gerçek,Sanal, Genlik ve Faz Açısı Matrislerinin
%Belirlenmesi.

real=real(alfa);
imag=imag(alfa);

```

```

magg=sqrt(real1^2+imag1^2);
phasee=(180/pi)*atan(imagg/reall);

%Yapıya Bir Noktadan ve Bir Doğrultuda Girilen Aktif ve Reaktif
%Güçün Belirlenmesi.

apower(i)=(1/2)*f*real1*f;
rpower(i)=(1/2)*f*imag1*f;

%Bir Nokta'nın Gerçek, Sanal, Genlik ve Faz Açısı Değerlerinin
%Belirlenmesi.

rreal(i)=real(alfa(ss,t));
iimag(i)=imag(alfa(ss,t));
mmag(i)=sqrt(rreal(i)^2+iimag(i)^2);
pphase(i)=(180/pi)*atan(iimag(i)/rreal(i));

end,
%Elde Edilen Sonuçların Görüntülenmesi.

figure(1)
subplot(121)
plot(ww,apower,'r')
title('AKTİF GÜÇ');
xlabel('Frekans w (rad/s)');
ylabel('Aktif Güç (W)');
hold on

subplot(122)
plot(ww,rpower,'r')
title('REAKTİF GÜÇ');
xlabel('Frekans w (rad/s)');
ylabel('Reaktif Güç (W)');
hold on

```

```
figure(2)
subplot(121)
plot(ww,mmag,'r');
title('Frekans Cevap Fonksiyonu');
xlabel('Frekans w (rad/s)');
ylabel('Mobilite Genlik (m/Ns)');
hold on
subplot(122)
plot(ww,pphase,'r');
title('Frekans Cevap Fonksiyonu');
xlabel('Frekans w (rad/s)');
ylabel('Mobilite Faz Açısı (Derece)');
hold on
figure(3)
subplot(121)
plot(ww,rreal,'r');
title('Frekans Cevap Fonksiyonu');
xlabel('Frekans w (rad/s)');
ylabel('Mobilite Gerçel (m/Ns)');
hold on
subplot(122)
plot(ww,iimag,'r');
title('Frekans Cevap Fonksiyonu');
xlabel('Frekans w (rad/s)');
ylabel('Mobilite Sanal (m/Ns)');
hold on
```

Ölçüm Düzeneğine Uygulanan Yazılım;

```
function [apower,rpower]=mod(freq,force);
```

```
%[apower,rpower]=mod(freq,force);
```

% f ,Yapıya uygulanan kuvvet vektörü,

```
f=zeros(2,1);
```

% ss,kuvvetin uygulandığı serbestlik derecesi,

% t ,tepkinin alındığı serbestlik derecesi,

```
ss=1;
```

```
t=1;
```

%İki Serbestlik Dereceli Ölçüm Düzeneğinin Verileri.

```
m1=0.515;
```

```
m2=0.08;
```

```
k1=54000;
```

```
k3=100000;
```

```
k2=23300000;
```

```
c1=48;
```

```
c2=3450;
```

```
c3=600;
```

%Spatial Modelin Kurulması.

%Kütle, Sertlik ve Sönum Matrislerinin Oluşturulması.

```
m=[m1 0;0 m2];
```

```
k=[k1+k2 -k2;-k2 k2+k3];
```

```
c=[c1+c2 -c2;-c2 c3+c2];
```

%Doğal Frekansların Belirlenmesi.

```
w=0:5:20000;
```

```
temp=1;
```

```
j=1;
```

```

for i=1:4000,
    dd=k-w(i)^2*m;
    d=det(dd);
    fact=temp*d;
    if(fact<0),
        s(j)=w(i)^2;
        j=j+1;
    end,
    temp=d;
end,

```

%Modal Matrisin Belirlenmesi.

```

d1=k-(s(1)*m);
[v1,d1]=eig(d1);
d2=k-(s(2)*m);
[v2,d2]=eig(d2);
u=[v1(:,1) v2(:,1)];

```

%Modal Sertlik,Sönüm ve Kütle Matrislerinin Oluşturulması.

```

kr=u'*k*u;
cr=u'*c*u;
mr=u'*m*u;

```

for i=1:626,

```

ww(i)=freq(i)*2*pi;
f(ss)=force(i);

```

%Modal Model'in Kurulması.

```

alfa=sqrt(-1)*ww(i)*(u*inv(kr-ww(i)^2*mr+sqrt(-1)*cr*ww(i))*u');

```

%Modal Model'in Gerçek,Sanal, Genlik ve Faz açısı Matrislerinin

%Belirlenmesi.

```

realI=real(alfa);
imagI=imag(alfa);
magI=sqrt(realI^2+imagI^2);
phaseI=(180/pi)*atan(imagI/realI);

%Yapıya Bir Noktadan ve Bir Doğrultuda Girilen Aktif ve Reaktif
%Güçün Belirlenmesi.

apowerI=(1/2)*f*realI*f;
rpowerI=(1/2)*f*imagI*f;

end,
%Elde Edilen Sonuçların Görüntülenmesi.

figure(1)
plot(freq,apower,'r')
title('AKTİF GÜÇ');
xlabel('Frekans f (Hz)');
ylabel('Aktif Güç (W)');
hold on

figure(2)
plot(freq,rpower,'r')
title('REAKTİF GÜÇ');
xlabel('Frekans f (Hz)');
ylabel('Reaktif Güç (W)');
hold on

```

Ek.D. Modal Modelin Yazılımı.

Modal Analiz yazılım ortamından karakter olarak alınan modal matris, kütle, sönüm ve sertlik vektörleri öncelikle temsil ettikleri sayısal değerlere dönüştürmek ve uygun bir forma getirilmek amacıyla aşağıda verilen makroya girilmektedir. Aşağıda belirtilen makrodan elde edilen matris ve vektörler matris işlemlerinin yapılabildiği bir yazılım ortamına girilicektir.

faruk

```
=RESULT(2)
=ARGUMENT("t",2)
=IF(ISBLANK(t)=TRUE)
=RETURN(t)

=ELSE()
=IF(REPLACE(t,1,LEN(t)-1,"")="m")
tnew=REPLACE(t,LEN(t),1,"e-03")
=ELSE()

=IF(REPLACE(t,1,LEN(t)-1,"")="u")
tnew=REPLACE(t,LEN(t),1,"e-06")
=ELSE()

=IF(REPLACE(t,1,LEN(t)-1,"")="n")
tnew=REPLACE(t,LEN(t),1,"e-09")
=ELSE()

=IF(REPLACE(t,1,LEN(t)-1,"")="p")
tnew=REPLACE(t,LEN(t),1,"e-12")
=ELSE()

=IF(REPLACE(t,1,LEN(t)-1,"")="k")
tnew=REPLACE(t,LEN(t),1,"e+03")
=ELSE()

=IF(REPLACE(t,1,LEN(t)-1,"")="a")
tnew=REPLACE(t,LEN(t),1,"e+06")
=ELSE()

tnew=t
=END.IF()
=END.IF()
```

```
=END.IF()  
=END.IF()  
=END.IF()  
=END.IF()  
=RETURN(tnew)  
  
=END.IF()
```

Modele Tek Bir Noktadan Kuvvet Uygulanması Durumunda Yapıya Girilecek Aktif ve Reaktif Titreşim Gücü Değerlerinin Elde Edilmesi İçin Hazırlanan Yazılım;

```

function [apower,rpower,iimag,rreal,mmag,pphase]
=deneme(u,c,m,k,f,ss,t,freq,force)

%[apower,rpower,iimag,rreal,mmag,pphase] =deneme(u,c,m,k,f,ss,t,freq,force)

%u, Modal Analiz Yazılımından elde edilen modal matris,
%c, Modal Analiz Yazılımından elde edilen sönüüm vektörü,
%m, Modal Analiz Yazılımından elde edilen kütle vektörü,
%k, Modal Analiz Yazılımından elde edilen sertlik vektörü,
%ss, kuvvetin uygulandığı nokta,
%t, cevabın alındığı noktası,
%freq, hangi frekanslarda dataların göz önüne alındığını gösteren vektör,
%force, yapıya bir noktadan girilen kuvvet spektrumu

%Modal Sönüüm,Sertlik ve Kütle Matrislerinin Oluşturulması.

    cr=diag(c);
    kr=diag(k);
    mr=diag(m);

%Yapıya Bir Noktadan ve Bir Doğrultuda Girilen Aktif ve Reaktif
%Gücün Belirlenmesi.

    for i=1:626,
        w(i)=2*pi*freq(i);
        f(ss)=force(i);

%Modal Model'in Kurulması.

        alfa=sqrt(-1)*w(i)*(u*inv(kr-w(i)^2*mr+sqrt(-1)*cr*w(i))*u');

%Modal Model'in Gerçek,Sanal, Genlik ve Faz açısı Matrislerinin
%Belirlenmesi.

```

```

real=real(alfa);
imagg=imag(alfa);
magg=sqrt(real^2+imagg^2);
phasee=(180/pi)*atan(imagg/real);

%Yapıya Bir Noktadan ve Bir Doğrultuda Girilen Aktif ve Reaktif
%Güçün Belirlenmesi.

apower(i)=(1/2)*f*real*f;
rpower(i)=(1/2)*f*imagg*f;

%Modal Model'in Gerçel, Sanal, Genlik ve Faz açısı Değerlerinin
%Belirlenmesi.

rreal(i)=real(alfa(ss,t));
iimag(i)=imag(alfa(ss,t));
mmag(i)=sqrt(rreal(i)^2+iimag(i)^2);
pphase(i)=(180/pi)*atan(iimag(i)/rreal(i)); end,
%Elde Edilen Sonuçların Görüntülenmesi.

figure(1)
plot(ff,apower,'r')
title('AKTİF GÜÇ');
xlabel('Frekans f (Hz)');
ylabel('Aktif Güç (W)');
hold on

figure(2)
plot(ff,rpower,'r')
title('REAKTİF GÜÇ');
xlabel('Frekans f (Hz)');
ylabel('Reaktif Güç (W)');
hold on

```

```
figure(3)
plot(ff,mmag,'b');
title('Frekans Cevap Fonksiyonu');
xlabel('Frekans f (Hz)');
ylabel('Mobilite Genlik (m/Ns)');
hold on

figure(4)
plot(ff,pphase,'b');
title('Frekans Cevap Fonksiyonu');
xlabel('Frekans f (Hz)');
ylabel('Mobilite Faz Açısı(Derece)');
hold on

figure(5)
plot(ff,rreal,'b');
title('Frekans Cevap Fonksiyonu');
xlabel('Frekans f (Hz)');
ylabel('Mobilite Gerçel (m/Ns)');
hold on

figure(6)
plot(ff,iimag,'b');
title('Frekans Cevap Fonksiyonu');
xlabel('Frekans f (Hz)');
ylabel('Mobilite Sanal (m/Ns)');
hold on
```

Yapının Tüm Serbestlik Derecelerine Birim Kuvvet Uygulanması Durumunda Aktif ve Reaktif Titreşim Gücü Değerlerinin Elde Edilmesi İçin Hazırlanan Yazılım;

```

function [a,r]=deny(u,c,m,k)
%[a,r]=deny(u,c,m,k)

%u, Modal Analiz Yazılımından elde edilen modal matris,
%c, Modal Analiz Yazılımından elde edilen sönüüm vektörü,
%m, Modal Analiz Yazılımından elde edilen kütle vektörü,
%k, Modal Analiz Yazılımından elde edilen sertlik vektörü,
%ss, kuvvetin uygulandığı nokta,
%t, cevabin alındığı noktası,
%freq, hangi frekanslarda dataların göz önüne alındığını gösteren vektör,
%Kuvvet Sinyalinin ve vektörünün Oluşturulması.

f=zeros(68,1);
force=ones(200);

%Modal Sönüüm, Sertlik ve Kütle Matrislerinin Oluşturulması.

cr=diag(c);
kr=diag(k);
mr=diag(m);

%Yapıya Bir Noktadan ve Bir Doğrultuda Girilen Aktif ve Reaktif
%Gücün Belirlenmesi.

freq=0:50:10000;
for j=1:68
    for i=1:201
        w(i)=2*pi*freq(i);
        f(j)=force(i);
    end
end
%Modal Model'in Kurulması.

```

```

alfa=sqrt(-1)*ww(i)*(u*inv(kr-ww(i)^2*mr+sqrt(-1)*cr*ww(i))*u');

%Modal Model'in Gerçel,Sanal, Genlik ve Faz açısı Matrislerinin
%Belirlenmesi.

real1=real(alfa);
imagg=imag(alfa);
magg=sqrt(real1^2+imagg^2);
phasee=(180/pi)*atan(imagg/real1);

%Yapıya Bir Noktadan ve Bir Doğrultuda Girilen Aktif ve Reaktif
% Gücün Belirlenmesi.

apower(i)=(1/2)*f*real1*f;
rpower(i)=(1/2)*f*imagg*f;

%Yapının üzerinde her serbestlik derecesine tüm frekans bandlarında
%sabit genlige sahip bir kuvvetin uygulanması durumunda o noktalardan
%yapıya girilecek aktif ve reaktif titreşim gücü matrislerinin elde
%edilmesi.

a(i,j)=apower(i);
r(i,j)=rpower(i);

end,
end,

```

Yapının Tüm Serbestlik Derecelerine Sabit Bir Kuvvet Uygulanması Durumunda
Elde Edilen Aktif ve Reaktif Titreşim Gücü Değerlerinin Geometriye Göre
Gösterimi İçin Oluşturulan Yazılım;

```
function dem(x,y,a,r,freq)
%dem(x,y,a,r,freq)
%x geometrinin x koordinat vektörü,
%y geometrinin y koordinat vektörü,
%a aktif güç matrisi,(satır frekans, sütun nokta sayısı)
%r reaktif güç matrisi,(satır frekans, sütun nokta sayısı)
%freq güç dağılımı çizilmesi istenen frekans
f=(freq/50)+1;
figure(1)
stem1(x,y,a(f,:),'r');
set(gca,'xlim',[0 0.2]);
set(gca,'ylim',[0 0.25]);
title('Aktif Güç Dağılımı');
xlabel('x-ekseni (m)');
ylabel('y-eksine (m)');
zlabel('Aktif Güç (W)');
hold
figure(2)
stem1(x,y,r(f,:),'r');
set(gca,'xlim',[0 0.2]);
set(gca,'ylim',[0 0.25]);
title('Reaktif Güç Dağılımı');
xlabel('x-ekseni (m)');
```

```
ylabel('y-eksine (m)');
```

```
zlabel('Reaktif Güç (W)');
```

```
hold
```

Sonuçların Üç Boyutlu Gösterimi İçin Kullanılan Yazılım;

```
function stem1(x,y,z,linetype)
```

```
n = length(x);
```

```
if nargin == 2
```

```
y = x(:);
```

```
x = 1:n;
```

```
linetype = '-';
```

```
elseif nargin == 3
```

```
if isstr(y)
```

```
linetype = y;
```

```
y = x(:);
```

```
x = 1:n;
```

```
else
```

```
x = x(:);
```

```
y = y(:);
```

```
z = z(:);
```

```
linetype = '-';
```

```
end
```

```
elseif nargin == 4
```

```
x = x(:);
```

```
y = y(:);
```

```
end
```

```
xx = [x;x;nan*ones(size(x))];
```

```
yy = [y;y;nan*ones(size(y))];
```

```
zz = [zeros(1,n);z;nan*ones(size(z))];  
cax = newplot;  
next = lower(get(cax,'NextPlot'));  
hold_state = strcmp(next,'add') & strcmp('add',lower(get(gcf,'NextPlot')));  
h = plot3(x,y,z,'o',xx(:,),yy(:,),zz(:,),linetype);  
c = get(gca,'colororder'); set(h,'color',c(1,:))  
q = axis;hold on;h=plot([q(1) q(2)], [0 0]);set(h,'color',get(gca,'xcolor'))  
if ~hold_state, set(cax,'NextPlot',next); end
```

Ek.E. Yaylı Parametreli Modelin Yazılımı.

```

subroutine plotv(v,s,sp,etot,eplas,ecreep,t,m,nnd,layer
$           ,ndid, nshead,jpltcd)
c
c... define an element variable for post processing
c
c... v      variable
c... s      stress array
c... sp     stresses in preferred direction
c... etot   total strain (generalized)
c... eplas  total plastic strain
c... ecreep total creep strain
c... t      current temperature
c... m      element number
c... nn     integration point number
c... layer  layer number
c... ndi    number of direct stress components
c... nshear number of shear stress components
c... jpltcd absolute value of user defined plot
c          code
implicit real*8 (a-h,o-z)
c
include '../common/blnk'
include '../common/elmcom'
include '../common/dimen'
include '../common/array2'
include '../common/concom'
include '../common/heat'
include '../common/nzro1'
include '../common/lass'
include '../common/harmon'
include '../common/dyns'
include '../common/space'
c
dimension s(1),etot(1),eplas(1),ecreep(1),sp(1)
c
dimension dispr(24),dispi(24),xinti(3),
$       stresr(6),stresi(6),

```

```

$      veloc(24),vint(3),powr(3),powi(3),
$      vrr(3) ,vi(3),xintr(3)
if (ihresp.eq.1) then
c... harmonic analysis
c... get current frequency (in radians per time)
curfreq=freq
c
c.get real displacements corresponding to element nodes
c
call elvec(dispr,nnode,vars(idsx1),ndegmx,ndeg,numnp,0,lm)
c
c.get imaginary displacements corresponding to element nodes
c
if (icompl.ne.0)
$ call elvec(dispi,nnode,vars(idsx2),ndegmx,ndeg,numnp,0,lm)
c.calculate integration point value of real displacements
c
call int007(xintr,dispr,nn)
c
c.calculate integration point value of imaginary displacements
c
if (icompl.ne.0) call int007(xinti,dispi,nn)
c
c... get real and imaginary stress components
c
lofr=(n-1)*nelstr
lms1=nn-1
lms2=nstrmx*lms1
l1=lms2+lofr+isigco
if (icompl.ne.0) l2=lms2+lofr+isigsi
do 10 idum=1,ndi+nshear
stresr(idum)=vars(l1+idum-1)
if (icompl.ne.0) stresi(idum)=vars(l2+idum-1)
10 continue
if (jpltcd.eq.1) v=xintr(1)
if (jpltcd.eq.2) v=xintr(2)
if (jpltcd.eq.3) v=xintr(3)
if (jpltcd.eq.4.and.icompl.ne.0) v=xinti(1)
if (jpltcd.eq.5.and.icompl.ne.0) v=xinti(2)
if (jpltcd.eq.6.and.icompl.ne.0) v=xinti(3)

```

```

c ****
c harmonik kabul ile yerdegistirmenin hiza donusumu
do 45 i=1,3
vrr(i)=-1*curfreq*xinti(i)
vi(i)=curfreq*xintr(i)
45 continue
c
c Aktif ve reaktif titresim gucunun hesaplanmasi
c
powr(1)=stresr(1)*vrr(1)+stresr(4)*vrr(2)+stresr(6)
$*vrr(3)+stresi(1)*vi(1)+stresi(4)*vi(2)+stresi(6)
$*vi(3)
powr(2)=stresr(4)*vrr(1)+stresr(2)*vrr(2)+stresr(5)
$*vrr(3)+stresi(4)*vi(1)+stresi(2)*vi(2)+stresi(5)
$*vi(3)
powr(3)= stresr(6)*vrr(1)+stresr(5)*vrr(2)+stresr(3)
$*vrr(3)+stresi(6)*vi(1)+stresi(5)*vi(2)+stresi(3)
$*vi(3)
powi(1)= stresr(1)*vi(1)+stresr(4)*vi(2)+stresr(6)
$*vi(3)-stresi(1)*vrr(1)-stresi(4)*vrr(2)-stresi(6)
$*vrr(3)
powi(2)= stresr(4)*vi(1)+stresr(2)*vi(2)+stresr(5)
$*vi(3)-stresi(4)*vrr(1)-stresi(2)*vrr(2)-stresi(5)
$*vrr(3)
powi(3)= stresr(6)*vi(1)+stresr(5)*vi(2)+stresr(3)
$*vi(3)-stresi(6)*vrr(1)-stresi(5)*vrr(2)-stresi(3)
$*vrr(3)
c
c Uc dogrultudaki aktif titresim gucu degerleri
c
if (jpltcd.eq.7) v=.5*powr(1)
if (jpltcd.eq.8) v=.5*powr(2)
if (jpltcd.eq.9) v=.5*powr(3)
c
c Uc dogrultudaki reaktif titresim gucu degerleri
c
if (jpltcd.eq.10) v=.5*powi(1)
if (jpltcd.eq.11) v=.5*powi(2)
if (jpltcd.eq.12) v=.5*powi(3)
c ****

```

```

else if (idyn.ge.1) then
c
c... dynamic transient analysis
c
c... get velocities corresponding to the element nodes
c
call elvec(veloc,nnode,vars(idynv),ndegmx,ndeg,numnp,0,lm)
c
c... calculate integration point value of velocities
c
call int007(vint,veloc,nn)
c
end if
return
end
c
c
subroutine int007(xint,xnode,nn)
implicit real*8 (a-h,o-z)
c
c... subroutine to calculate the integration point value for
c... element type 7, based on the nodal values
c
c... input: xnode: array with nodal values
c...         int: integration point number
c... output: xint: integration point value
c
dimension xint(1),xnode(3,1)
dimension f(8),gausx(8),gausy(8),gausz(8)
c
data gausx/ -.577350269, .577350269,-.577350269, .577350269,
$-.577350269, .577350269,-.577350269, .577350269/
data gausy/ -.577350269,-.577350269, .577350269, .577350269,
$-.577350269,-.577350269, .577350269, .577350269/
data gausz/ -.577350269,-.577350269,-.577350269,-.577350269,
$.577350269, .577350269, .577350269, .577350269/
c
xsi = gausx(nn)
eta = gausy(nn)
zeta = gausz(nn)

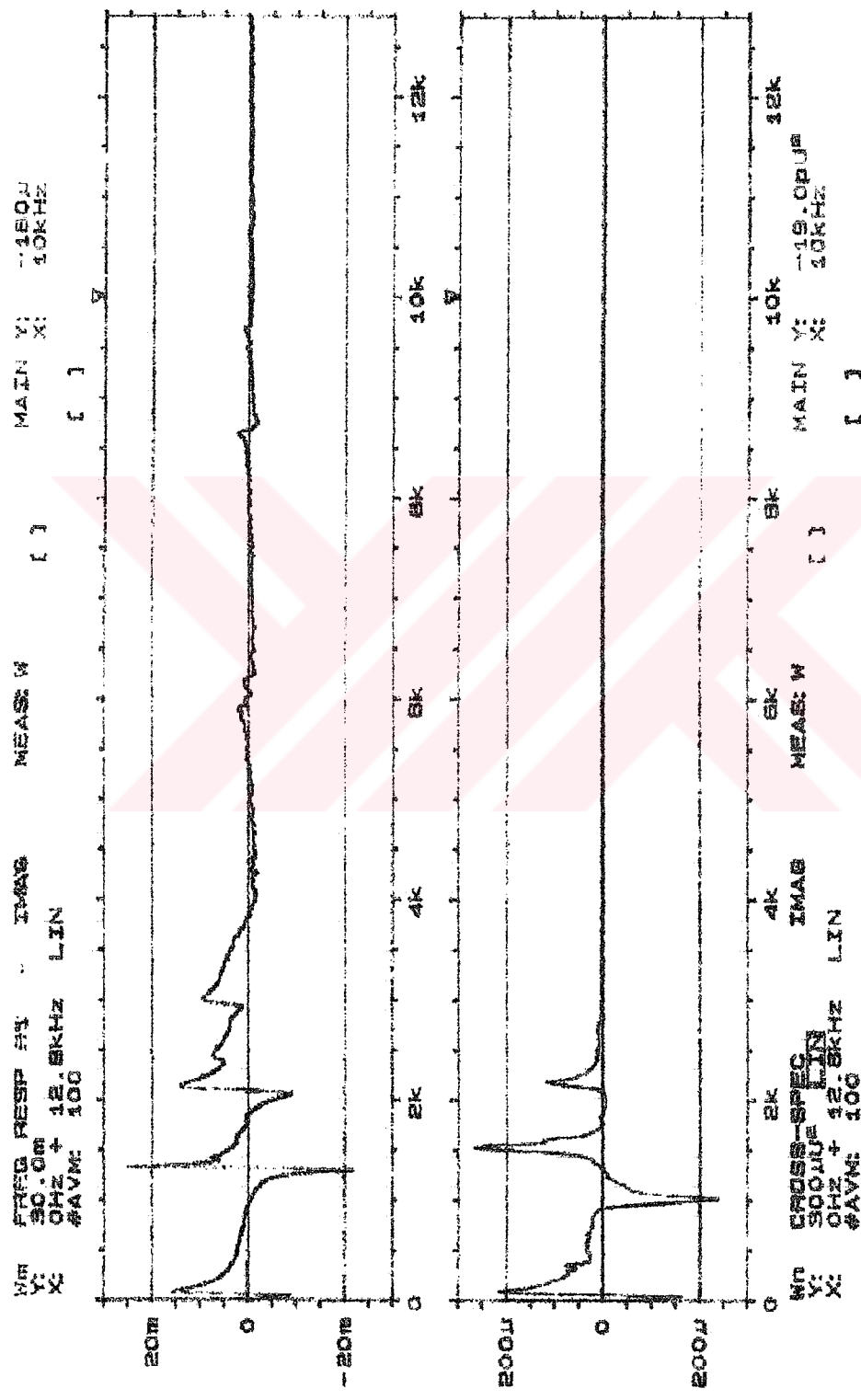
```

```

xm=1.0d0-xsi
xp=1.0d0+xsi
ym=1.0d0-eta
yp=1.0d0+eta
zm=1.0d0-zeta
zp=1.0d0+zeta
f(1)=0.125d0*xm*ym*zm
f(2)=0.125d0*xp*ym*zm
f(3)=0.125d0*xp*yp*zm
f(4)=0.125d0*xm*yp*zm
f(5)=0.125d0*xm*ym*zp
f(6)=0.125d0*xp*ym*zp
f(7)=0.125d0*xp*yp*zp
f(8)=0.125d0*xm*yp*zp
c
xint(1) = f(1)*xnode(1,1) + f(2)*xnode(1,2)
$      + f(3)*xnode(1,3) + f(4)*xnode(1,4)
$      + f(5)*xnode(1,5) + f(6)*xnode(1,6)
$      + f(7)*xnode(1,7) + f(8)*xnode(1,8)
xint(2) = f(1)*xnode(2,1) + f(2)*xnode(2,2)
$      + f(3)*xnode(2,3) + f(4)*xnode(2,4)
$      + f(5)*xnode(2,5) + f(6)*xnode(2,6)
$      + f(7)*xnode(2,7) + f(8)*xnode(2,8)
xint(3) = f(1)*xnode(3,1) + f(2)*xnode(3,2)
$      + f(3)*xnode(3,3) + f(4)*xnode(3,4)
$      + f(5)*xnode(3,5) + f(6)*xnode(3,6)
$      + f(7)*xnode(3,7) + f(8)*xnode(3,8)
c
return
end

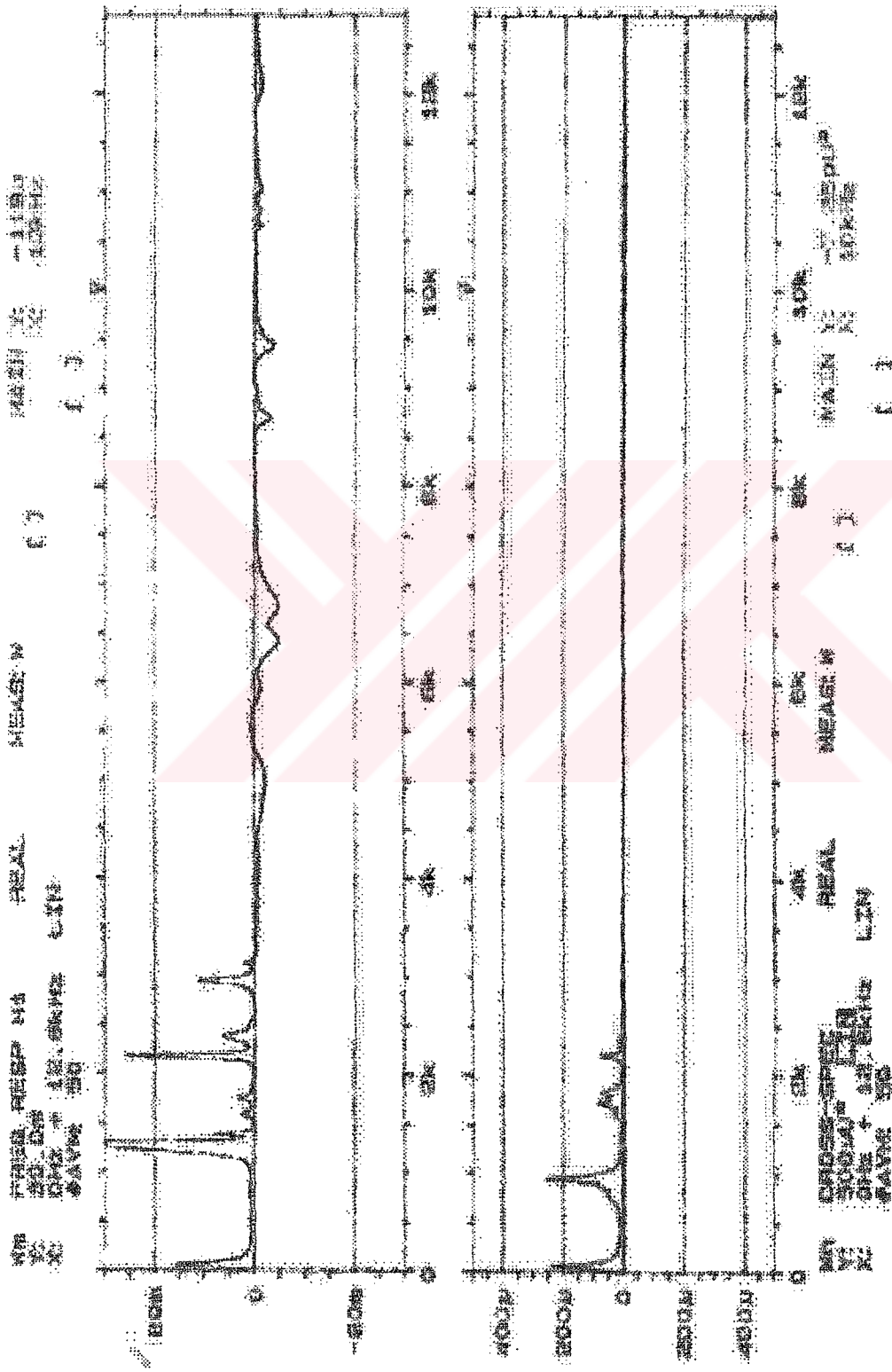
```

Ek.F. Deneysel Olarak Elde Edilen Mobilite ve Titreşim Gücü Spektrumları.



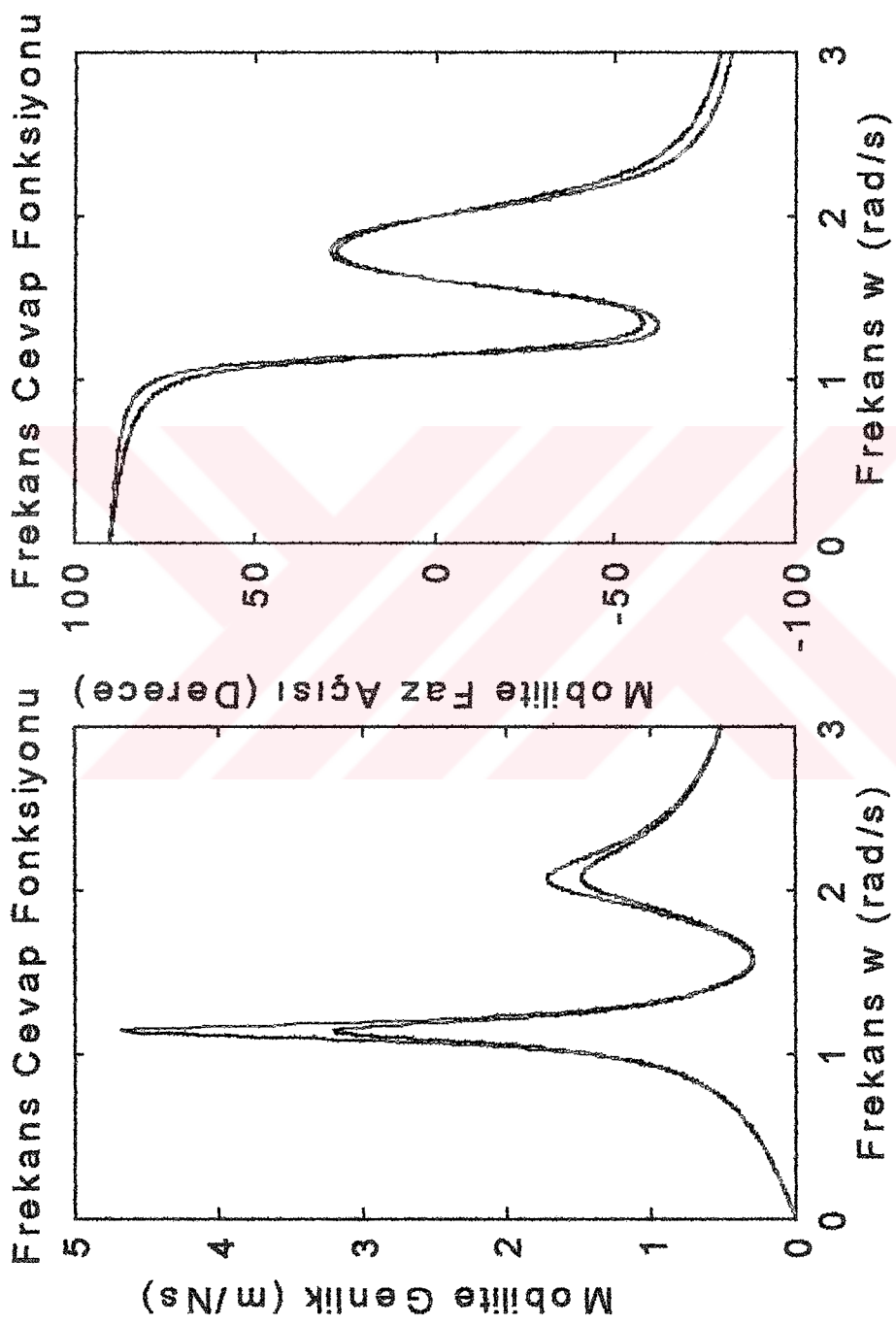
Üstteki grafik mobilite'nin sanal kısmını, alttaki grafik ise reaktif titreşim gücünü göstermektedir.

Sekil.F1. Reaktif Titreşim Gücünün ve Mobilite'nin Sanal Kısının Frekansa Göre Değişimi.



Üstteki grafik mobilite'nin gerçel kısmını, alttaki grafik ise aktif titresim gücünü göstermektedir.

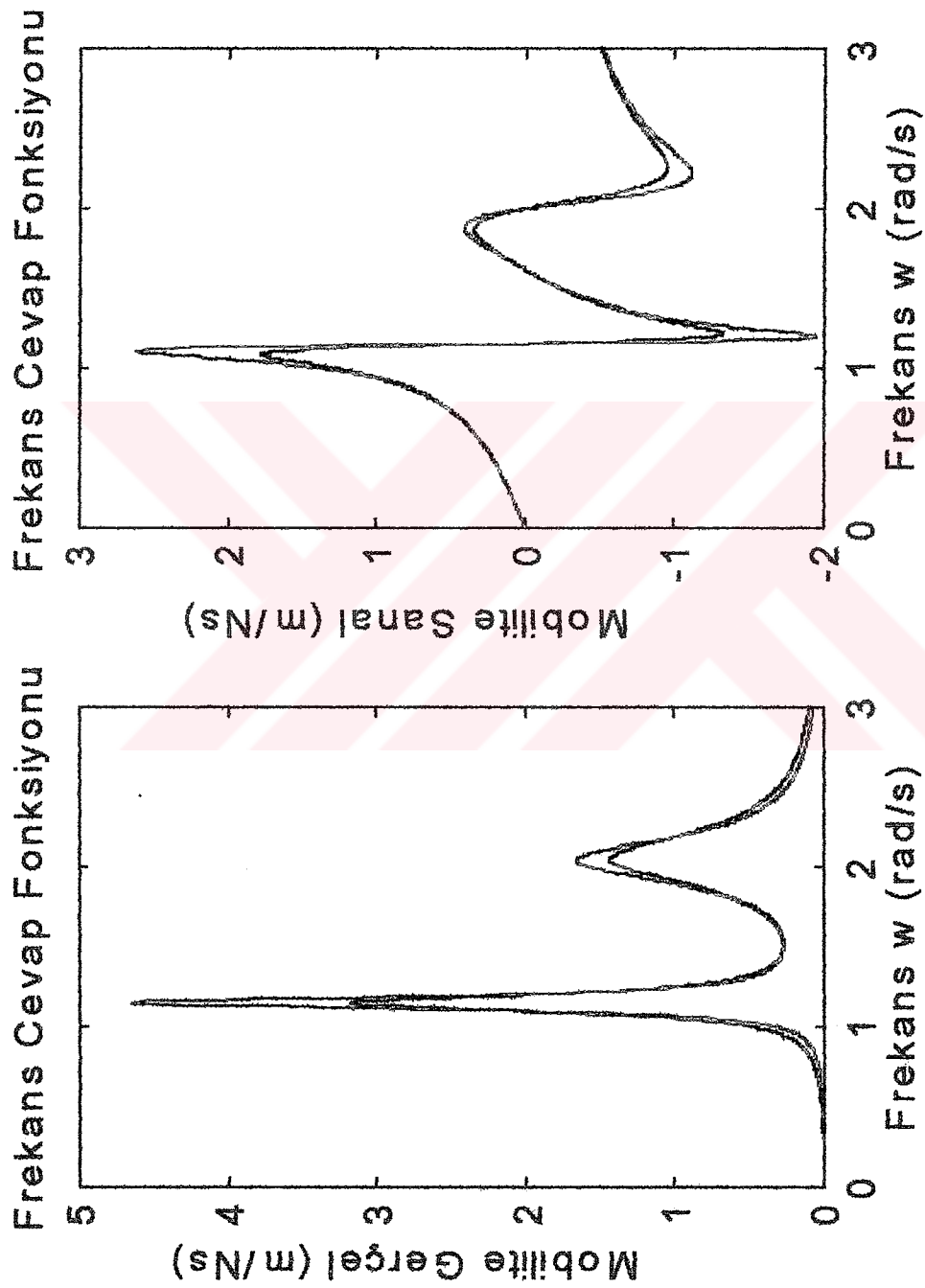
Sekil F2. Aktif Titresim Gücünün ve Mobilite'nin Gerçel Kismının Frekansa Göre Değişimi.



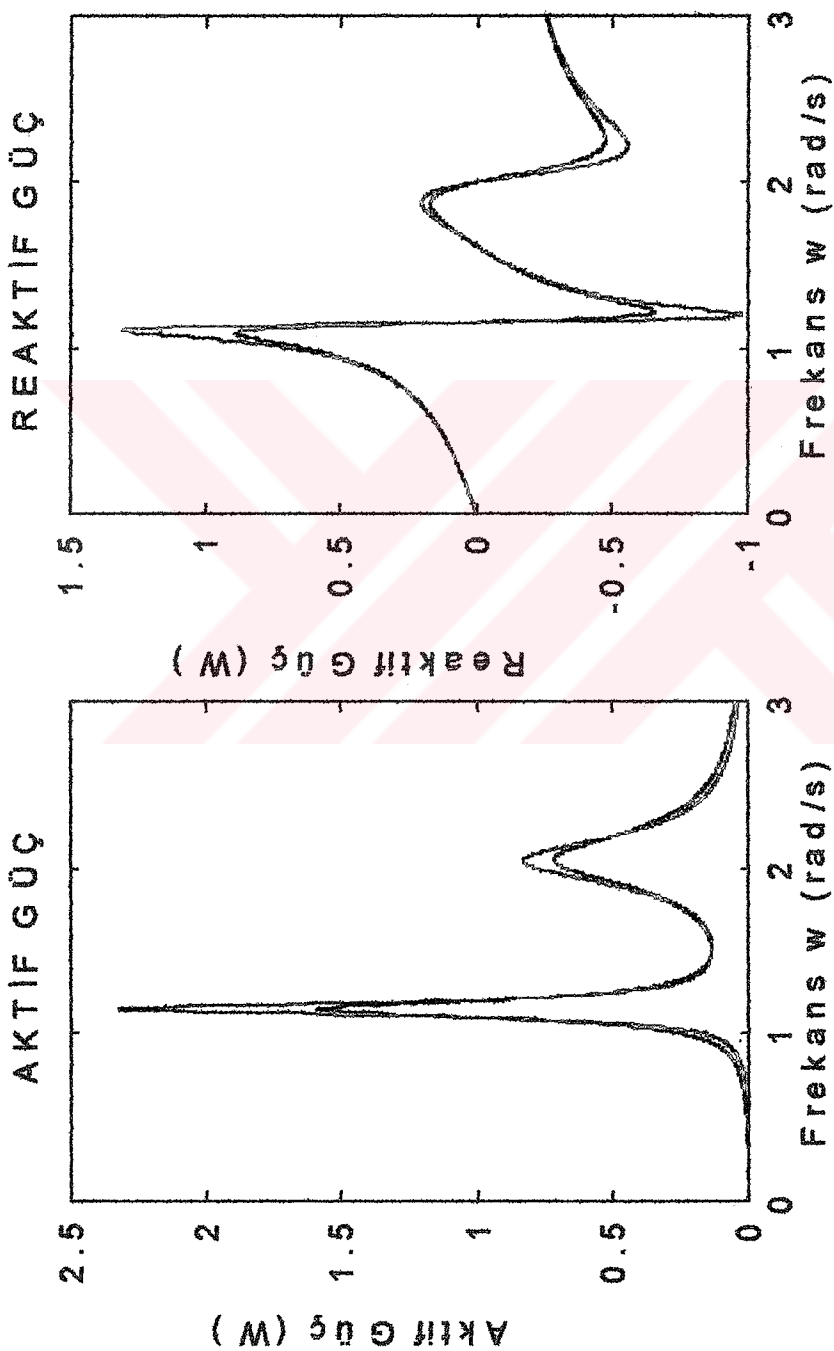
Şekil.G1. Frekans Cevap Fonksiyonu Genlik ve Faz Açısı Spektrumları.

c1 söñüm katsayısi çıkarıldıktan sonraki durum; kırmızı

c1 söñüm katsayısi çıkarılmışdan önceki durum; yeşil ile gösterilmektedir.



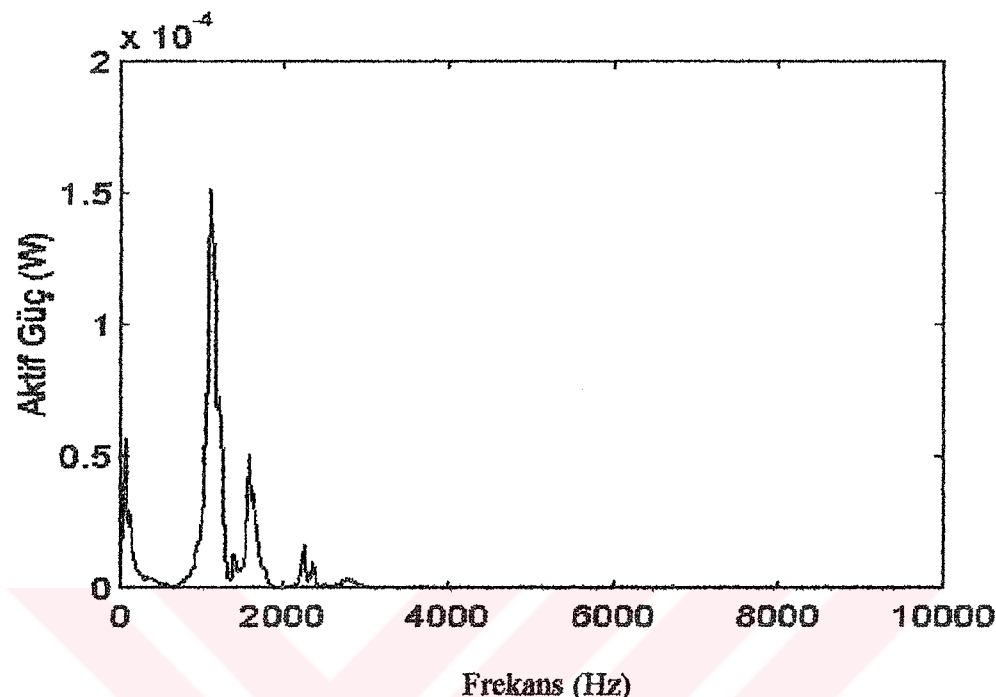
Şekil.G2. Frekans Cevap Fonksiyonu Gerçek ve Sanal Spektrumları.
ci söñüm katsayısı çıkışından sonraki durum; kirmizi
ci söñüm katsayısı çıkışından önceki durum; yesil ile gösterilmektedir.



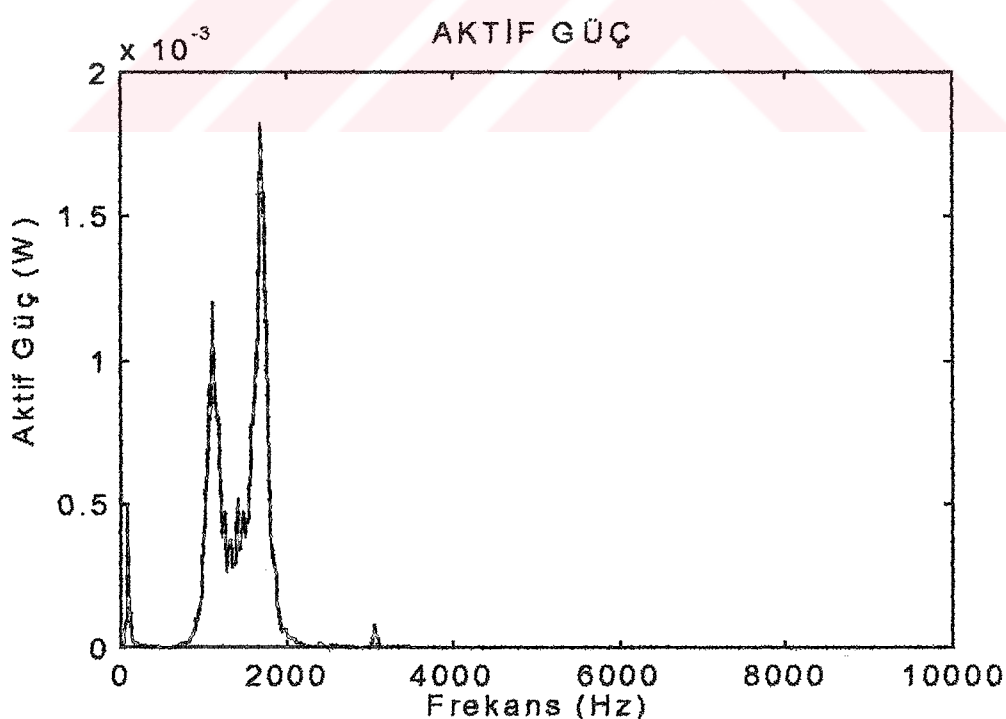
Sekil G3. Aktif ve Reaktif Titresim Gücü Spektrumları
ci söñüm katsayısı çkarıldıktan sonraki durum; kirmizi
ci söñüm katsayısı çkarılmadan önceki durum; yesili ile gösterilmektedir.

Ek.H. Toplu Parametreli Modelin Ölçüm Düzeneği Üzerine Uygulanması

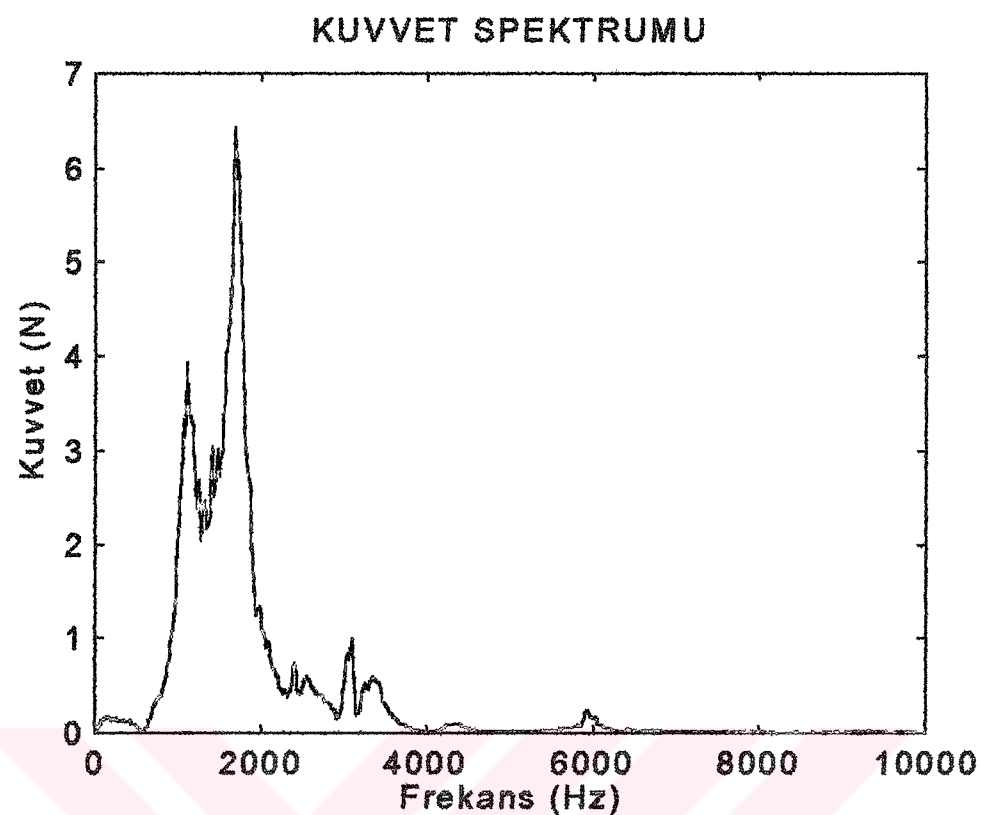
Sonucu Elde Edilen Spektrumlar.



Şekil.H1. Ölçüm Düzeneğinden Elde Edilen Aktif Titreşim Gücü Spektrumu
(Tahrik noktası:52, Cevap noktası:52)

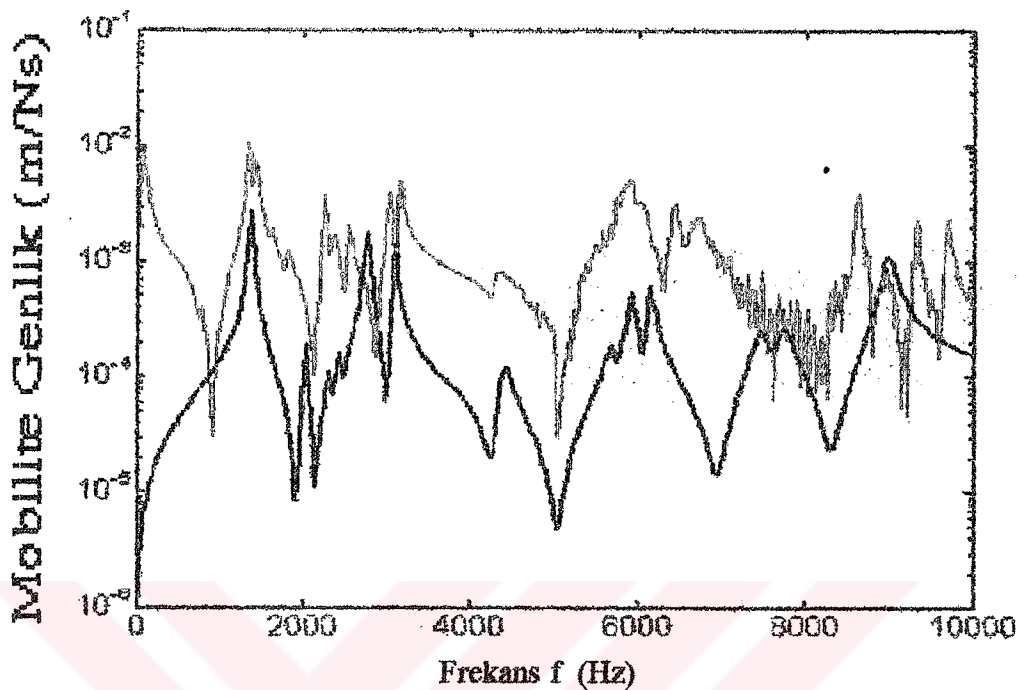


Şekil.H2. Toplu Parametreli Modelden Elde Edilen Aktif Titreşim Gücü Spektrumu.
(Tahrik noktası:52, Cevap noktası:52)

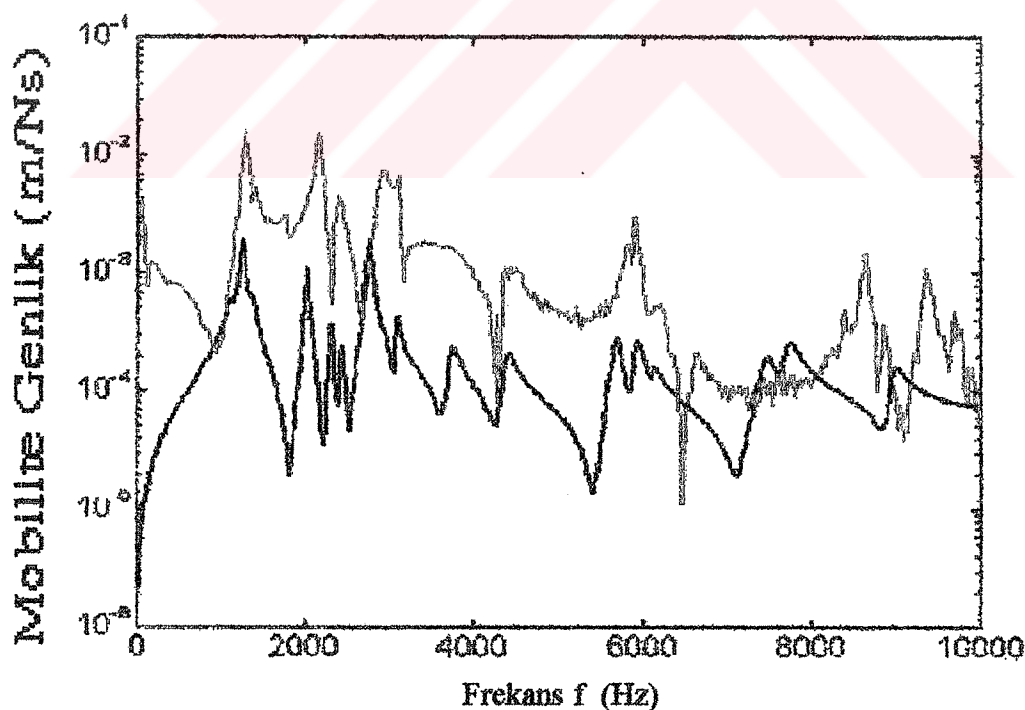


Şekil.H3. Modele Uygulanan Kuvvet Spektrumu. (52 noktasmdan)

Ek.I. Modal Modelin Ölçüm Düzeneği Üzerine Uygulanması Sonucu Elde Edilen Spektrumlar.

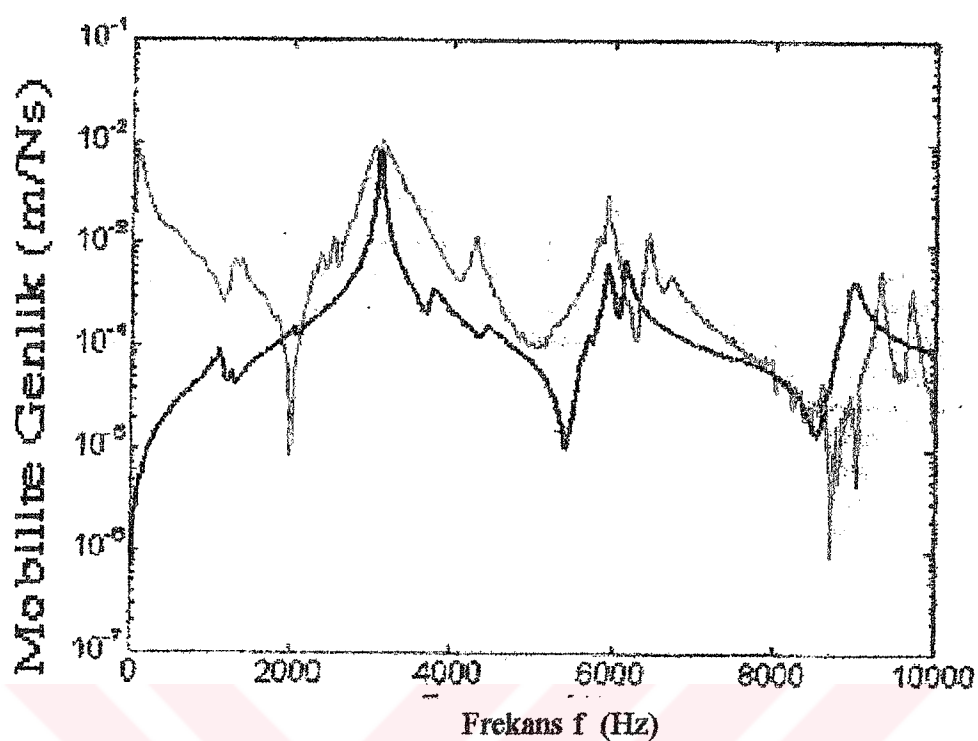


Şekil.I1. Frekans Cevap Fonksiyonu Spektrumu (Tahrik, cevap noktası: 34, 34)

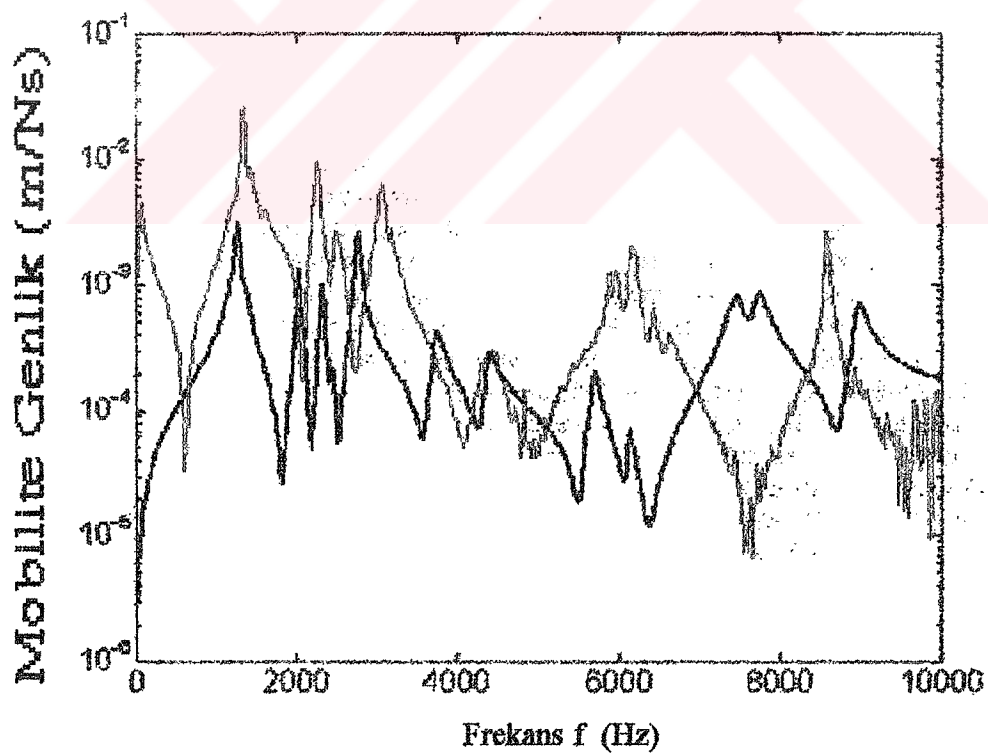


Şekil.I2. Frekans Cevap Fonksiyonu Spektrumu (Tahrik, cevap noktası: 37, 54)

‘kırmızı’, Ölçüm düzeneğinden elde edilen veri,
‘mavi’, Model’den elde edilen veri,



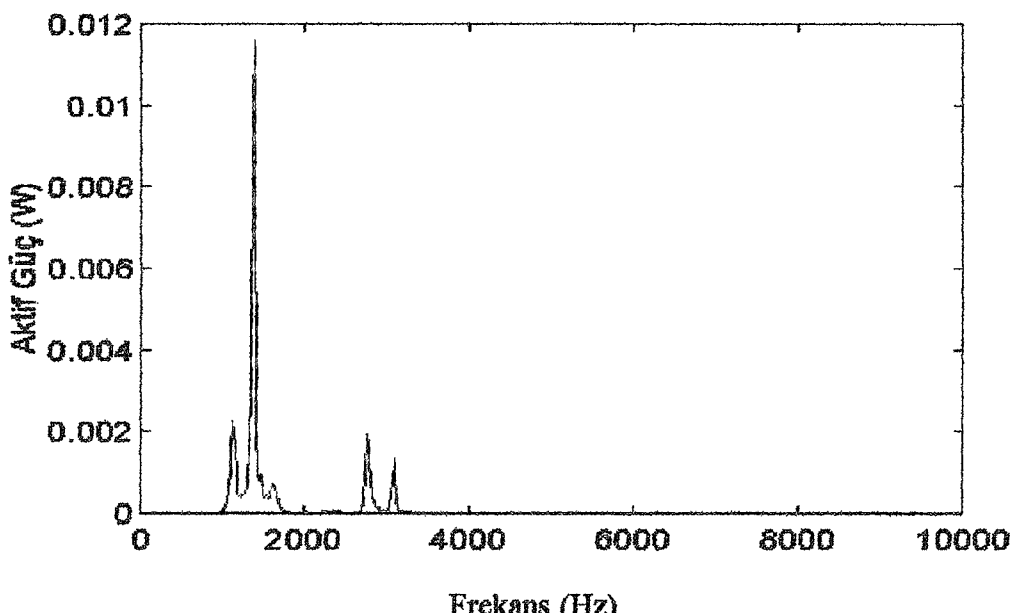
Şekil.I3. Frekans Cevap Fonksiyornu Spektrumu (Tahrik, cevap noktası: 15, 15)



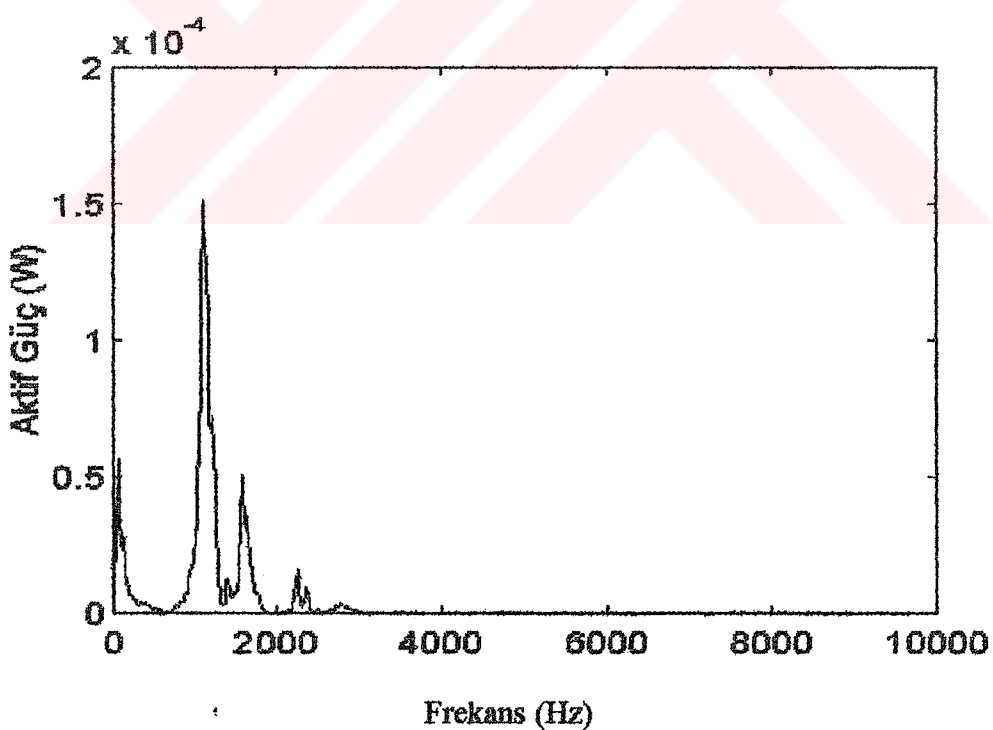
Şekil.I4. Frekans Cevap Fonksiyornu Spektrumu (Tahrik, cevap noktası: 49, 49)

‘kırmızı’, Ölçüm düzeneğinden elde edilen veri,

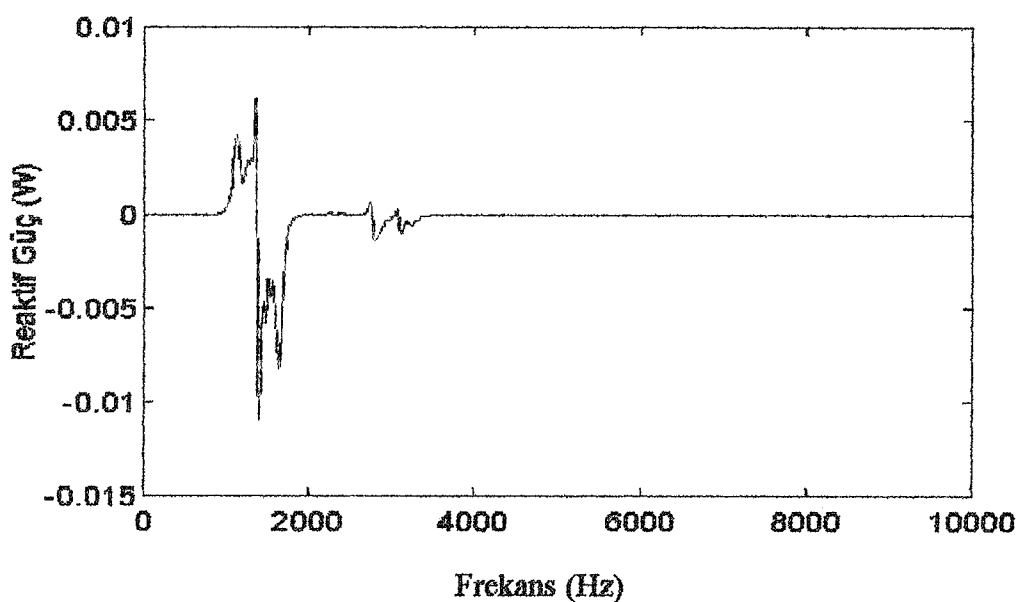
‘mavi’, Model’den elde edilen veri,



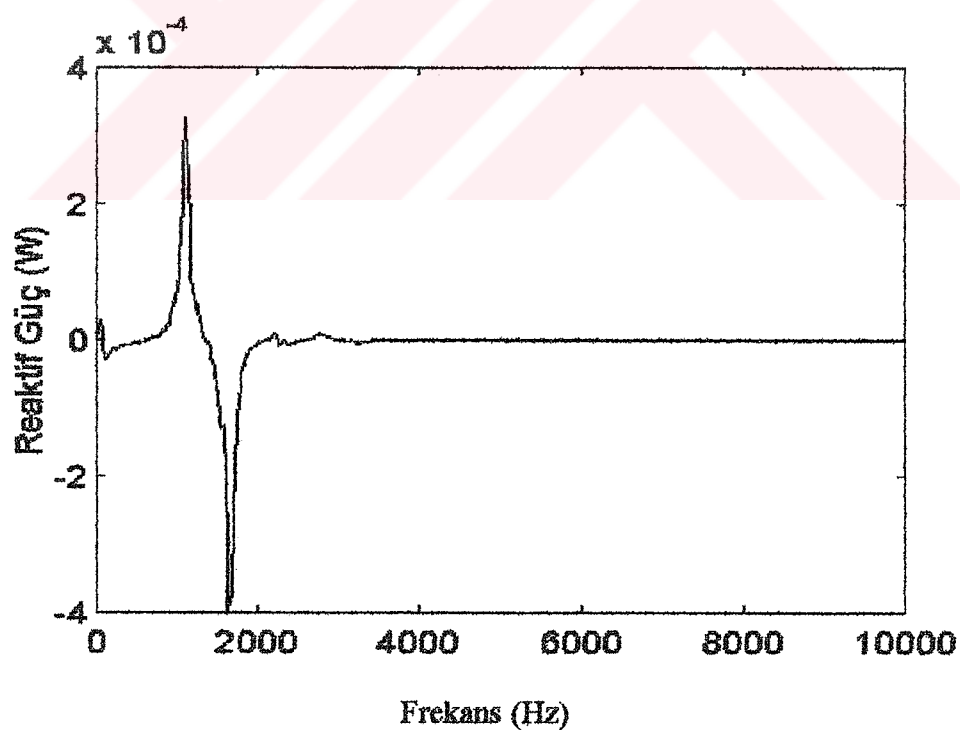
Şekil.I5. Modal Model'den Elde Edilen Aktif Titreşim Güçü Spektrumu.
(Tahrik noktası:52, Cevap noktası:52)



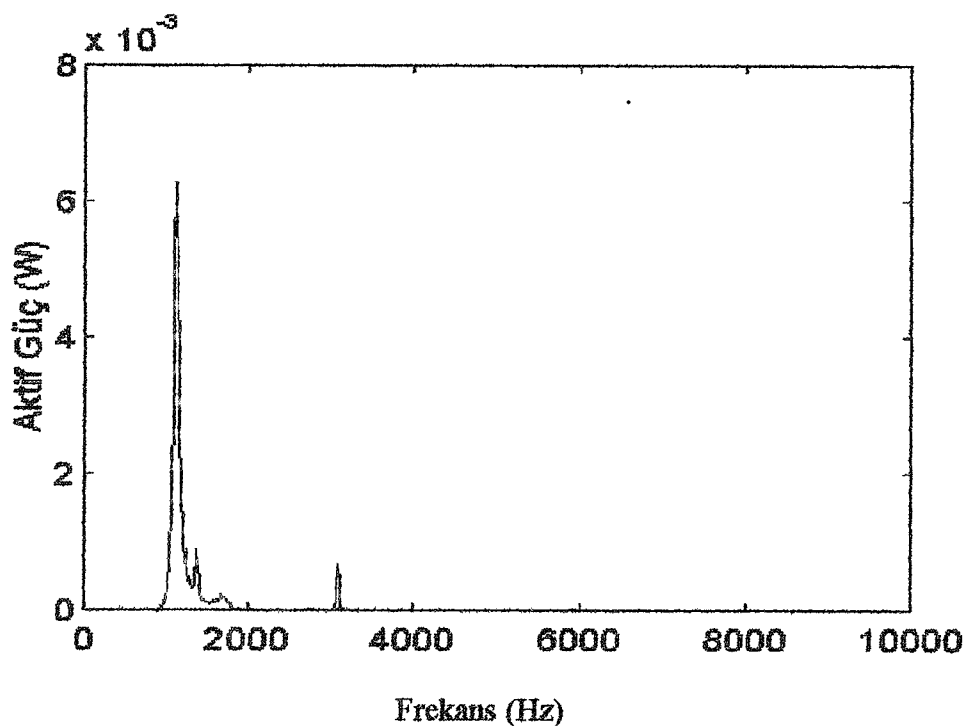
Şekil.I6. Ölçüm Düzeneğinden Elde Edilen Aktif Titreşim Güçü Spektrumu
(Tahrik noktası:52, Cevap noktası:52)



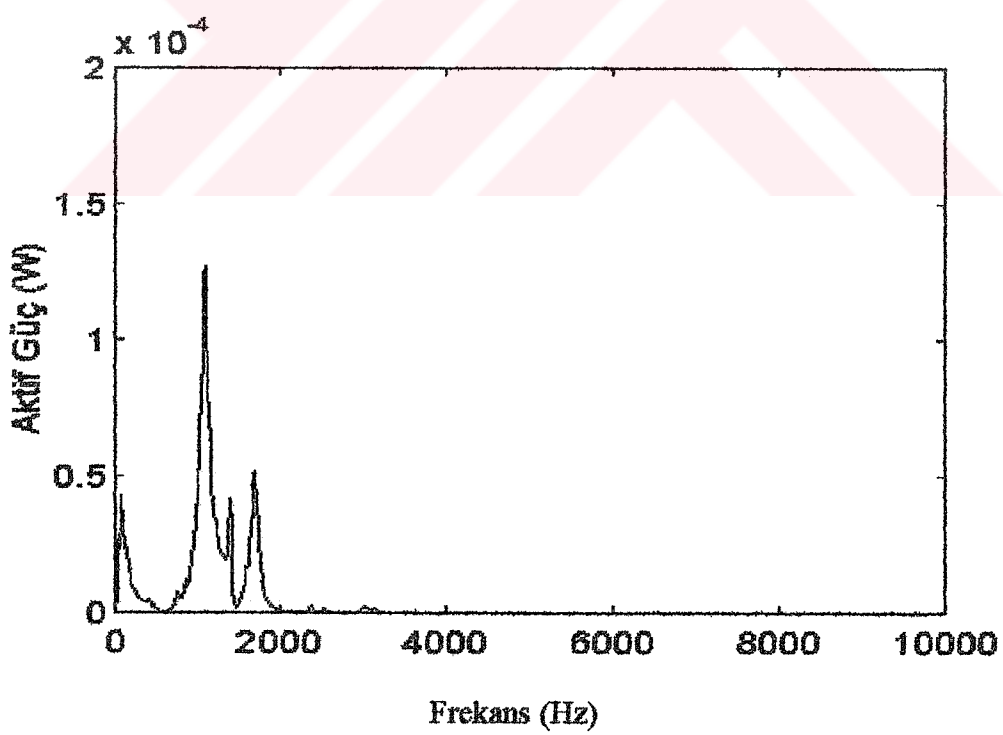
Şekil.I7. Modal Model'den Elde Edilen Reaktif Titreşim Güçü Spektrumu
(Tahrik noktası:52, Cevap noktası:52)



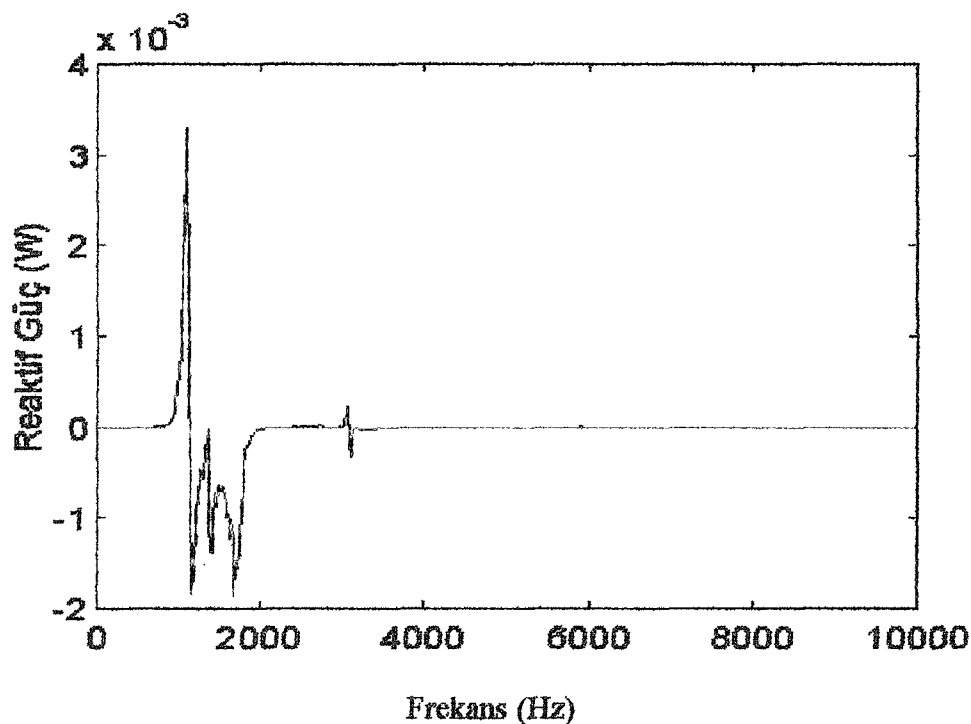
Şekil.I8. Ölçüm Düzeneğinden Elde Edilen Reaktif Titreşim Güçü Spektrumu
(Tahrik noktası:52, Cevap noktası:52)



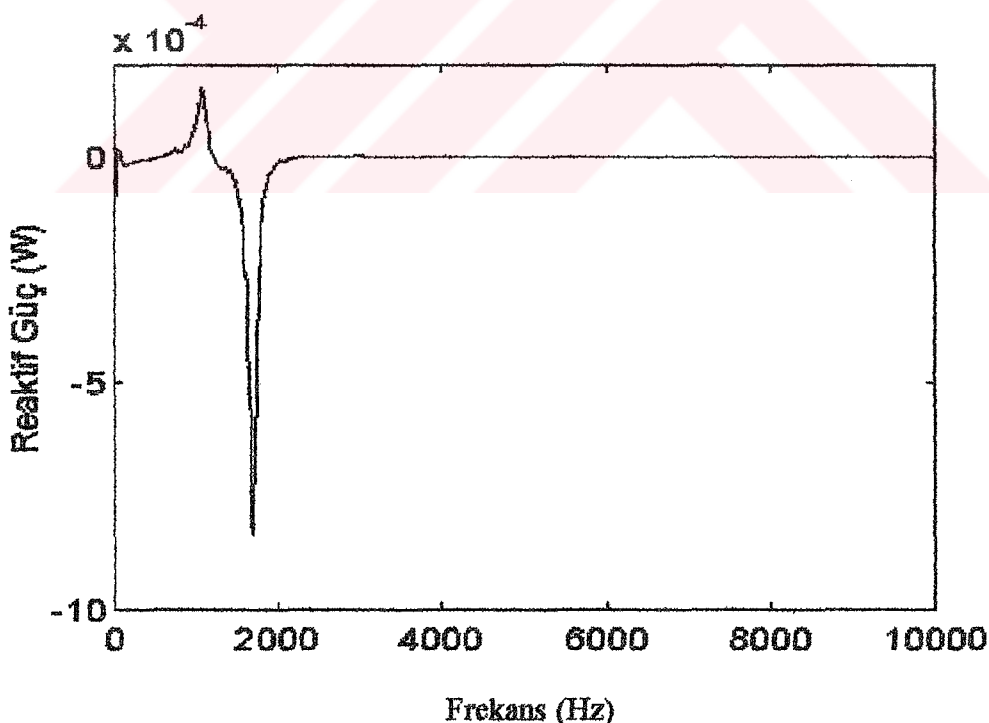
Şekil.I9. Modal Model'den Elde Edilen Aktif Titreşim Güçü Spektrumu
(Tahrik noktası:18, Cevap noktası:18)



Şekil.II10. Ölçüm Düzeneğinden Elde Edilen Aktif Titreşim Güçü Spektrumu.
(Tahrik noktası:18, Cevap noktası:18)



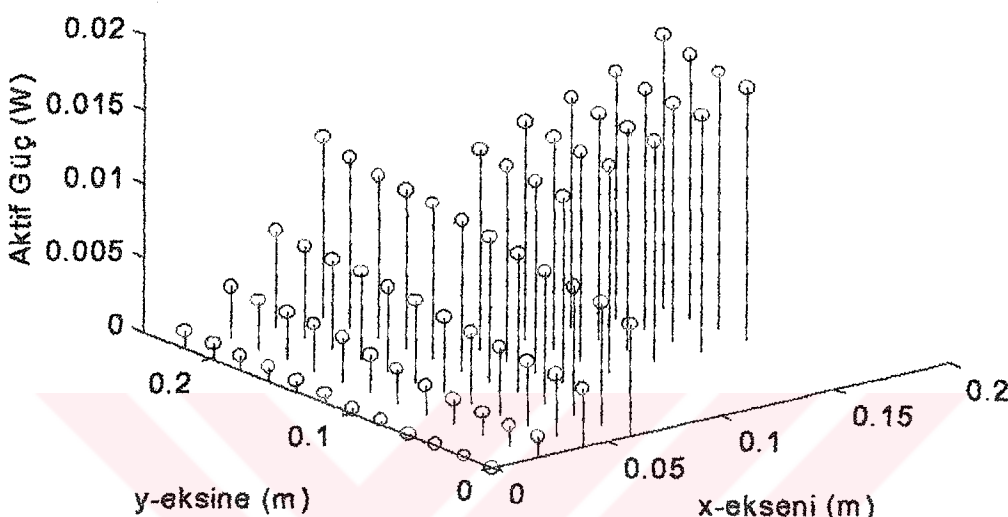
Şekil.II11. Modal Model'den Elde Edilen Reaktif Titreşim Güçü Spektrumu
(Tahrik noktası:18, Cevap noktası:18)



Şekil.II12. Ölçüm Düzeneğinden Elde Edilen Reaktif Titreşim Güçü Spektrumu.
(Tahrik noktası:18, Cevap noktası:18)

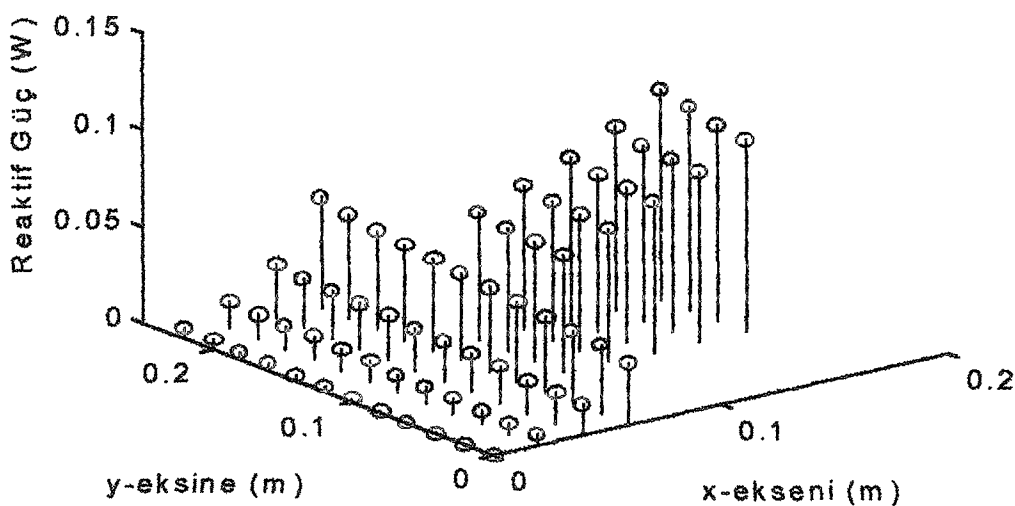
**Ek.J. Modal Modelde, Tüm Frekans Bandlarında Sabit Bir Genlige Sahip
Kuvvet Spektrumunun Ölçüm Düzeneğinde Tüm Serbestlik Derecelerine
Uygulanması Sonucu Elde Edilen Spektrumlar.**

Aktif Güç Dağılımı (1000 Hz)



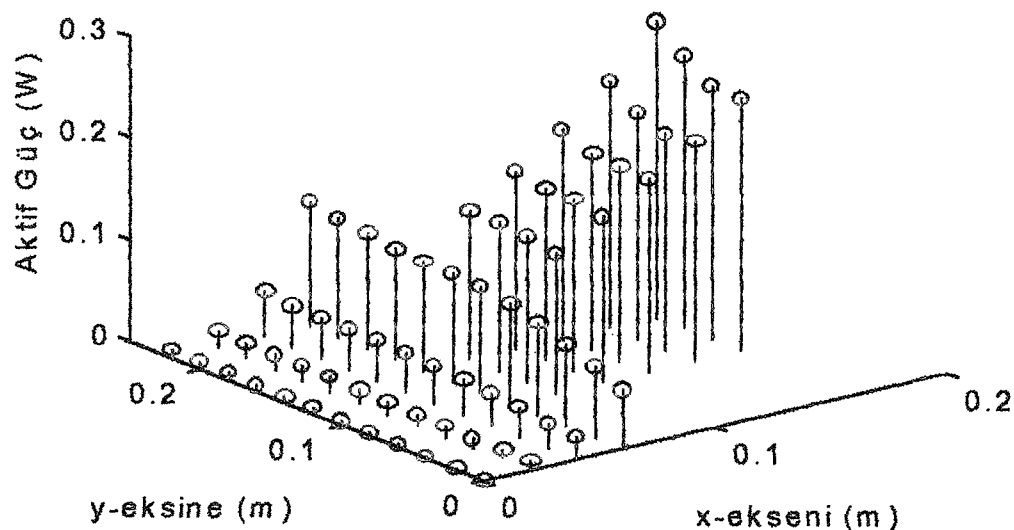
Şekil.J1. Modal Model'de Tanımlanan Tüm Noktalara Teker Teker 1000Hz 'lik Birim Kuvvet Uygulanması Durumunda Yapıya Girilebilecek Aktif Titreşim Gücü Değerleri .

Reaktif Güç Dağılımı (1000 Hz)



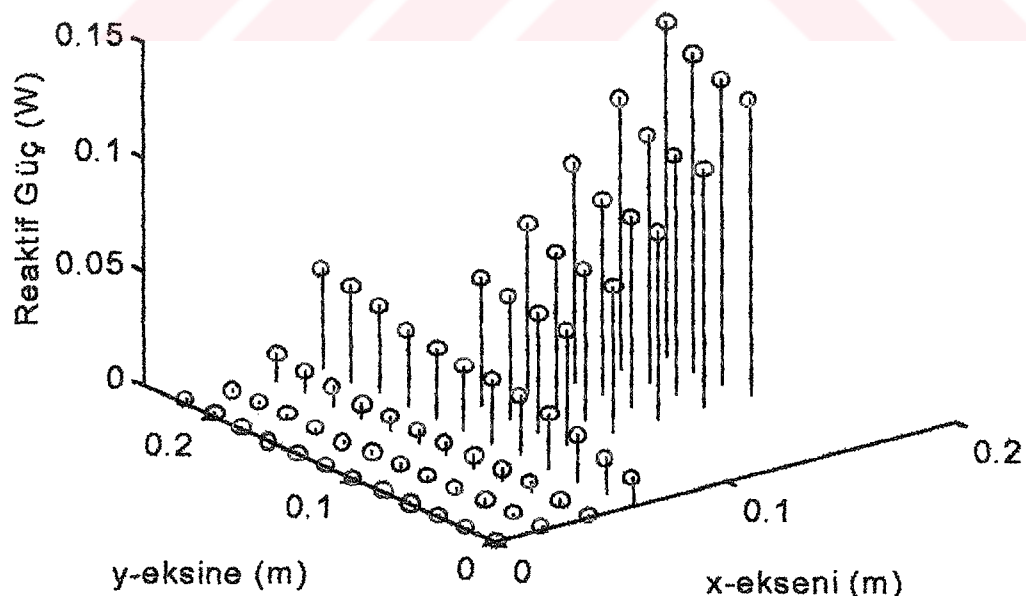
Şekil.J2. Modal Model'de Tanımlanan Tüm Noktalara Teker Teker 1000Hz 'lik Birim Kuvvet Uygulanması Durumunda Yapıya Girilebilecek Reaktif Titreşim Gücü Değerleri.

Aktif Güç Dağılımı (1250 Hz)



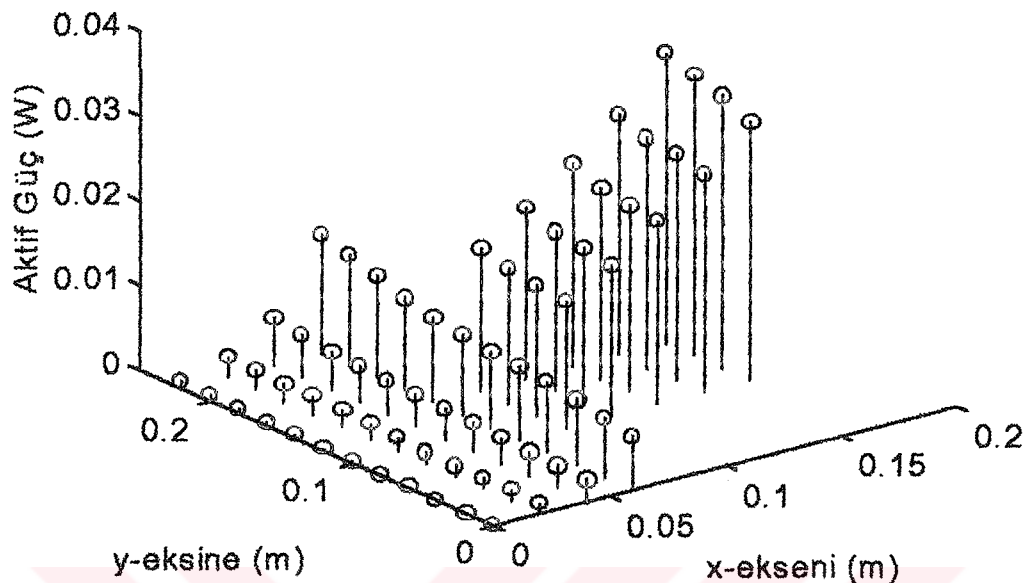
Şekil.J3. Modal Model'de Tanımlanan Tüm Noktalara Teker Teker 1250 Hz 'lik Birim Kuvvet Uygulanması Durumunda Yapıya Girilebilecek Aktif Titreşim Gücü Değerleri .

Reaktif Güç Dağılımı (1250 Hz)



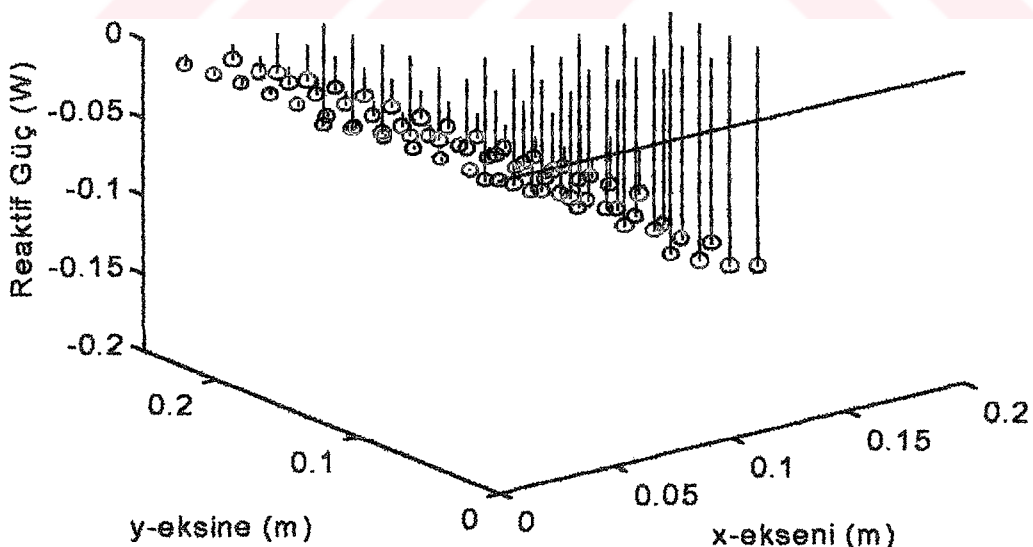
Şekil.J4. Modal Model'de Tanımlanan Tüm Noktalara Teker Teker 1250Hz 'lik Birim Kuvvet Uygulanması Durumunda Yapıya Girilebilecek Reaktif Titreşim Gücü Değerleri.

Aktif Güç Dağılımı (1450 Hz)



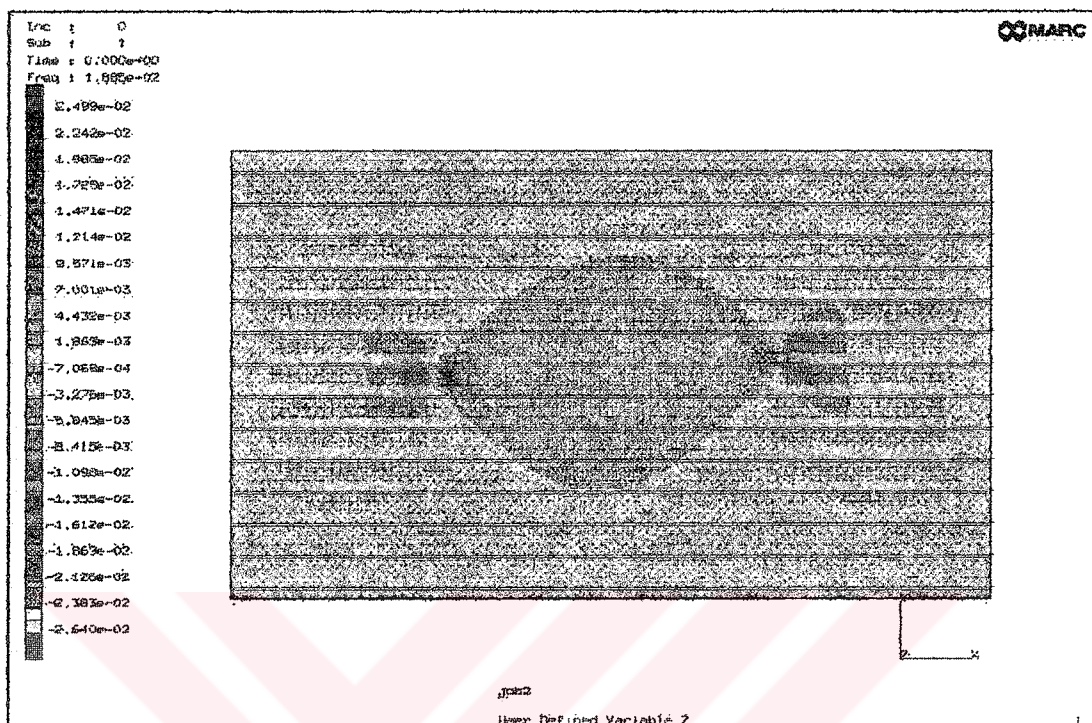
Şekil J5. Modal Model'de Tanımlanan Tüm Noktalara Teker Teker 1450 Hz 'lik Birim Kuvvet Uygulanması Durumunda Yapıya Girilebilecek Aktif Titreşim Gücü Değerleri .

Reaktif Güç Dağılımı (1450 Hz)

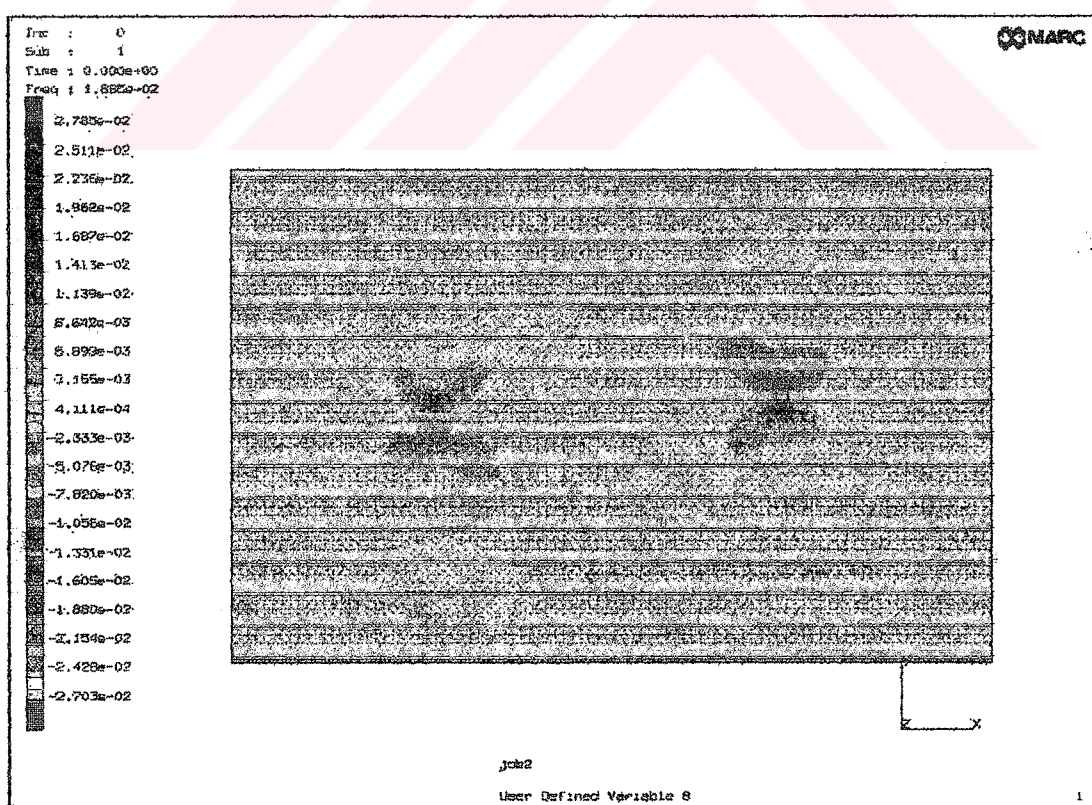


Şekil J6. Modal Model'de Tanımlanan Tüm Noktalara Teker Teker 1450Hz 'lik Birim Kuvvet Uygulanması Durumunda Yapıya Girilebilecek Reaktif Titreşim Gücü Değerleri .

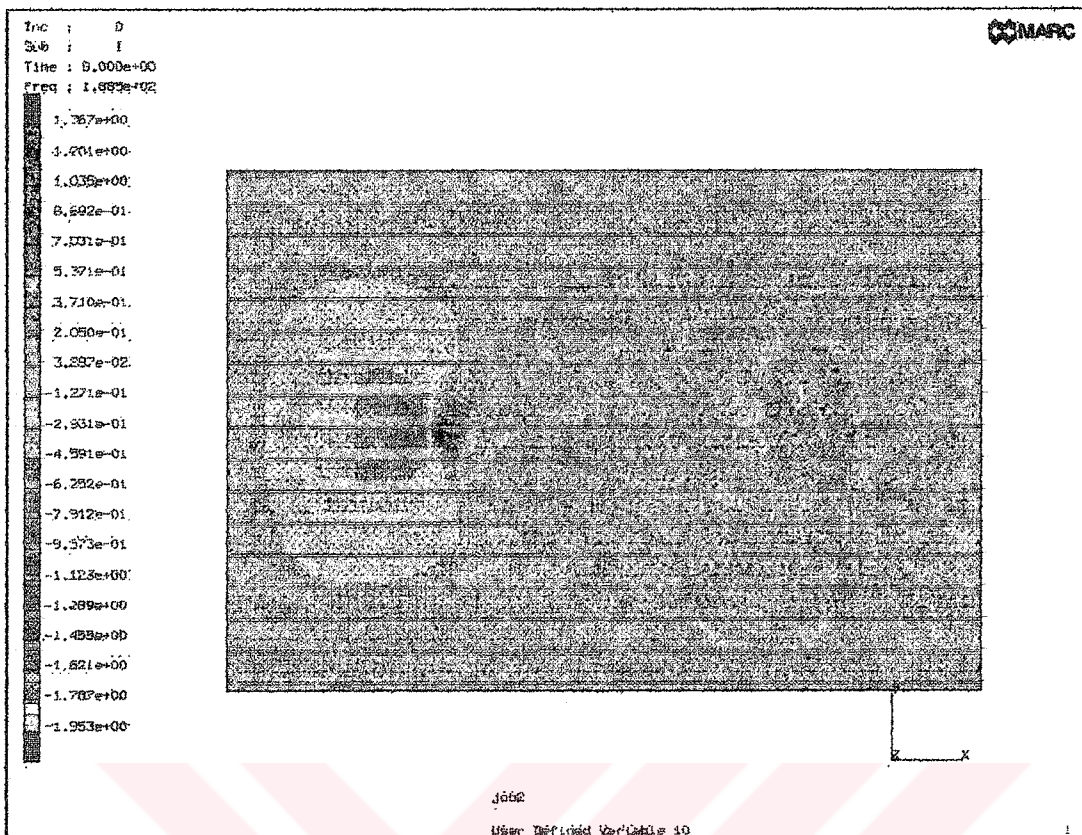
**Ek.K. Yaylı Parametreli Modelin Dikdörtgen Şeklindeki Bir Levha Üzerine
Uygulanması Sonucu Elde Edilen Titreşim Gücü Dağılımı.**



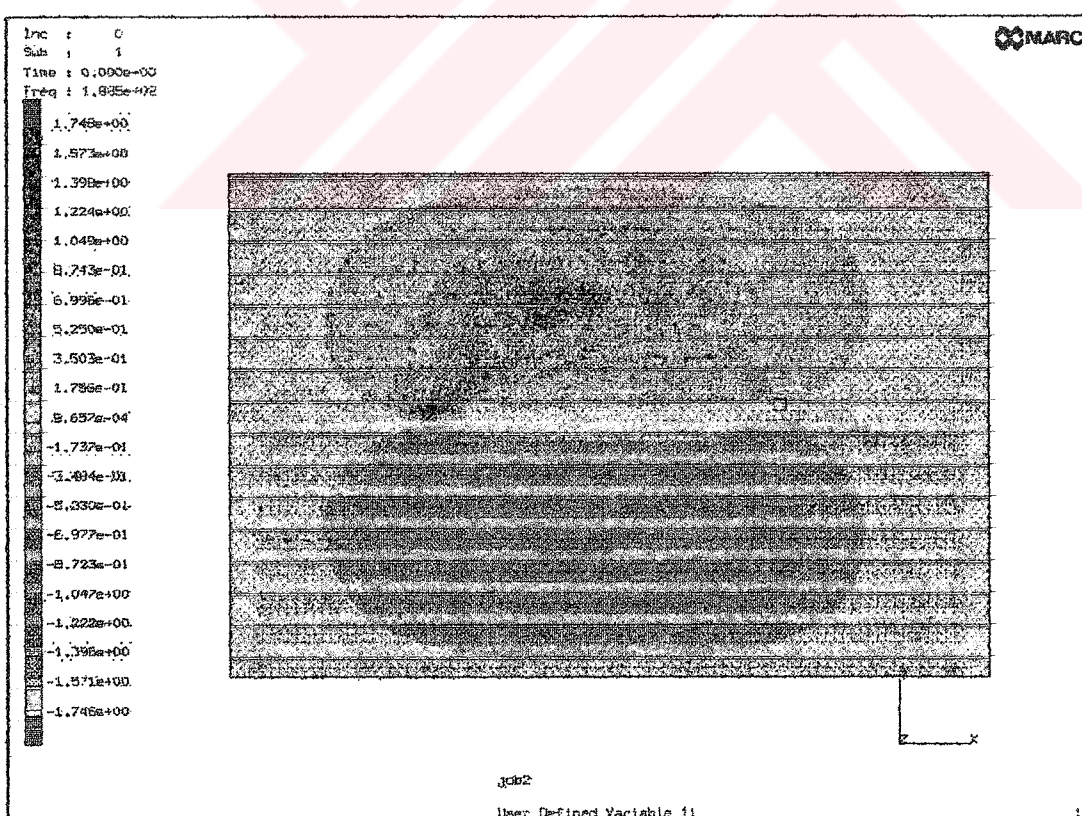
Şekil.K1. X - Doğrultusundaki Aktif Titreşim Gücü Dağılımı. (30 Hz)



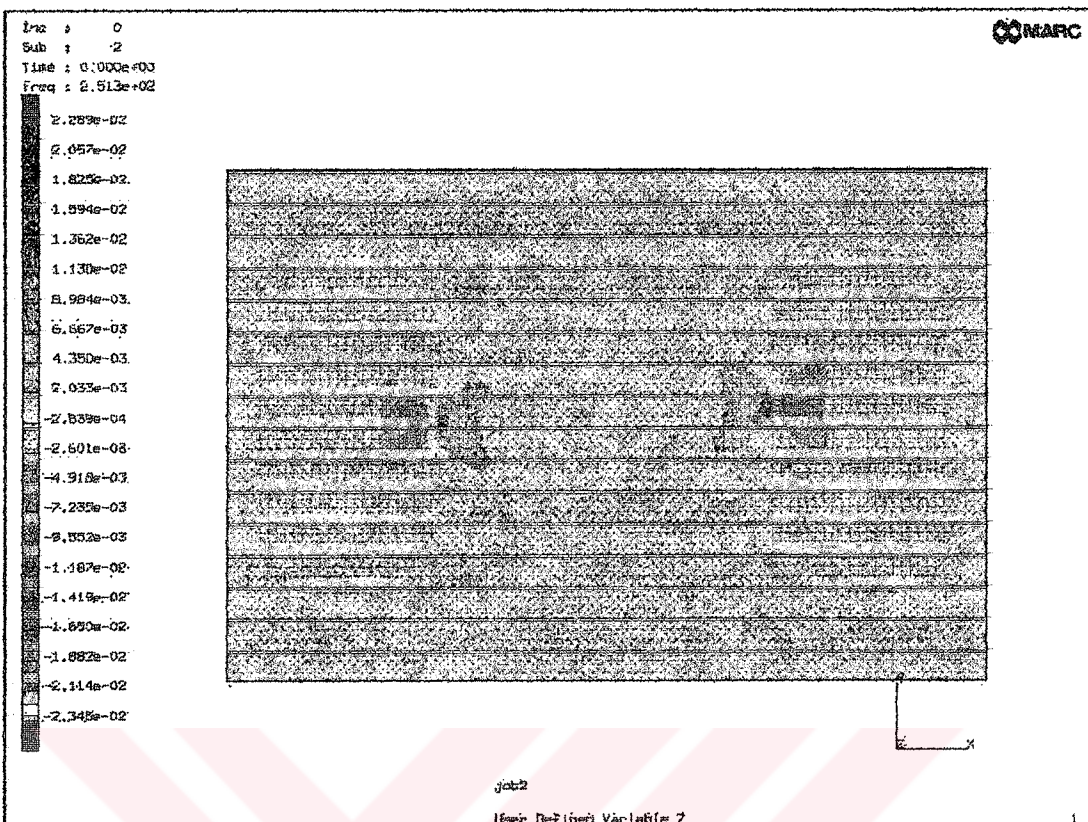
Şekil.K2. Y - Doğrultusundaki Aktif Titreşim Gücü Dağılımı. (30 Hz)



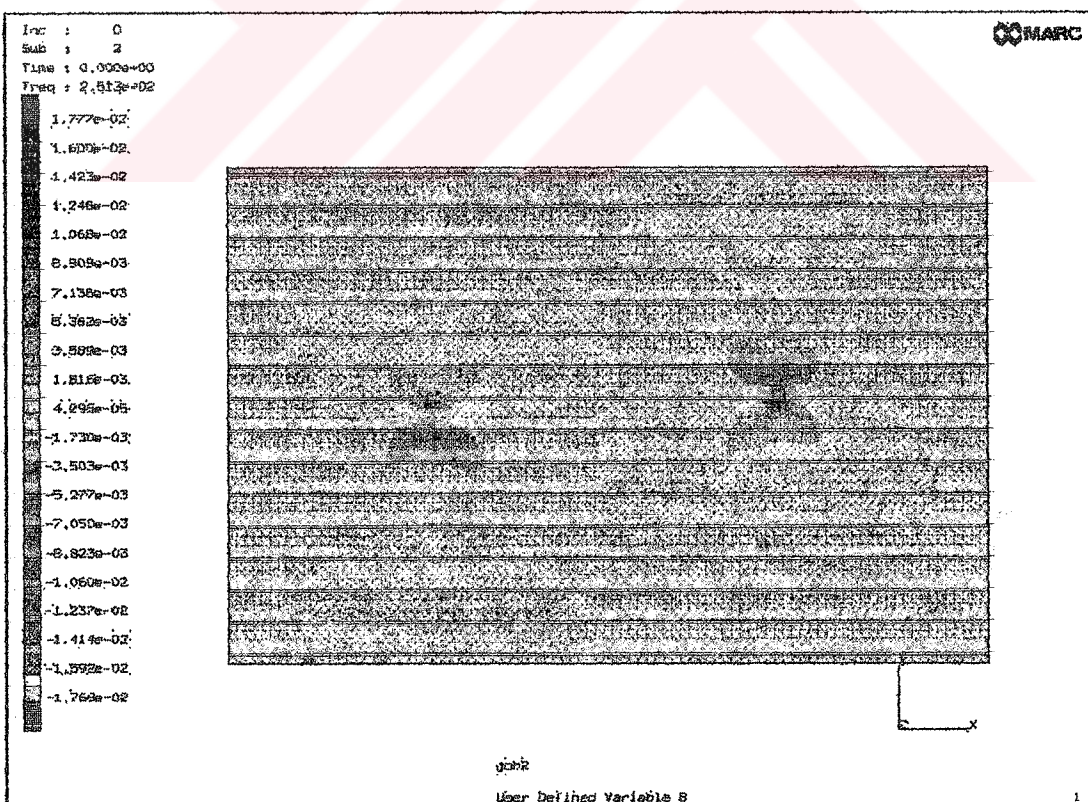
Şekil.K3. X- Doğrultusundaki Reaktif Türeşim Gücü Dağılımı (30 Hz)



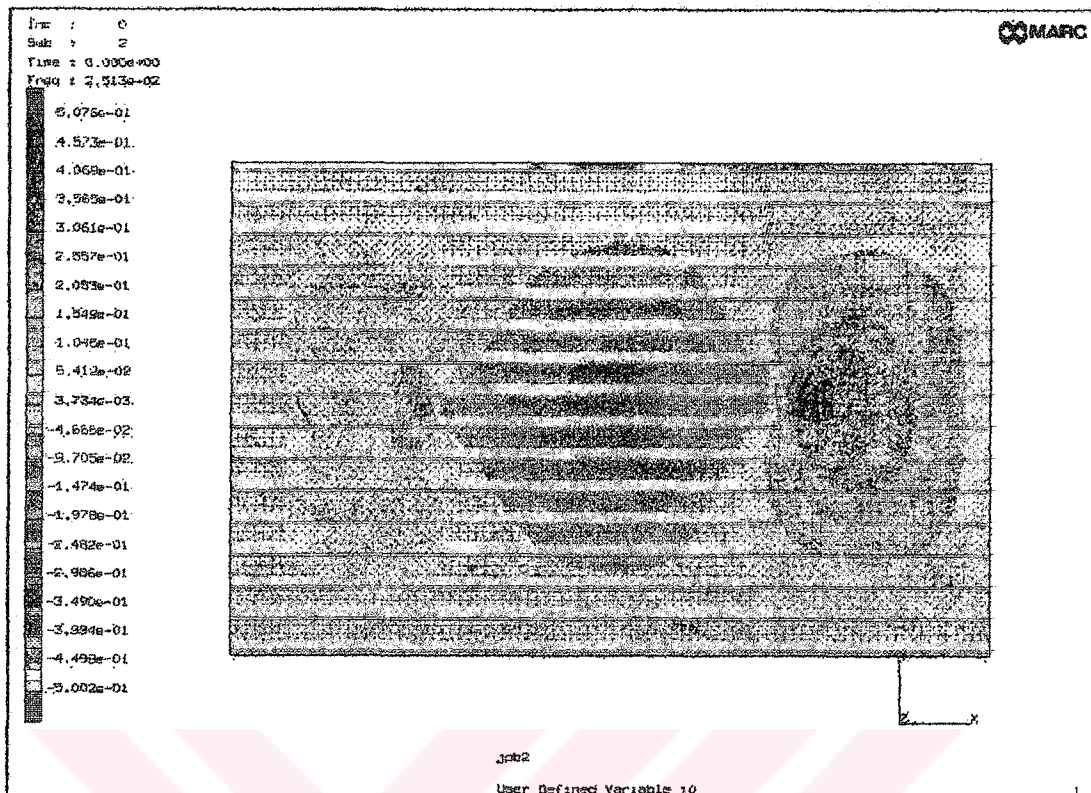
Şekil.K4. Y- Doğrultusundaki Reaktif Türeşim Gücü Dağılımı (30 Hz)



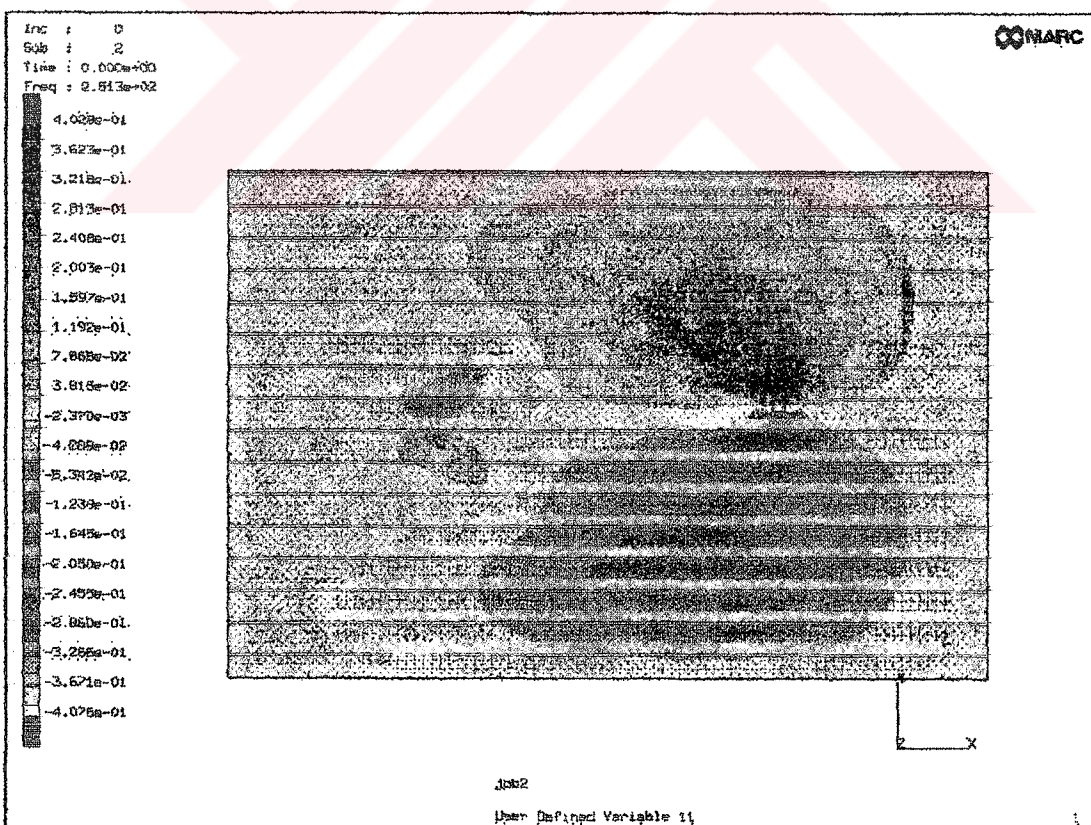
Şekil.K5. X- Doğrultusundaki Aktif Titreşim Gücü Dağılımı (40 Hz)



Şekil.K5. Y- Doğrultusundaki Aktif Titreşim Gücü Dağılımı (40 Hz)

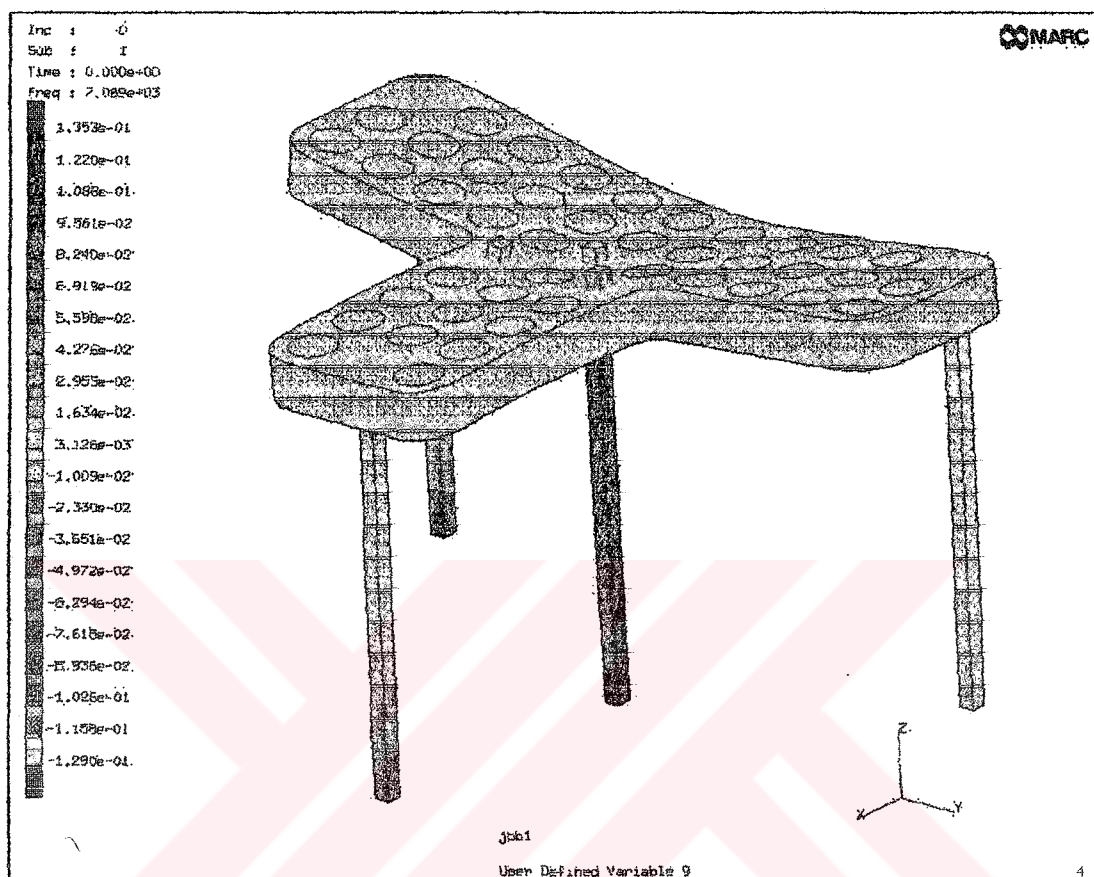


Şekil.K7. X - Doğrultusundaki Reaktif Titreşim Gücü Dağılımı (40 Hz)



Şekil.K8. Y - Doğrultusundaki Reaktif Titreşim Gücü Dağılımı (40 Hz)

**Ekl. Yaylı Parametreli Modelin Ölçüm Düzeneği Üzerine Uygulanması
Sonucu Elde Edilen Titreşim Gücü Dağılımı.**



Şekil.L1. Ölçüm Düzeneğinin Yaylı Parametreli Modelinin Z - Doğrultusundaki Aktif Titreşim Gücü Dağılımı.

ÖZGEŞMİŞ

Faruk BAYRAKTAR, 1972 yılında İstanbul'da doğdu. İlk öğrenimini 50. Yıl Ahmet Merter İlkokulun'da 1983 yılında, orta öğrenimini 50. Yıl Ahmet Merter Ortaokulun'da 1986 yılında, lise eğitimini Şehrimini Lisesin'de 1989 yılında tamamladı. Aynı yıl İ.T.Ü. Makina Fakültesi Makina Mühendisliği bölümüne girdi ve 1993 yılında mezun oldu. Mezun olduğu yıl İ.T.Ü Fen Bilimleri Enstitüsü Makina Ana Bilim Dalı, Makina Teorisi ve Kontrol Programı'nda yüksek lisans eğitimine başladı.

